



جامعة كربلاء

جامعة كربلاء

## التقدير الكروماتوغرافي والطيفي لبعض الأدوية المضادة للاكتئاب

رسالة مقدمة إلى مجلس كلية التربية للعلوم الصرفة- جامعة كربلاء وهي جزء من متطلبات نيل شهادة

الماجستير في علوم الكيمياء

إسراء محمد محسن حيدر

بكالوريوس تربية كيمياء – جامعة كربلاء 2019

بأشراف

الاستاذ المساعد الدكتور

علا مهدي عبد علي

الاستاذ الدكتور

عبد الباري مهدي ماهود

١٤٤٤ هـ

م 2022

بِسْمِ اللَّهِ الرَّحْمَنِ الرَّحِيمِ

اللَّهُ نُورُ السَّمَاوَاتِ وَالْأَرْضِ ۝ مَثَلٌ نُورٍ كَمِشْكَاهٍ فِيهَا  
مِصْبَاحٌ ۝ الْمِصْبَاحُ فِي زُجَاجَةٍ ۝ الْزُّجَاجَةُ كَأَنَّهَا كَوْكَبٌ  
دُرْرٍ يُوقَدُ مِنْ شَجَرَةٍ مُبَارَكَةٍ زَيْتُونَةٍ لَا شَرْقِيَّةٍ وَلَا  
غَرْبِيَّةٍ يَكَادُ زَيْتُهَا يُضِيءُ وَلَوْ لَمْ تَمْسَسْهُ نَارٌ ۝ نُورٌ  
عَلَى نُورٍ ۝ يَهْدِي اللَّهُ نُورٍ مَنْ يَشَاءُ ۝ وَيَضْرِبُ اللَّهُ  
الْأَمْثَالَ لِلنَّاسِ ۝ وَاللَّهُ بِكُلِّ شَيْءٍ عَلِيمٌ (٣٥)

صَدَقَ اللَّهُ الْعَلِيُّ الْعَظِيمُ

سورة النور الآية (35)

## إقرار الشرف

نشهد أن أعداد هذه الرسالة الموسومة جرى بإشرافي في مختبر الكيمياء الطبية - كلية طب الاسنان-جامعة كربلاء  
(التقدير الكروماتوغرافي والطيفي لبعض الأدوية المضادة للأكتاب).

قد جرى تحت إشرافنا في قسم الكيمياء /كلية التربية للعلوم الصرفة جامعة كربلاء ، وهي جزء من متطلبات نيل درجة ماجستير  
علوم الكيمياء للطالب (إسراء محمد محسن )

عضوًا ومشرقًا

التوقيع:

الاسم : أ.م. د. علا مهدي عبد علي

المরتبة العلمية: أستاذ مساعد

العنوان: جامعة كربلاء /كلية التربية للعلوم الصرفة

التاريخ: ٢٠٢٢/١١/٢٧

عضوًا ومشرقًا

التوقيع:

الاسم: أ. د. عبد الباري مهدي ماهود

المরتبة العلمية: أستاذ الدكتور

العنوان: جامعة كربلاء /كلية الطب الاسنان

التاريخ: ٢٠٢٢/١١/٢٧

توصية السيد رئيس قسم الكيمياء

إشارة إلى التوصية المقدمة أعلاه من الأساتذتين المشرفيتين ، أرجو هذه الرسالة إلى لجنة المناقشة لدراستها وبيان الرأي فيها

الاسم: أ.م. د. ساجد حسن كرار

المهندس: رئيس قسم الكيمياء

المهندس: أستاذ مساعد

## إقرار المقوم اللغوي

أشهد أنني قدمت رسالة الماجستير الموسومة: ( التقدير الكرومتوغرافي والطيفي  
لبعض الأدوية المضادة للاكتتاب ) لغويًا ، في كلية التربية للعلوم الصرفة /  
جامعة كربلاء ، وهي جزء من متطلبات نيل درجة الماجستير .

التوقيع :

الاسم : مثنى صبرة احلاقاني

المرتبة العلمية : رستاذ مساعد دكتور

العنوان : جامعة كربلاء - كلية العلوم الإسلامية

التاريخ : ٢٠٢٢/١١/٢٧

### قرار لجنة المناقشة

عن أعضاء لجنة المناقشة الموقعين أدناه نشهد بأننا قد اطلعنا على الرسالة | التقدير الكروماتوغرافي الطيفي بعض الأدوية المضادة للاكتناب | المقدمة من قبل الطالب (إسراء محمد محسن) كجزء من متطلبات نيل درجة لماجستير / قسم الكيمياء ، وبعد اجراء المناقشة العلمية العلنية وجد ان الطالب مستوفي لمتطلبات الشهادة وعليه وصي بقبول الرسالة بتقدير (جيد جداً).

رئيس اللجنة

التوقيع:

الاسم: د. ساجد حسن ذمار

المرتبة العلمية : أستاذ مساعد

مكان العمل : جامعة كربلاء ، كلية التربية للعلوم الصرفة

التاريخ ٢٠٢٢/١١/٥

عضو اللجنة

التوقيع:

الاسم: د. صفا مجيد حميد

المرتبة العلمية : الأستاذ المساعد دكتور

مكان العمل: جامعة الكوفة، كلية طب الاسنان

التاريخ ٢٠٢٢ / ١١

عضو ومشرفا

التوقيع:

الاسم: علا مهدي عبد علي

المرتبة العلمية : الأستاذ المساعد الدكتور

مكان العمل : جامعة كربلاء ، التربية للعلوم الصرفة

التاريخ ٢٠٢٢ / ١١

عضو اللجنة

التوقيع:

الاسم: د. كاظم خلف هشام

المرتبة العلمية : الأستاذ المساعد الدكتور

مكان العمل: جامعة القاسم الخضراء ، كلية علوم البيئة

التاريخ ٢٠٢٢ / ١١

عضو ومشرفا

التوقيع:

الاسم: د. عبد الباري مهدي ماهود

المرتبة العلمية : الأستاذ الدكتور

مكان العمل: جامعة كربلاء ، كلية طب الاسنان

التاريخ ٢٠٢٢ / ١١

مصادقة السيد عميد الكلية المكرم .....

التوقيع:

الاسم: أ.د. حميدة عيدان سلمان

المرتبة العلمية : أستاذ

المنصب: عميد كلية التربية للعلوم الصرفة

التاريخ ٢٠٢٢ / ١١

## الا ه د ا ء

الى من اطعني وسقاني وغمري بفيض نعمه .....  
الى من كان مولده رحمة للعالمين وسفن النجاة..... رسول الله محمد واله الاطهار ... سendi  
الى القلب الذي غمرني حبا وحنانا ..... والدي اطال الله عمره  
الى قطعة الفردوس وينبوع الحنان الذي لا ينضب ..... امي الحبيبة اطال الله عمرها  
الى سواعدي .. واحبائي .. واعزائي ... اخي واخواتي الاعزاء  
الى الارواح والانفس النقية التي احاطتني وتحيطني .... عائلتي الكريمة  
الى من ازاح عنی ضباب الجهل بنور معرفته .. واصاء طریقی بنبراس علمه .. استاذی  
الكريین الدكتور عبد الباری مھدی ماھود والاستاذ مساعد الدكتورة علا مھدی عبد  
علی.

الى كل من يهمه نجاحي.....  
لهم اهدی جھدی المتواضع

## إس ر ا ء

# **الشكر والتقدير**

أشهد حمداً وشكراً لله الذي يسر لي أمرِي ومنحني العزم والصبر ووقفني واعانني على اتمام هذه الرسالة ، والصلوة والسلام على أفضل الخلق نبينا محمد وعلى اله الطيبين الطاهرين .

أتقدم بخالص الشكر والعرفان بالجميل إلى أستاذِي الدكتور عبد الباري مهدي ماهود.....لاقترابه موضوع البحث . كما اتقدم بالشكر والعرفان للدكتورة علا مهدي عبد علي لمساعدتها لي باخراج الرسالة بالشكل الامثل . وكان لجهودهم الكبيرة وما قدموه من جهد ونصح ومعرفة وسمو أخلاقهم أكبر الأثر في المساعدة على اتمام هذا العمل فجزاهم الله خير الجزاء . وأقدم وافر الشكر والتقدير إلى الأستاذة الكرام في عمادة كلية طب الاسنان / جامعة كربلاء وبالخصوص السيد عميد الكلية الاستاذ المساعد الدكتور مهند صلاح عبدالستار . كذلك الشكر موصول إلى كل من ساندني وعلمني فجزاهم الله عني كل خير ، أمنياتي لهم بدوام الموفقية أجمل عبارات الشكر والتقدير لا بد أن تسبق حروفنا، وتنهي سطورنا معبرة عن صدق المعاني والحمد لله رب العالمين الشكر والتقدير وعمادة كلية التربية للعلوم الصرفة / جامعة كربلاء فلهم كل التقدير والاحترام النابعة من قلوبنا لكم .

الباحثة

إسراء

## **الخلاصة:**

تتضمن العمل (الرسالة) من جزئين رئيسيين :

### **الجزء الاول: الكروماتوغرافيا السائلة-أطور العكوس Rp-HPLC**

تم تطوير طريقة دقيقة وحساسة وسريعة لتقدير الادوية كلورديازبوكسيد والديازيبام وأميتربيتيلين وألبرازولام بحالتهما المفردة وكمزيج اذ تم الفصل باستخدام عمود الفصل الكروماتوغرافي نوع ODS-C18 وبابعاد ( 250 ملم × 4.6 ملم وقطر جسيمة الطور الساند 5 ملي مليكرو ) وبدرجة حرارة 35 ° وبمعدل جريان 1.0 ملليلتر / دقيقة باستخدام نظام الازوكراتك للطور المتحرك . الطور المتحرك المستخدم يتكون من محلولين منظم لايونات الفوسفات ثنائي الصوديوم مع محلولين عضويين هما الميثانول واسيتونتريل بنسبة ( 40:30:30 v/v ) وبدالة حامضية pH=4 ، و باستخدام كاشف الاشعة فوق البنفسجية عند طول موجي 241nm . كان زمن الاحتجاز لعقار كلورديازبوكسيد هو 3.512 دقيقة و 3.275 دقيقة لدواء الديازيبام ، و 3.426 دقيقة لدواء أاميتربيتيلين و كذلك 3.703 دقيقة لعقار لألبرازولام . تم تقييم الطريقة من حساب الحدود الخطية ( 50-5 ) مايكروغرام / مل ومعامل الارتباط (  $R^2=0.9988$  ) و ( 48-6 ) مايكروغرام / مل ( 50-10 ) و ( 0.9997-0.9996 ) (  $R^2=0.9982$  ) للكلورديازبوكسيد والديازيبام وألبرازولام وأميتربيتيلين على التوالي، وكان الانحراف المعياري النسبي لكل من العاقير اقل من 2 % ، مع قيم واطنه لحدود الكشف ( 0.634 ، 0.616 ، 0.77 و 0.72 ) مايكروغرام / مل لكل من كلورديازبوكسيد والديازيبام وأميتربيتيلين وألبرازولام على التوالي، وحدود الكشف الكمي ( 1.922 و 1.868 و 2.57 و 2.50 ) مايكروغرام / مل لكل من كلورديازبوكسيد والديازيبام وأميتربيتيلين وألبرازولام على التوالي، تم تطبيق الطريقة الكروماتوغرافية بصورتها النقية وفي مستحضراتها الصيدلانية وكانت الاستيعادية بحدود ( 102.544-99.207 ) % ، ( 99.046-100.858 ) % ، ( 100.51-100.29 ) % ( 101.12-99.95 ) % لكل من كلورديازبوكسيد والديازيبام وألبرازولام وأميتربيتيلين على التوالي.

### **اما الجزء الثاني : الطريقة الطيفية (الاقتران التأكسدي )**

تم تطوير طريقة طيفية دقيقة وحساسة وبسيطة ، باستخدام تفاعلات الاكسدة والاختزال حيث شملت تقدير بعض الادوية النفسية في الفقرة الأولى ومنها كلورديازبوكسيد الديازيبام وألبرازولام وأميتربيتيلين للتقدير الكمي بصورتها النقية وفي المستحضرات الصيدلانية.

تضمنت الطريقة تقدير كل عقار بشكل منفرد عن طريق مفاعله مع الكاشف 3-ميثيل-2-بنزوثيرازول نون هيدرازين هيدروكلوريد هيدرات بوجود العامل المؤكسد (كلوريد الحديد الثلاثي) وفي وسط حامضي قوي . اجريت الاختبارات الأولية لتحديد الظروف الملائمة للحصول على حساسية . وتم قياس الطول الموجي الاعظم للمعقد الملون المتكون هي كلورديازبوكسيد  $663\text{nm}$ , الديازبيام=609 , أميتريبيتيلين=630nm, البرازولام=619nm, وكذلك تم دراسة الظروف المثلثة للحصول على أعلى شدة لامتصاصية ، وكانت حدود قانون بير ضمن مدى التركيز (30-5) ميكروغرام / مل لعقاقير الديازبيام والبرازولام وال أميتريبيتيلين أما كلورديازبوكسيد (25-5) ميكروغرام / مل وبمعامل الارتباط لكل عقار البرازولام وأميتربيتيلين الديازبيام و كلورديازبوكسيد (0.9979,0.9965,0.9980,0.9997) على التوالي، ومن خلال قيم معامل الامتصاص المولاي وحساسية ساندال للمعقد المتكون والتي كانت تساوي ، (0.039 ميكروغرام / سم<sup>2</sup> على التوالي، اظهرت الطريقة حساسية عالية. وكان الانحراف المعياري النسبي لكل من العقار أقل من 2% ، ، حدود الكشف للأدوية هي (1.779, 0.739, 0.877 و 1.757 ) مايكروغرام/مل ميكروغرام/مل وحدود الكشف الكمية هي (2.924, 2.464, 5.930, 5.857 ) مايكروغرام/مل كلورديازبوكسيد والديازبيام والبرازولام وأميتربيتيلين على التوالي. عن طريق النتائج المذكورة فان هذه الطريقة ذات دقة وضبط عالبين وبالتالي تم تطبيقها في تقدير هذه الأدوية في حالتها النقية وفي مستحضراتها الصيدلانية.

## المحتويات

رقم الصفحة	العنوان	الفقره
	<b>الفصل الأول المقدمة</b>	
1	الفصل الكيميائي	(1-1)
1	تقنية الفصل الكروماتوغرافي	(2-1)
3	نشأة طرق الفصل الكروماتوغرافي و كروماتوغرافيا سائلة عالية الأداء (HPLC)	( 1-3)
5	أنواع الفصل الكروماتوغرافي بناء على القطبية	(4-1)
5	كرومتوغرافيا الطور الاعتيادي Normal phase chromatography	( 1-4-1)
7	كرومتوغرافيا السائلة ذات الأداء العالي (الطور العكوس) <b>Reverse phase chromatography</b>	(2-4-1)
11	التطبيقات العامة للتقنية الكروماتوغرافية عالية الأداء ذات الطور العكوس <b>High-performance liquid chromatography reverse phase</b>	(5-1)
12	الإشعاع الكهرومغناطيسي	(6-1)
12	التحليل الطيفي المرئي و فوق البنفسجي <b>Ultraviolet and Visible Spectroscopy</b>	(7-1)
13	القوانين الكمية لامتصاص Laws <b>Quantitative Absorption Laws</b>	(8-1)
13	قانون بير - لامبرت Lambert -Beer Law	(1-8-1)
15	لمحة اونبذة عامة عن الدواء	(9-1)
16	تحليل الأدوية	(10-1)
16	الادوية المستخدمة في الدراسة	(11-1)
16	كلورديازيبوكسید Chlordiazepoxide	(1-11-1)
17	الديازيبام DIAZEPAM	(2-11-1)
18	ألبرازولام Alprazolam	(3-11-1)
19	أميترىپتيلين Amitriptyline	(4-11-1)

21	الدراسات السابقة	(12-1)
21	الدراسات السابقة في طرائق تقدير لادوية كلورديازيبوكسيد الديازيبام والبرازولام وأميتريبيتيلين بالطريق الكروماتوغرافي العكوسية	(1-12-1)
25	طرائق تقدير لادوية كلورديازيبوكسيد الديازيبام والبرازولام وأميتريبيتيلين بالطريق الطيفية <b>Uv-visible</b>	(2-12-1)
30	الهدف من البحث	( 13-1)

## الفصل الثاني الجزء العلمي Experimental

30	الاجهزه المستخدمة	1-2
30	الادوية و المواد الكيميائية	2-2
32	محاليل المواد المستخدمة للطريقة الطيفية	3-2
32	تحضير محلول 0.100M من حامض الهيدروكلوريك	1-3-2
32	تحضير 0.10 M من محلول هيدروكسيد الصوديوم NaOH	2-3-2
32	تحضير 0.010 M من صوديوم داي هيدروجين فوسفيت (NaH2PO4)	3-3-2
32	تحضير الطور المتحرك ذو دالة حامضية ( pH=4 ) لجهاز HPLC	4-3-2
33	تحضير محلول قياسي لعقاقير كلورديازيبوكسيد وأميتريبيتيلين والبرازولام ذا تركيز 100 $\mu$ g/mL و ديازيبام 120 $\mu$ g/mL لجهاز HPLC	5-3-2
33	فصل الخليط المكون من العقاقير كلورديازيبوكسيد والأميتريبيتيلين والبرازولام 120 $\mu$ g/mL و ديازيبام 100 $\mu$ g/mL	6-3-2
33	تحضير محاليل المستحضرات الصيدلانية	4-2
34	تحضير محلول للمستحضرات الصيدلانية لجهاز HPLC	1-2-4
35	بناء منحني المعايرة للعقاقير كلورديازيبوكسيد وأميتريبيتيلين البرازولام 120 $\mu$ g/mL و ديازيبام 100 $\mu$ g/mL	2-4-2
35	الطريقة تحضير محلول قياسي المستحضرات الصيدلانية كلورديازيبوكسيد ، ديازيبام ، البرازولام ، أميتريبيتيلين لجهاز UV - Vis	3.4.2
36	محاليل المواد المستخدمة في جهاز الاشعة فوق البنفسجية والمرئية ذو حزمة مزدوجة UV-Visible	5-2
36	تحضير كلوريد الحديديك FeCl <sub>3</sub>	1-5-2

36	تحضير 3-ميثيل-2-بنزوثيرايزول نون هيدرازين هيدروكلوريد هيدرات ذو تركيز $1.12 \times 10^{-2}$ M MBTH	2-5-2
36	تحضير محلول البلانك للجهاز UV-Visible	3-5-2
36	تقدير محلول القياسي لعقاقير كلورديازيبوكسيد و ديازيبام البرازولام للجهاز UV-Visible	4-5-2
37	Excipients مواد السواغ المضافات	6-2

### فصل الثالث المناقشة والاستنتاج Chapter Three Discussion and Conclusion

38	النتائج والمناقشة للطريقة الكروماتوغرافية	1.3
38	الدراسة النوعية Qualitative Study	1-1-3
38	مبدأ العمل Preliminary investigation	2-1-3
39	الظروف المثلثة للتجربة	3-1-3
39	تأثير معدل تدفق الطور المتحرك	1-3-1-3
41	تأثير الاس الهيدروجيني	2-3-1-3
47	تأثير نسب المحور العضوي في فصل الادوية الاربعة	3 -3-1-3
48	بناء منحني المعايرة لادوية من كلورديازيبوكسيد و ديازيبام وأميتربيتيلين وأبرازولام	4-1-3
51	المعالجة الإحصائية للنتائج التحليلية	5-1-3
52	الدقة و الضبط الطريقة المقترحة	1 -5-1-3
58	تطبيقات الطرق المقترحة في المستحضرات الصيدلانية	6-1-3
64	النتائج والمناقشة للطريقة الطيفية Result and discussion for Spectrophotometric method	2-3
64	أطياف المركبات The Spectra of Complexes	1-2-3
66	دراسة منحني المعايرة للمعقدات	2-2-3
68	الفضلي لتكوين المعقد للحصول على اعلى شدة لامتصاصية دراسة الظروف	3-2-3
68	دراسة تأثير التغير في حجم تركيز ثابت من الكاشف MBTH على شدة المعقد	1-3-2-3

69	دراسة تأثير التغير حجوم ذوتركيز ثابت من الكاشف على $\text{FeCl}_3 \cdot 6\text{H}_2\text{O}$ على شدة المعقد الناتج	2-3-2-3
70	تأثير دراسة محلول المنظم pH	3-3-2-3
71	تأثير دراسة استقرارية المعقد مع الزمن	4-3-2-3
71	تأثير دراسة درجة الحرارة	5-3-2-3
72	تأثير ترتيب الاضافة	6-3-2-3
73	تحديد نسبة الدواء : الكاشف	4-2-3
73	دراسة طريقة النسبة المولية	1-4-2-3
76	طريقة التغيرات المستمرة (طريقة جوب)	2-4-2-3
78	دراسة حساب ثابت الاستقرارية محاليل المعقدات	3-4-2-3
79	حسابات معامل الامتصاص وحساسية ساندل	5-2-3
80	Precision and accuracy حساب الدقة و الضبط	6-2-3
82	قياس حد الكشف والكشف الكمي Calculation of Limit of Detection (LOD) and Limit of Quantitation (LOQ)	7-2-3
84	تحضير محلول العينة Preparation of sample solution	8-2-3
85	دراسة تأثير المتدخلات Effect of Excipients	9-2-3
87	مقارنة بين الطريقة المقترحة في المستحضرات الصيدلانية والطريقة القياسية	10-2-3
89	الاستنتاج Conclusion	4-3
90	الوصيات Recommendations	5-3
91	المصادر	

## قائمة الجداول

<i>Page</i>	<i>Title</i>	<i>NO.</i>
2	تصنيف تقنيات الكروماتوغرافية	1-1
17	الجدول يبين الخصائص العامة لعقار كلورديازيبوكسيد	2-1
18	الجدول يبين الخصائص العامة لعقار ديازيبام	3-1
19	الجدول يبين الخصائص العامة لعقار البرازولام	4-1
20	الجدول يبين الخصائص العامة لعقار أميتريبيتيلين	5-1
31	يوضح الاجهزة المستخدمة	1-2
32	الأدوية والمواد الكيميائية المستخدمة	2-2
35	المستحضرات الصيدلانية للأدوية المستخدمة	3-2
38	يوضح مواد السواغ (المضافات)	2-4
40	عرض ظروف التشغيل لكل من CH و AM و DIZE	1-3
41	تأثير معدل التدفق على زمن الاحتجاز لعقار CH بتركيز مايكروغرام / مل 100	3-2
42	يوضح تأثير معدل التدفق على زمن الاحتجاز لعقار DIZE ذو تركيز $120 \mu\text{g/mL}$	3-3
42	تأثير معدل التدفق على زمن الاحتجاز لعقار AM ذو تركيز مايكروغرام / مل	4-3
42	يوضح تأثير معدل التدفق على زمن الاحتجاز لعقار ALP ذو تركيز $100\mu\text{g/mL}$	5-3
43	يوضح تأثير pH على زمن بتركيز $100\mu\text{g/mL}$ CH	6-3
44	يوضح تأثير الاس الهيدروجيني على زمن الاحتجاز لعقار DIZE بتركيز / $120 \mu\text{g/mL}$	7-3
45	تأثير (pH) على زمن الاحتجاز لعقار AM بتركيز $100\mu\text{g/mL}$	8-3
46	يوضح تأثير pH على زمن الاحتجاز لعقار ALP بتركيز $100\mu\text{g/mL}$	9-3
48	تأثير نسب المكونات في الطور المتحرك	10-3
53	المعالجة الإحصائية للنتائج التحليلية لعقار كلورديازيبوكسيد	11-3
53	المعالجة الإحصائية للنتائج التحليلية لعقار ديازيبام	12-3
54	المعالجة الإحصائية للنتائج التحليلية لعقار أميتريبيتيلين	13-3

54	المعالجة الإحصائية للنتائج التحليلية لعقار البرازولام	14-3
55	معدل النتائج التي تم حصول عليها لثلاث تراكيز مختلفة من عقار CH.	15-3
56	معدل النتائج التي تم حصول عليها لثلاث تراكيز مختلفة من عقار DIZE	16-3
58	معدل النتائج التي تم حصول عليها لثلاث تراكيز مختلفة من عقار AM	17-3
59	معدل النتائج التي تم حصول عليها لثلاث تراكيز مختلفة من عقار ALP	18-3
61	نتائج تطبيق للطريقة المقترحة على بعض المستحضرات الصيدلانية كلورديازيبوكسيد وال أميتريبتيلين وال البرازولام ديازيبام	19-3
67	القيم التحليلية المتعلقة لقياس الامتصاصية الولارية وحساسية سندل للطريقة الطيفية في تقدير المركبات الدوائية	20-3
71	تأثير الدوال الحامضية لدواء CH بتركيز $2 \mu\text{g} / \text{mL}$ مع البلاك	21-3
74	تأثير ترتيب الاضافة ل كلورديازيبوكسيد وال أميتريبتيلين وال البرازولام ديازيبام ذو تركيز $10 \mu\text{g/mL}$	22-3
75	يمثل طريق النسب المولية لحساب النسبة التفاعلية بين الادوية الاربعة المثبتة في الجدول مع الكاشف MBTH	23-3
77	يمثل طريق جوب لحساب النسبة التفاعلية بين الادوية الاربعة المثبتة في الجدول مع الكاشف MBTH	24-3
79	حساب درجة التفكك وثابت الاستقرارية للمعدق المكون	25-3
82	الطريقة المقترحة لتعيين الدقة والضبط دواء الكلورديازيبوكسيد	26-3
82	الطريقة المقترحة لتعيين الدقة والضبط لعقار ديازيبام	27-3
82	الطريقة المقترحة لتعيين الدقة والضبط لعقار أميتريبتيلين	28-3
83	الطريقة المقترحة لتعيين الدقة والضبط لعقار البرازولام	29-3
83	القيم التحليلية المتعلقة بمنحي المعايرة للطريقة الطيفية لتقدير دواء CH	30-3
83	القيم التحليلية المتعلقة بمنحي المعايرة للطريقة الطيفية لتقدير دواء DIZE	31-3
84	القيم التحليلية المتعلقة بمنحي المعايرة للطريقة الطيفية لتقدير دواء AM	32-3
84	القيم التحليلية المتعلقة بمنحي المعايرة للطريقة الطيفية لتقدير دواء ALP	33-3
85	نتائج تطبيق للطريقة المقترحة على بعض المستحضرات الصيدلانية ل CH,DIZE ,AM,ALP	34-3
86	تأثير المتداخلات على الادوية الاربعة كل منها بتركيز $20 \mu\text{g/mL}$ كلورديازيبوكسيد ،Diazipam أميتريبتيلين ،أبرازولام	35-3

### قائمة الاشكال

Page	Title	NO .
5	يوضح الترابط الحاصل بين دقائق السليكا مع السلسلة الهيدروكربونية	1-1
5	الترابط الناتج بين دقائق السليكا مع السلسلة الهيدروكربونية المحتوية على C8C18	2-1
6	يوضح سطح السليكا	3-1
7	يبين سطح السليكا قبل وبعد صوله لمرحلة النهاية	4-1
9	يوضح مكونات جهاز كروماتوغرافيا السائل	5-1
10	رسم توضيحي لآلية العمل كروماتوغرافيا الطور الاعتيادي ( لانظرية المنافسة وتأثير المذيب لاحتياز المادة المحللة ).	6-1
13	توضيح لاقسام الاطياف الكهرومغناطيسي	7-1
14	شكل يوضح امتصاصية العينة للإشعاع	8-1
16	شكل يوضح العلاقة البيانية بين التركيز والامتصاصية	9-1
40	مخطط يمثل حساب عامل التمازن	1-3
42	يوضح تأثير $pH=4$ على زمن الاحتجاز لعقار CH بتركيز $10 \mu\text{g/mL}$	2-3
42	يوضح تأثير $pH=5$ على زمن الاحتجاز لعقار CH بتركيز $10 \mu\text{g/mL}$	3-3
43	يوضح تأثير $pH=6$ على زمن الاحتجاز لعقار CH بتركيز $10 \mu\text{g/mL}$	4-3
43	يوضح تأثير $pH=4$ على زمن الاحتجاز لعقار DIZE بتركيز $20 \mu\text{g/mL}$	5-3
43	يوضح تأثير $pH=5$ على زمن الاحتجاز لعقار DIZE بتركيز $20 \mu\text{g/mL}$	6-3
44	يوضح تأثير $pH=6$ على زمن الاحتجاز لعقار DIZE بتركيز $20 \mu\text{g/mL}$	7-3
44	يوضح تأثير $pH=4$ على زمن الاحتجاز لعقار AM بتركيز $01 \mu\text{g/mL}$	8-3
45	يوضح تأثير $pH=5$ على زمن الاحتجاز لعقار AM بتركيز $10 \mu\text{g/mL}$	9-3
45	يوضح تأثير $pH=6$ على زمن الاحتجاز لعقار AM بتركيز $10 \mu\text{g/mL}$	10-3

46	يوضح تأثير $pH=4$ على زمن الاحتجاز لعقار ALP بتركيز $\mu\text{g/mL}10$	11-3
46	يوضح تأثير $pH=5$ على زمن الاحتجاز لعقار ALP بتركيز $\mu\text{g/mL}10$	12-3
46	يوضح تأثير $pH=6$ على زمن الاحتجاز لعقار ALP بتركيز $\mu\text{g/mL}10$	13-3
47	توضيحي لتاثير نسب المكونات في الطور المتحرك في فصل الادوية الاربعة	14-3
48	توضيحي لتاثير نسب المكونات في الطور المتحرك في فصل الادوية الاربعة	15-3
48	توضيحي لتاثير نسب المكونات في الطور المتحرك في فصل الادوية الاربعة	16-3
49	منحي المعايرة لتقدير عقار CH وحسب الطريقة Rp-HPLC	17-3
49	منحي المعايرة لتقدير عقار DIZE	18-3
50	يمثل منحي المعايرة لتقدير عقار AM	19-3
50	منحي المعايرة لتقدير عقار ALP وحسب الطريقة Rp-HPLC	20-3
55	クロマトグラムの濃度 $\mu\text{g/mL}5$ の場合、アセトアセチルアルギニンメチルエステル。	21-3
55	クロマトグラムの濃度 $\mu\text{g/mL}30$ の場合、アセトアセチルアルギニンメチルエステル。	22-3
53	クロマトグラムの濃度 $\mu\text{g/mL}50$ の場合、アセトアセチルアルギニンメチルエステル。	23-3
54	クロマトグラムの濃度 $\mu\text{g/mL}6$ の場合、アセトアセチルアルギニンメチルエステル。	24-3
55	クロマトグラムの濃度 $\mu\text{g/mL}24$ の場合、アセトアセチルアルギニンメチルエステル。	25-3
55	クロマトグラムの濃度 $\mu\text{g/mL}48$ の場合、アセトアセチルアルギニンメチルエステル。	26-3
56	クロマトグラムの濃度 $\mu\text{g/mL}10$ の場合、アセトアセチルアルギニンメチルエステル。	27-3
56	クロマトグラムの濃度 $\mu\text{g/mL}30$ の場合、アセトアセチルアルギニンメチルエステル。	28-3
56	クロマトグラムの濃度 $\mu\text{g/mL}50$ の場合、アセトアセチルアルギニンメチルエステル。	29-3
57	クロマトグラムの濃度 $\mu\text{g/mL}20$ の場合、アセトアセチルアルギニンメチルエステル。	30-3
58	クロマトグラムの濃度 $\mu\text{g/mL}30$ の場合、アセトアセチルアルギニンメチルエステル。	31-3
58	クロマトグラムの濃度 $\mu\text{g/mL}50$ の場合、アセトアセチルアルギニンメチルエステル。	32-3
59	クロマトグラムの濃度 $\mu\text{g/mL}5$ の場合、アセトアセチルアルギニンメチルエステル。	33-3
60	クロマトグラムの濃度 $\mu\text{g/mL}30$ の場合、アセトアセチルアルギニンメチルエステル。	34-3
60	クロマトグラムの濃度 $\mu\text{g/mL}50$ の場合、アセトアセチルアルギニンメチルエステル。	35-3
60	クロマトグラムの濃度 $\mu\text{g/mL}6$ の場合、アセトアセチルアルギニンメチルエステル。	36-3
60	クロマトグラムの濃度 $\mu\text{g/mL}24$ の場合、アセトアセチルアルギニンメチルエステル。	37-3

61	كروماتوغرام للمستحضر الصيدلاني (الديازيبام) ذو تركيز $\mu\text{g/mL}$ 48	38-3
61	كروماتوغرام للمستحضر الصيدلاني الأميتريبيتيلين ذو تركيز $10 \mu\text{g/mL}$	39-3
62	كروماتوغرام للمستحضر الصيدلاني الأميتريبيتيلين ذو تركيز $\mu\text{g/mL}$ 30	40-3
62	كروماتوغرام للمستحضر الصيدلاني الأميتريبيتيلين ذو تركيز $\mu\text{g/mL}$ 50	41-3
62	كروماتوغرام للمستحضر الصيدلاني الألبرازولام ذو تركيز $\mu\text{g/mL}$ 20	42-3
63	كروماتوغرام للمستحضر الصيدلاني الألبرازولام ذو تركيز $\mu\text{g/mL}$ 30	43-3
65	طيف معقد كلورديازيبوكسيد بتركيز $\mu\text{g / ml}$ 20	44-3
66	طيف معقد ديازيبام بتركيز $20\mu\text{g / mL}$	45-3
66	طيف معقد أميتريبيتيلين بتركيز $10\mu\text{g / mL}$	46-3
66	طيف معقد ألبازولام بتركيز $10\mu\text{g / mL}$	47-3
68	منحني المعايرة لتقدير دواء كلورديازيبوكسيد	48-3
68	منحني المعايرة لتقدير دواء ديازيبام	49-3
69	منحني المعايرة لتقدير دواء أميتريبيتيلين	50-3
69	منحني المعايرة لتقدير دواء ألبازولام	51-3
70	تأثير حجوم مختلفة من MBTH بتركيز على شدة المعقد الناتج للعقاقير الاربعة ( $1.12 \times 10^{-2} \text{ M}$ )	52-3
71	دراسة تأثير حجوم مختلفة من $\text{FeCl}_3$ بتركيز على شدة المعقد الناتج للعقاقير الاربعة $\text{CH, DIZE, AM, ALP}$ مع الكاشف	53-3
72	$\mu\text{g / mL}$ 2 تأثير الزمن في الامتصاصية لمحاليل معقدات قيد الدراسة ذو تركيز مع MBTH $\text{FeCL}_3$	54-3
73	تأثير درجة الحرارة في الامتصاصية لمحاليل المعقدات المحضرة قيد الدراسة	55-3
76	النسبة المولية لدواء $\text{CH}$ مع الليكائد MBTH	56-3
77	النسبة المولية لدواء $\text{DIZE}$ مع الليكائد MBTH	57-3
78	النسبة المولية لدواء $\text{AM}$ مع الليكائد MBTH	58-3
78	النسبة المولية لدواء $\text{ALP}$ مع الليكائد MBTH	59-3
79	يوضح التغيرات المستمرة ( جوب ) للمعقد DIZE مع الليكائد MBTH	60-3
79	يوضح التغيرات المستمرة ( جوب للمعقد $\text{CH}$ مع الليكائد MBTH	61-3

84

للمعقد يوضح التغيرات المستمرة جوب MBTH مع الليكائد AM

62-3

85

للمعقد يوضح التغيرات المستمرة جوب ALP مع الليكائد MBTH

63-3

### قائمة المختصرات

Title	Symbol
الأشعة فوق البنفسجية	UV
اسيتونتريل	AC
شدة الاشعاع الساقط	$I_0$
قدرة الاشعاع النافذ	I
طول المسار	b
الامتصاصية	A
معامل الامتصاص المولاري	$\epsilon$
التركيز	C
الطول الموجي الاعظم	$\lambda_{\max}$
كروماتوغرافيا السائل	LC
كروماتوغرافيا الغاز - السائل	GLC
كروماتوغرافيا السائل فوق الحرج	SFC
كروماتوغرافيا السائل عالي الاداء	HPLC
كروماتوغرافيا السائل - الطور الطبيعي	NP-HPLC
كروماتوغرافيا السائل عالي - الطور العكوس	RP-HPLC
كروماتوغرافيا التبادل الايوني	IEC
كروماتوغرافيا الاستثناء او الاستبعاد	SEC
مطيافية الاشعة تحت الحمراء	FT-IR
مطيافية التحليل الذري	AAS
جهاز الرنين النووي المغناطيسي	NMR
تقنية قياس الكتلة	MS

ثابت التفكك	pKa
حد الكشف	LOD
حد الكشف الكمي	LOQ
معامل الانحراف النسبي المئوي	RSD
الانحراف النسبي	SD
الخطاء النسبي	E%
زمن الاحتجاز	$t_R$
درجة التفكك	a
ثابت الاستقرار	$K_{st}$
اعظم امتصاص	Am
معامل الارتباط	$R^2$
عامل التناظر	$A_{max}$
كروماتوغرافيا الطبقة الرقيقة	TLC
الشركة العامة لصناعة الادوية في سامراء	SDI
Chlordiazepoxide كلورديازيبوكسيد	CH
DIAZEPAM الديازيبام	DIZE
Alprazolam البرازولام	ALP
Amitriptyline أميترىپتيلين	AM

## 1- الفصل الكيميائي :

1)

الفصل الكيميائي: هو أي عملية تحول مادة كيميائية من شكل إلى آخر، كاستخلاص المواد المذابة من المواد السائلة. وتوجد عدة طرق وتقنيات معتمدة في الفصل الكيميائي، أهمها:

- 1- التقطير Distillation
- 2- الترشيح Filtration
- 3- التبخر Evaporation
- 4- الكروماتوغرافيا Chromatography
- 5- الاستخلاص Extraction

الクロماتوغرافيا هي أحدى الطرق الفصل المستخدمة في الكيماء التحليلية والクロماتوغرافيا بكل انواعها هي في الاساس تستخدم بهدف معرفة نوعية وكمية وعدد مكونات خليط ، حيث يكون توزيع المكون المراد فصله بين طورين هي الطور يكون ساكن " Stationary Phase " وهذا الطور يكون ثابتا بعمود الفصل و الطور متحرك " Mobile Phase " وهو عبارة عن مذيب واحد او مزيج من المذيبات يمر من خلال الطور الثابت و غالبا يكون غاز او سائل حسب التقنية المستخدمة <sup>(1)</sup> . والطور الساكن يكون عادة مادة ذات مساحة سطحية كبيرة، أو سائل محمول على مادة صلبة خاملة <sup>(2)</sup> . وتعد الكروماتوغرافيا في اغلب الاحيان طرائق فصل وتقدير في آنٍ واحد ، أي طرائق تحليلية مزدوجة. حيث تتميز طرائق الكروماتوغرافيا بالسهولة والسرعة ومحافظة على كيان المركبات المراد فصلها بالمقارنة مع طرق الفصل الاخرى ، هناك استخدامات كثيرة لتقنية الكروماتوغرافيا ، تستخدم لدراسة التفاعلات الكيمياوية أو في الحصول على معلومات حول بعض الخواص الفيزيوكيميائية<sup>(3)</sup> . وبشكل عام يكون تسمية الكروماتوغرافيا حسب نوع الطور المتحرك متبعا في نوع الطور الثابت و عند حصول عملية الفصل فإن زمن الاحتجاز يكون مختلف في الطورين الثابت والمتحرك<sup>(5)</sup> .

### 2-1) تقنية الفصل الكروماتوغرافي :

أن العملية الكروماتوغرافية تأخذ اسمها عادة من هذين الطورين كما في الجدول أدناه (1-1) يوضح تصنيف الطرق الكروماتوغرافية

**جدول (1-1) يوضح تصنيف تقنيات الكروماتوغرافية<sup>(6)</sup>**

General Classification التصنيف العام	Stationary phase الطور الساكن	Type of equilibrium الاتزان داخل العمود	Specific Method الطريقة النوعية ( اسم الطريقة )
Liquid chromatography LC mobile phase: liquid الクロマトグラフィー السائلة . الطور المتحرك	Liquid absorbed on a solid surface سائل ممتص على سطح صلب	Partition between immiscible liquid	Liquid-liquid or partition سائل - سائل التوزيع
	Solid صلب	Adsorption امتصاص	Liquid-solid or adsorption سائل - صلب الامتراز
	Ion-exchange resin مبادل الايوني بوليمرى	Ion exchange تبادل الايوني	Ion exchange التبادل الايوني
	Liquid in interstices of a polymeric solid سائل في فجوات بوليمر صلب	Partition / sieving التجزئية- النخل	Size exclusion الاحتباس
	Group specific liquid bonded to a surface مجموعة سائلة متربطة مع سطح صلب	Partition between surface liquid and mobile liquid التجزئة بين سطح الطور والسائل والطور المتحرك	Affinity التألف
Gas chromatography GC mobile phase: gas الクロマトグラフィー الغاز . الطور المتحرك . غاز	Liquid adsorption on a solid surface ممتر على سطح صلب	Partition between gas and liquid التجزئة بين غاز وسائل	Gas-liquid سائل - غاز
	Solid صلب	Adsorption امتراز	Gas-solid صلب - غاز

Supercritical fluid chromatography SFC mobile phase: supercritical fluid الكروماتوغرافيا الموضع ال فوق الحرجة الطور المتحرك -موضع الحرجة	Organic species bonded to solid surface سوي متراطط مع سطح صلب	Partition between supercritical fluid and bonded surface التجزئة بين سطح السوائل والحرجة وبين سطح متراطط	Supercritical الفوق الحرجة
--	---	--	----------------------------

### ( 3-1 ) نشأة طرق الفصل الكروماتوغرافي و الكروماتوغرافيا السائلة عالية الأداء (HPLC) :

تم اكتشاف الكروماتوغرافيا من قبل عالم الروسي (ميكيائيل تسيفت) Mikhail Tsweet الذي اخترع تقنية الكروماتوغرافيا عام 1900 عن طريق اجراء أبحاثه على مادة الكلوروفيل<sup>(7)</sup> ، وقد استخدم عموداً لامتزاز ((ادمصاص)) السوائل يحتوي على كربونات الكالسيوم لفصل الأصباغ النباتية ((مثل الكلوروفيل والكاروتين)). تم تفسير هذه الطريقة للمرة الأولى في 30 ديسمبر عام 1901، في المؤتمر الحادي عشر لعلماء الطبيعة والأطباء. وقد تم استخدام مصطلح (chromatography) لأول مرة في عام 1906 في ورقتين بحثيتين من قبل العالم ميكيائيل تسيفت Mikhail Tsweet وتم النشر في إحدى المجلات الألمانية لعلم النبات. تخليداً لأعماله التي اعتمد فيها على فصل كروماتوغرافيا والتي تعني حرفيًّا (الكتابة الملونة) على هذا النوع من الكيميائي الفيزيائي.

لقد تطورت تقنية الكروماتوغرافيا بشكل كبير خلال المدة ( 1940 م - 1950 ) على يد العالمين (آرثر مارتين ) (Richard Laurence Archer Martin) و (ريتشارد لورانس Richard Laurence Archer Martin) مما أهلهما للفوز بجائزة نوبل للكيمياء عام 1952، الأمر الذي شجع على تطوير التحليل اللوني إلى وقتنا الحالي.<sup>(8)</sup>

اذ استمرت تسمية الكروماتوغرافيا إلى يومنا هذا ، على الرغم من أن اغلب استخداماتها ليست للمواد الملونة. بشكل عام ، يمكن القول أن الطرق الكروماتوغرافية تشمل توزيع المادة المراد فصلها بين طورين ، إحداها ثابتة والآخر متحرك.

- اذ تستعمل الكروماتوغرافيا لفصل كميات مایكروية وتقديرها من المركبات ، فضلاً عن التحليل الكمي والنوعي يوجد استخدامات أخرى منها تحضيرية Preparative، أي تحضير مواد ذات نقاوة عالية أو لتصفية او لتنقية مواد أخرى تحتوي على شوائب غير مرغوب فيها، كما تستخدم ايضاً في الحصول على معلومات تخص بعض الخواص الفيزيوكيميائية او لدراسة التفاعلات الكيميائية . اذ ان الكروماتوغرافيا مصطلح عام يستخدم لوصف

تقنيات الفصل التي تعتمد على طبيعة المركبات الكيميائية يمكن أن تكون أما سائله أو غازيه أو مائع فوق الحرج. يعتبر HPLC على سبيل المثال هو أحد انواع تقنية التحليل الكروماتوغرافيا والتي تستخدم لفصل وتحديد وقياس كل مكون في الخليط.. يعتمد مبدأ HPLC على ضخ مذيب سائل يجري من خلال عمود يحتوي على طور ثابت مستقر. الفكرة الرئيسية هنا ان عملية توزيع مكون من المكونات بين طورين هي عملية ديناميكية فكل جزيئه من جزيئات المكون تمر عادة بسرعة إلى الخلف و إلى الأمام بين الطورين وهذا الانتقال يصل بسرعة إلى حالة التوازن ويحصل التوازن عند تساوي الطاقة الحرية لجزيئات المكون بين الطورين وإن نشوء حالة التوازن تخضع لقانون نرنست قانون التجزو .<sup>(9)</sup>

الذي يمكن حسابه من المعادلة التالية:

$$K_d = C_s / C_m \quad \text{----- (2-1)}$$

أذ أن :

$K_d$  = معامل التوزيع أو معامل الاستخلاص

$C_s$  = التركيز المولاري للمكون في الطور الثابت

$C_m$  = التركيز المولاري للمكون في الطور المتحرك

وتعتبر كروماتوغرافيا السائل ذات الاداء العالي (HPLC) من أفضل التقنيات المستخدمة في عمليات الفصل وتقدیر في صناعات المختلفة ولا هميتها الكبيرة فقد زادت الدراسات والبحوث بشكل كبير منذ اكتشافها ، ومن

ميزات كروماتوغرافيا السائلة ذات الاداء العالي :- HPLC :-

1- ذا كفاءة وانتقائية وحساسية عالية واستعمالات واسعة.

2- تحتاج إلى كميات صغيرة جدا من النموذج .

3- غير تالفة للمادة محللة او نموذج.

4- تكون سهلة التحليل والفصل و قياسها كميا .

5- يمكنها تقبل نماذج غير طيارة وحراريا غير مستقرة.

6- يمكن تطبيقها بشكل عام على الايونات العضوية واللاعضوية .

7- تمتاز بسرعتها عالية في الفصل بالمقارنة مع بقية طرق الفصل الكيميائي.<sup>(10)</sup>

تم تصنيف كروماتوغرافيا العمود حسب نوع القوى المسؤولة عن الفصل أو حسب القطبية إلى ما ياتي:

- 1- كروماتوغرافيا السائل العالي الأداء ذو الطور الاعتيادي "Normal phase HPLC"
- 2- كروماتوغرافيا السائل العالي الأداء ذو الطور العكوس" Reversed phase HPLC
- 3- كروماتوغرافيا التبادل الايوني "Ion-exchange HPLC" <sup>(11)</sup>

من شروط الطور الساكن (الصلب) في HPLC هي مادة قطبية ذات خواص إمتزازية جيدة وتعد الألومنيا وهلام السيليكا من أكثر الأطوار أو المواد استخداماً على الرغم من أن هناك الكثير من المواد التي يمكن استخدامها كطوراً ساكناً، إذ تتميز الألومنيا بكونها أكثر قطبية وأكثر فعالية، ولا يمكن استخدام الألومنيا الأعم مركبات ذات قطبية منخفضة، لأن مركبات التي تكون قطبيتها عالية تمتاز بشدة مع الألومنيا أي يصعب فصلها أو تخلیصها بواسطة المذيب، ومن شروط الي يجب مراعاتها عند اختيار الطور الساكن هي :

- 1- أن لا يذوب أو لا يتاثر مع المذيبات (الطور المتحرك) .
- 2- أن لا يتفاعل كيميائيا مع مذيبات الطور المتحرك، أو مع بقية مكونات الخليط المراد فصلها.
- 3- أن تمتلك فعالية امتزازية عالية وجيدة إذ تعتمد هذه الخاصية على التكوين الكيميائي للطور المستخدم
- 4- مساحة سطح حبيباته كبيرة بالنسبة لحجمها . <sup>(12)</sup>

#### 4-1 أنواع الفصل الكروماتوغرافي بناء على القطبية<sup>(13)</sup> :

##### 1-4-1 كروماتوغرافيا الطور الاعتيادي: Normal phase chromatography

يشير مصطلح الطور الاعتيادي إلى إحدى الأشكال التقليدية لتقنية الكروماتوغرافيا ويعرف أيضا بـ كروماتوغرافيا سائل - الصلب او كروماتوغرافيا الامتزازية ، التي يكون فيها الطور الساكن الثابت "أشد قطبية" والطور المتحرك يكون "عديم القطبية" ، وبالتالي تخرج المركبات اللاقطبية أولاً ، ومن ثم مركبات القطبية ، ولتحسين دقة وكفاءة الفصل يمكن زيادة قطبية الطور المتحرك وذلك بإضافة مذيبات أكثر قطبية بنسبة معينة مثل الميثanol أو الأسيتونتريل بتركيز مناسب<sup>(20)</sup> . إن معظم أعمدة الكروماتوغرافيا بالطور الاعتيادي تستخدم دعامة سيليكا صرفة (سيليكا جل) وهي نوع من انواع NH<sub>2</sub> ومن صفاتها تكون ذو تركيب عضوي

حامضي و قطبي<sup>(21)</sup> ، او مصنوعة من الالومينا كمواد قطبية مرتبطة بالسليكا وتكون ضعيف القطبية من سطح السليكا، ويفضل الاستخدام دعامة السليكا وذلك نتيجة توافرها بكثرة ورخص ثمنها . إذ يتم الفصل فيها ضمن نظام الطور العادي معتمدا على قطبية المادة المراد فصلها ، إذ تتأثر المجاميع القطبية الموجودة على سطح الطور الساكن بتأثيرات ثنائية قطب - ثنائي قطب او الترابط الهيدروجيني إذ يتم احتجاز الفصائل القطبية بسطح الطور الساكن<sup>(22-23)</sup> .

وهناك نظريتان لوصف ميكانيكية الاحتجاز في كروماغرافيا السائلة للطور الاعتيادي :-

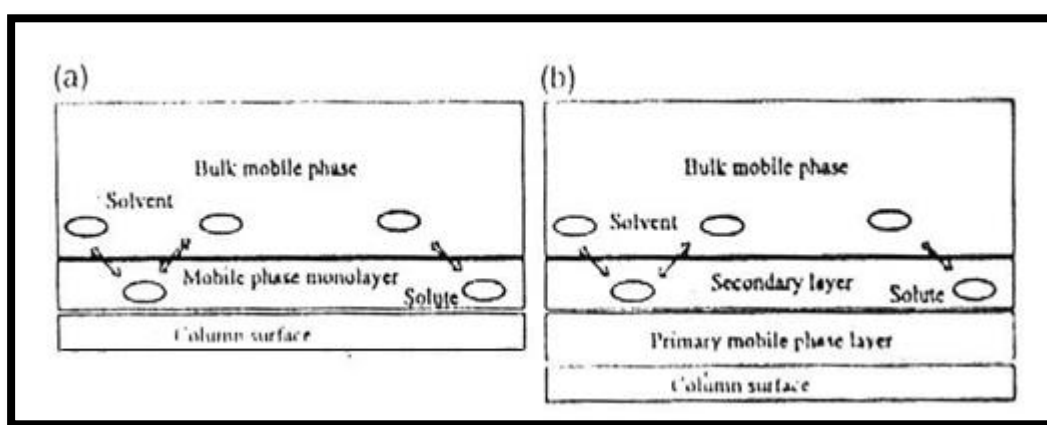
#### 1) نظرية المزاحمة أو المنافسة "Competition Theory"

في هذا النظرية تتم تغطية السطح الكلي للطور الثابت بجزيئات الطور المتحرك ويحصل عملية الامتزاز نتيجة المنافسة على موقع الامتزاز adsorption sites بين جزيئات المذاب (نموذج) وجزيئات الطور المتحرك.

#### 2) نظرية تأثير المذيب "Solvent interaction Theory"

افترضت هذه النظرية ب تكون طبقتين من جزيئات المذيب حول دقائق الطور الثابت تعتمد على قطبية المذيب في الطور المتحرك . حيث يحدث الاحتجاز نتيجة تأثير جزيئة النظرية "المذيب" مع الطبقة الثانية لجزيئه الطور المتحرك الممتنز.

وتعتبر هذه التقنية أقل استخداما بالمقارنة مع تقنية الطور العكوس وذلك بسب قلة انتقاليتها وطول زمن استقرارها فضلا عن حاجة هذه التقنية الى مذيبات عالية النقاوة وخالية من المواد العضوية التي تمتص ضمن مدى تقنية الفوق بنفسجية<sup>(24-25)</sup>. يمثل الشكل (1-5) رسمًا توضيحيًا لأنموذج المنافسة وتأثير المذيب



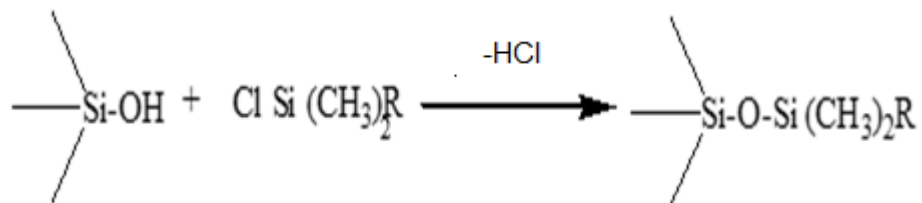
الشكل ( 1-6 ) رسمًا توضيحيًا لآلية العمل كروماتوغرافيا الطور الاعتيادي (لاظرية المنافسة وتأثير المذيب لاحتجاز المادة المحللة ).

إذ لا يمكن استعمال المحاليل المنظمة و الماء كاطوار متحركة ، لأنها تقلل من نشاط مجموعة الهيدروكسيل الموجودة في مادة السليكا ، وهذا يؤدي إلى زيادة كلفة التحليل نتيجة ارتفاع اسعار المذيبات العضوية المستخدمة مقارنة بالطور المتحرك المستخدم في تقانة كروماتوغرافيا الطور العكوس Rp-HPLC (29-26)

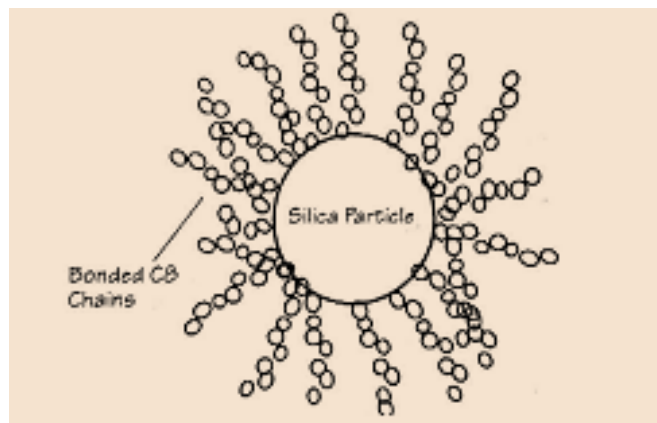
#### (2-4-1) كرومتوغرافيا السائلة ذات الاداء العالي (الطور العكوس) :

#### **High-performance liquid chromatography (reverse phase)**

وهي أحد أنواع الكروماتوغرافيا التوزيع<sup>(14)</sup> و هي أيضا تعتبر من التقنيات الأكثر استخداما والأكثر شيوعا في التحليل او الفصل عند مقارنتها مع طرائق الكروماتوغرافية المعروفة . يكون الطور المتحرك قطبي أو معتدل القطبية وأما الطور الثابت يكون غير قطبي وتسخدم بشكل واسع في فصل المركبات التي تكون محبة للماء أو الكارهة للماء . وقد تم استخدامها بكثرة في السنوات الاخيرة حتى وصل استخدامها حوالي 90-80% من عمليات الفصل الحديثة ، تستخدم في كروماتوغرافيا الطور العكوس طورا ثابتا متآثر كيميائيا مع الطور الساكن ، إذ تكون المجموعة الوظيفية متآصرة مع المجموعة العضوية وكما في المعادلات التالية<sup>(14)</sup> .

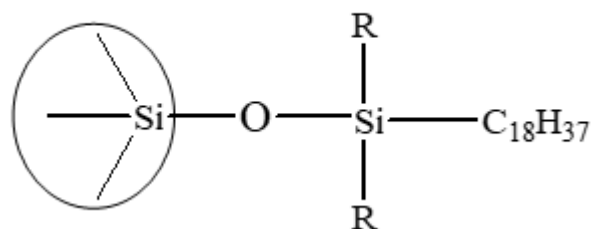


الشكل ( 1-1 ) يبين الترابط الحاصل بين دقائق السليكا مع السلسة الهيدروكرbonesية.



الشكل (1-2) الترابط الناتج بين دفائق السليكا مع السلسلة الهيدروكرbonesية المحتوية على  $C_8$  ،  $C_{18}$  .

وت تكون الأطوار المتاصرة من تفاعل المركب ثلاثي مثيل كلوروسيلين مع مجاميع الهيدروكسيد الموجود على سطح دعامة السليكا مكونه سلاسل هيدروكرbonesية (الكيلية) قد تحتوي  $C_2, C_3, C_4, C_8, C_{18}$  من ذرات الكربون . ويعد الباحث العالم الجيولوجي (Kirkland) أول من استخدم الأطوار المتاصرة الهيدروكرbonesية (السلاسل الالكيلية) في تقنية Rp-HPLC ، وتم تسميتها تجاريا باسم "ODS" إذ تكون السلسلة الهيدروكرbonesية من ثمانية عشر ذرة كاربون متاصرة مع سطوح دعامة السليكا بوساطة اصرة سيليل ايثر (مجموعة الاليكوسين) <sup>(14)</sup> كما هو موضح في الشكل (1-3) أدناه



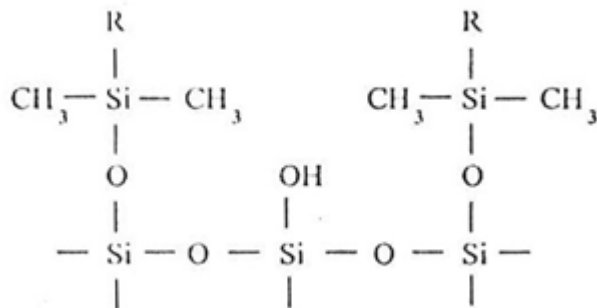
الشكل (1-3) يوضح سطح السليكا

هناك العديد من الأطوار المتاصرة والتي تحتوي على مجاميع الالكيل (- $C_{18}\text{H}_{37}, -C_8\text{H}_{17}, -C_4\text{H}_9$ ) و مجاميع الفنيل (- $C_6\text{H}_5$ ) لقد لوحظ أن زمن احتجاز المادة المراد تحليها يزداد بزيادة طول السلسلة <sup>(14)</sup> الهيدروكرbonesية وتنافر دقة وكفاءة الأطوار المتاصرة بعديد من العوامل ومنها :

- 1- طبيعة العوامل الاولية لسطح الساند لسليكا.
- 2- تحديد او اختيار المجاميع الوظيفية للمذيب المستخدم في التجربة.
- 3- عدد ذرات الكاربون المتاصرة او المترابطة بسطح السليكا.

#### 4- مرحلة تفاعلات التغطية النهائية End capping

نتيجة لعدم تفاعل مجاميع السيليونيل كلياً مع المجاميع الوظيفية ولأسباب فراغية أي الشكل هندسي للمركب . إذ تتفاعل المجاميع الموجودة على سطوح دعامة السليكا بنسبة ( 45 % ) أما المجاميع التي لا تتفاعل فيتم تغطيتها بمركب كلوريد ثلاثي ميثيل السيليل في مرحلة التغطية النهائية<sup>(15)</sup> وكما موضح في الشكل ( 1-3 )



الشكل ( 4-1 ) يبين سطح السليكا قبل وبعد صوله لمرحلة النهاية

وهذا النوع من الأطوار الثابتة واسعة الاستخدام وذلك بسبب كونه غير مكلفة مادياً وتكون مستقرة بالمقارنة مع المذيبات العضوية الأخرى ، والتي تجعل من هذه التقنية استخدامات كثيرة ومتعددة في مجال التحاليل والطبية والصيدلانية والعضوية والبيئية وغيرها ....<sup>(16)</sup>

**يتكون جهاز الكروماتوغرافيا السائلة ذات الاداء العالي ( HPLC ) من ثمانية مكونات رئيسية:**

- 1- مستودع حفظ الطور المتحرك ( mobile phase reservoir ) :- هو عبارة عن وعاء ذو حجم معين نظيفاً يحوي الطور المتحرك المفرغ من الهواء والغازات مسبقاً، حتى لا يتسبب خطأ في التحليل. كما يجب تنقية الطور المتحرك من الشوائب عند إعداده بعملية الترشيح؛ لمنع انسداد العمود التحليلي.
- 2- نظام توصيل المذيب (المضخة) ( solvent delivery system ) :- هو مضخة ( pump ) و هناك شروط أو متطلبات رئيسية لعمل هذه المضخة منها :-

( ) توليد ضغط حتى 6000 psi

(ب) خالية من الذبذبة.

(ج) معدل تدفق او سريان من 0.1 إلى 10 مليلتر / دقيقة.

(د) مقاومة للتأكل اي لاتتاثر بالمذيبات الكيميائية المختلفة.

النظام الحديث المستخدم في الأجهزة الحديثة ذات التكلفة العالية، حيث استعمال مضخه ذات رأس ترددی (مکبس للأمام وآخر للخلف) بحيث إن أحد المکبسين يلغى ذبذبة الآخر، وهذا يؤدي الى تكون سريان الطور المتحرك خالياً من الذبذبة. ومن الواجب والضروري امرار المیثانول في منظومة المضخة قبل وبعد اجراء التجربة وذلك لمنع حدوث ظاهرة التأكل.

3 - نظام إدخال العينة (الحاقن) :- أن ادخال أو حقن النموذج إلى المنظومة يتم عبر صمام موجود في المنظومة يدعى الصمام الحاقن (valve injector) المزود بوصلة التحميل loop لمواجهة مشكلة الضغط العالي للمنظومة. ويحقن النموذج السائل داخل الصمام تحت الضغط المنخفض ثم يتم تحريك عتلة الصمام إلى الأسفل وهذا يسمح بملئ النموذج السائل داخل الحلقة ومنه يسري إلى العمود التحليلي وعادة يتراوح حجم حلقة تحميل النموذج من  $\mu\text{L}$  200-2 والشكل (1-5) يوضح تصميم الحاقن وما تبقى من المكونات . HPLC الجهاز

4 وحدة الفصل (العمود) :- تصنع الأعمدة فيـ HPLC عادة من أنبوب معدني مصنوع من الفولاذ المقاوم للصدأ وبسمك يتحمل ضغط عالي وتتكون أعمدةـ HPLC بأطوال محدودة تتراوح (5-50) cm وبقطر داخلي 4.6mm في الغالب. وإن أساس الفصل المستخدم فيـ HPLC يشمل:

□ التوزيع

□ الامتزاز

□ التبادل الأيوني

□ الاستبعاد الحجمي

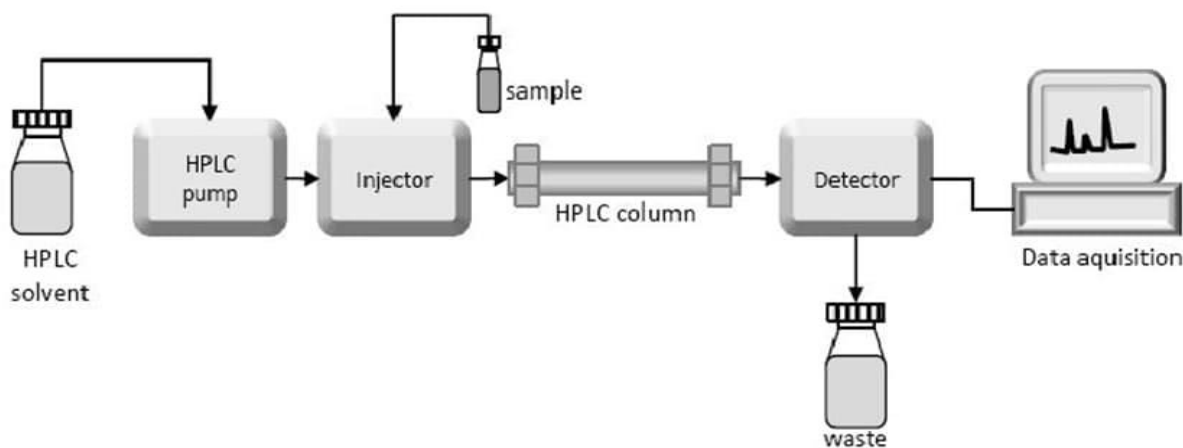
5- وحدة الكشف : (Detector) لتحسس المركبات المفصولة.

6- أنابيب التوصيل :- وتكون مصنوعة عادة من مادة خاملة كالحديد غير القابل للصدأ أو من البلاستيك الخامل او من الزجاج كي لا تتفاعل مع مكونات طور المتحرك .

7- جهاز حاسوب أو مسجل:- data collection ليساعد على تفسير النتائج وخرزتها .

8- وعاء المخلفات.

و يلعب كل جزء من اجزاء جهاز HPLC دورا مهما في عملية تحليل العينة اذ بعد عملية حقن الم novità في الجهاز تبدا عملية فصل المكونات من خلال العمود التحليلي وبعدها يتم الكشف عنها بمحسنس معين (كافش) اذ يتم رسم الاشارة الخارجية على شكل قمم وتكون مفصولة عن بعضها وتقارن أزمان احتجازها مع المواد القياسية<sup>(18)</sup> والشكل (1-4) يوضح مكونات جهاز HPLC



الشكل (1-5) يوضح مكونات جهاز الكروماتوغرافيا السائلة HPLC<sup>(19)</sup>

### (5-1) التطبيقات العامة للتقنية الكروماتوغرافية عالية الاداء ذات الطور العكوس

ومن التطبيقات الشائعة لتقنية الكروماتوغرافيا السائلة عالية الاداء للطور العكوس RP-HPLC

<sup>(37,39)</sup> هي:

ا- السيطرة النوعية في معامل الأدوية عن طريق قياس نسبة المواد الفعالة في التركيبات الصيدلانية

ب - قياس نواتج تحلل المركبات الدوائية في المراكز البحثية.

ج- تنقية وفصل المركبات الدوائية المستخلصة من النباتات.

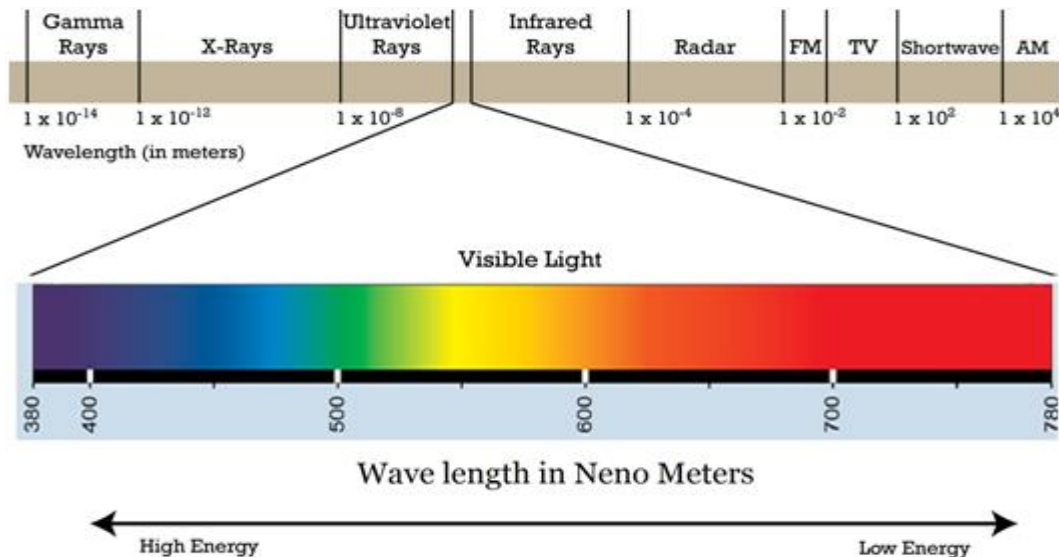
د- فصل البولимерات وتقدير الوزن الجزيئي للبولимер والمركبات العضوية الأخرى عبر اقترانها من تقنية طيف الكتلة.

ه - متابعة ومراقبة تفاعلات المواد العضوية المختلفة.

د- تحديد مستوى الأحماض الأمينة والأحماض النوويية في النماذج الباليوجية.

## 6-1) الإشعاع الكهرومغناطيسي :

وهو نوع من أنواع الطاقة التي تنتقل على شكل موجات أو جسيمات ذات اطوال موجية وترددات مختلفة ، يقسم هذا الطيف بشكل عام الى سبع مناطق اي يتكون من الأشعة الكونية و أشعة كاما عالية الطاقة ، والتردد ذات الطول الموجي القصير جداً و اشعة-اكس (السينية) الاشعة فوق البنفسجية والأشعة المرئية ، الاشعة تحت الحمراء وأشعة الميكروويف إلى الأشعة الراديوية ذات الطول الموجي الطويل (طاقة والتردد الواطيء) ، مختلفة كما في الشكل. (1-1) (40-41)



(7-1) الشكل توضيحي لاقسام الاطياف الكهرومغناطيسي (42)

## 7-1) التحليل الطيفي المرئي وال فوق البنفسجي:

تستخدم الطريقة الطيفية لقياس تركيز المواد الكيميائية التي تمتص الإشعاع الكهرومغناطيسي وهي من الطرق النوعية والكمية وتعامل مع الأشعة فوق البنفسجية، و المرئية و الأشعة تحت الحمراء (43)، تمثل الأشعة المرئية و الأشعة فوق البنفسجية جزءا صغيرا من منطقة الطيف الكهرومغناطيسي والتي تقع بين 190 nm إلى حوالي 800 nm<sup>(45-46)</sup> و تعتبر منطقة الأشعة فوق البنفسجية القريبة من 200-400nm والمنطقة المرئية من 400-800nm من المناطق التحليلية المهمة لقياس امتصاص الأشعة فوق البنفسجية

والمرئية من خلال محاليل المواد اللاعضوية والعضوية ويتم الامتصاص بواسطه إثارة الكترونات التكافؤ<sup>(47)</sup> ، كما إن الطاقة في هاتين المنطقتين تكون كافية للإثارة ويرافق الانتقال الإلكتروني في الجزيئات متعددة الذرات انتقالات دورانية وانتقالات اهتزازية لذا يكون الطيف الناتج بحالة حزمية، عكس الطيف الناتج من امتصاص الذرات الذي يكون بحالة خطية لغياب الانتقالات الدورانية والاهتزازية<sup>(48)</sup> ، وتعطي الاطياف الخطية والاطياف الحزمية معلومات فقيرة حول طبيعة الروابط الموجودة في الجزيئة ويمكن قياس تراكيز المواد غير الماصة للإشعاع بتحويلها إلى مشتقات قابلة لامتصاص والتغيير في المنطقة المرئية عن طريق التفاعل مع كاشف عضوي.<sup>(49-50)</sup> إذ أن الطرائق الطيفية في تقنية Visible - UV تميز بعدة خصائص منها السرعة و الدقة، والحساسية عالية و البساطة و الانقائية ، تتطلب كميات صغيرة من مادة التحليل و غير محطمة لمكونات النموذج<sup>(51-52)</sup>.

ومن التطبيقات المهمة للطرق الطيفية هي تقدير تراكيز كثير من المواد الكيميائية والجيولوجية وكذلك المواد الصيدلانية والفيتامينات والمنشطات و المخدرات . وفي الطب يتم الاعتماد على الاشعة فوق البنفسجية لمعالجة بعض الامراض الجلدية كحالات البهاق والصدفية وكذلك استخدامها في تعقيم ادوات الجراحة لامكانية الاشعة فوق البنفسجية لقتل البكتيريا والفيروسات<sup>(53-54)</sup> .

## Quantitative Absorption Laws

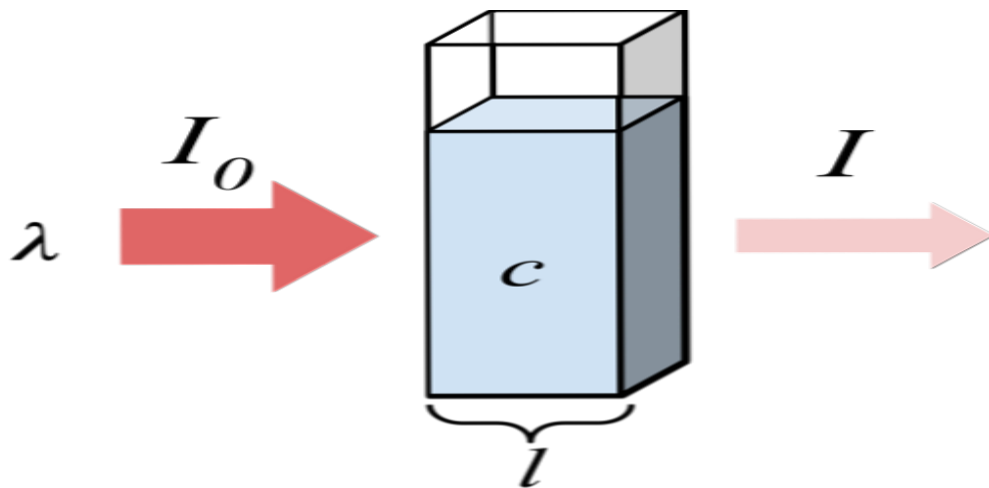
### (8-1) القوانين الكمية لامتصاص

#### 1-8) قانون بيير-لامبرت : Lambert –Beer Law

يعد"قانون بيير لامبرت هو من أهم القوانين الكمية في علم البصريات، حيث يصف العلاقة التجريبية التي تربط بين امتصاص"الضوء وخصائص المادة التي يعبر"الضوء من خلالها، ولقد تم اكتشاف القانون من قبل العالم الفرنسي (بيير- بوغir) عام 1729م، ثم جاءت جهود العالم (لامبرت) في اختبار تجربة (بوغir) الضوئية في كتابه (Photometria) في عام 1760. وفي عام 1852م، وسع (أوغست بيير) قانون الامتصاص الأسّي ليتضمن قياس تراكيز المحاليل بعد معرفة قيمة معامل الامتصاص المولى ، ويعتبر قانون بيير-لامبرت عبارة عن علاقة تجريبية تربط امتصاص الضوء بخصائص المادة التي يعبر الضوء من خلالها.<sup>(55-56)</sup>

وقد جمعت العلاقتين في علاقة رياضية واحدة تدعى قانون بيير - لامبرت تخليداً للعلميين وعندما يتم التعبير عن التركيز بدالة التركيز المولاري يؤخذ ثابت التناوب الرمز (ε) ويدعى عامل الامتصاص

المولاري وفي الكتب القديمة يسمى (عامل الاطفاء المولي) الذي تعتمد قيمته المذيب و الطول الموجي الذي يتم عنده القياس<sup>(57-58)</sup>. أما عندما يتم التعبير عن التركيز بدالة  $L/g$  فيتخد الثابت  $a$  الذي يدعى المتصاصية وهذا يطبق في حالة المواد غير معلومة الوزن الجزيئي ويطلب القانون أعلاه إشعاع احادي الطول الموجي. كما هو موضح في الشكل (8-1)<sup>(59)</sup>.



الشكل (8-1): امتصاصية العينة للإشعاع<sup>(59)</sup>

والشكل الرياضي لقانون الامتصاص بالعلاقة الكمية بين تركيز محلول قياسي وشدة الإشعاع المتصص وفقاً للعلاقة التالية :

$$A = \log I_0 / I = \epsilon bc \quad \dots \dots \quad (1)$$

إذ أن :

$I_0$ : يعبر عن الإشعاع الساقط ، والتي يمكن أن يمتلكها المركب قيد التحليل

$I$ : يعبر عن شدة الإشعاع النافذ من محلول.

A: الامتصاص (Absorbance) مجرد من الوحدات

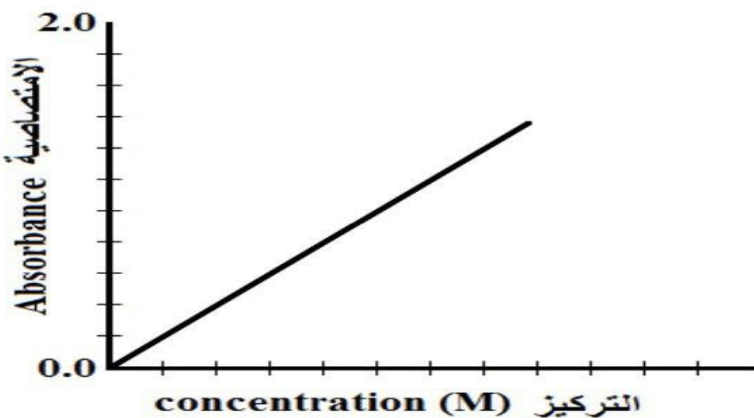
b: طول المسار بوحدة السنتيمتر cm

$\epsilon$ : معامل الامتصاصية المولارية بالوحدة ( $L \cdot mol^{-1} \cdot cm^{-1}$ )

c: التركيز بوحدة مول/لتر

إن العلاقة بين الامتصاصية  $A$  و  $b$ ، وبين الامتصاصية  $A$  والتركيز  $C$  حسب قانون بير لمبيرت يجب أن تكون خطية، وتمر بنقط الأصل نظرياً، بينما وجد عملياً إن العلاقة بين امتصاصية  $A$  وطول المسار عرض الخلية  $b$  هي علاقة خطية دائماً. <sup>(61-59)</sup>

ويتم قياس الامتصاصية عند الطول الموجي الأعظم والذي يمثل أعلى قيمة لامتصاصية عند تركيز معين أي التركيز الذي يعطي أعلى امتصاصية، ويتم حساب تركيز المادة المجهولة من المنحنى القياسي كما هو في شكل المجاور (1-4).



شكل (9-1) رسم يوضح العلاقة البيانية بين التركيز والامتصاصية

#### لمحة أونبذة عامة عن الدواء:

الدواء هي عباره عن مركبات كيميائية طبيعية أو مصنعة ذات انتقائية عالية تستخدم على شكل منتجات صيدلانية تهدف إلى معالجة حالة مرضية ، وتحتوي المنتجات الصيدلانية على واحد أو أكثر من الأدوية تنتج تأثيرات البيولوجية عند اعطائها للكائنات الحية <sup>(62)</sup> ، وفي علم الصيدلة فإن العقار يسمى بالأدواء التي تستعمل لمعالجة الأعراض السريرية التي تصيب الإنسان والحيوان وكذلك تستخدم لمعالجه الأمراض المشخصة أو لتعزيز السعادة <sup>(63)</sup> ، حيث يوجد أشكال مختلفة من الأدوية مثل الأحماض أو القواعد. أدناه نلخص الأشكال واسع الانتشار والأكثر شيوعا وأهمها <sup>(64-65)</sup> :

- 1- حيث المواد التي يفتقر إليها الكائن الحي مثل "البروتينات ، الفيتامينات ، الهرمونات"
- 2- يستخدم للوقاية من الأمراض أو العدوى مثل اللقاحات.

3- بعض الأدوية تستخدم كمضاد حيوي حيث العلاج الكيميائي على سبيل المثال .

4- وأيضاً يستخدم لتصليح الوظيفة المشوasha مثل cardio tonics مثل مقويات القلب والتي تستخدم لعلاج قصور أو ضمور وظيفة معينة مثل ارتفاع الضغط الشرياني.

### (10-1) تحليل الأدوية :

يعتبر التحاليل الدوائية من الفروع المهمة في الكيمياء التحليلية<sup>(66-67)</sup> ، حيث من خلال التحاليل نستطيع الإجابة على

1- هل إن المادة الدوائية مطابقة للمواصفات القياسية.

2- معرفة المواد الموجودة في المستحضر الصيدلاني .

3-نسبة وكمية المادة الموجودة في التركيبة الصيدلانية .

4 معرفة استقرار التراكيب الدوائية وب بواسطتها يتم معرفة التركيب الدوائي.

### (111-1) الأدوية المستخدمة في الدراسة :

#### 1-11-1) **Chlordiazepoxide:**

تم اكتشاف هذا دواء عن طريق الصدفة بعد سلسلة من التجارب تضمنت الاخطاء والاخفاقات العلمية التي تحولت إلى نجاحات غير متوقعة ،في عام 1955 العالم الكيميائي هوفمان- لاروش ليو عن طريق الصدفة اكتشف أول بنزوديازيبين ، التي تضم كل من كلورديازبوكسيد ، ديازيبام، أبرا زولام ، استخدمت البنزوديازيبينات اول مرة كعلاج لأمراض النفسية الاضطرابات النفسية من القلق والتوتر والخوف والهلع وغيرها ،

إذ أن كلورديازبوكسيد من ضمن الأسماء التجارية المشهورة للدواء هو الليبريوم librium ، حضر هذا الدواء في العلاج السريري في عام 1958 وتم تسويقها في عام 1960 ثم بعد ذلك تم اكتشاف ديازيبام (فالاليوم) في عام 1963.

كما يستعمل كلورديازبوكسيد في علاج القلق والأرق أو التوتر العصبي يعطى للمصابين بحالة الصرع ، ومن التأثيرات الجانبية لهذا الدواء هو الشعور بالدوار أو الدوخة أو النعاس أو تشويش الرؤية وغيرها .. لا يمكن استخدامه في المرضى الذين يعانون من التحسس العلاجي، ولا ينصح استخدامه للنساء في فترة الحمل ، يؤخذ عن

طريق الفم أو عن طريق الحقن العضلي، والجدول (2-1) يوضح الخصائص العامة لعقار كلورديازبوكسيد

(68-69)

### جدول (2-1) الخصائص العامة كلورديازبوكسيد (70-72)

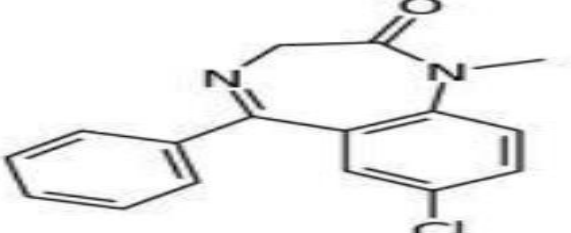
الاسم الكيميائي	الاسم
chloro-2-methylamino-5-phenyl-3H-1,4-7 benzodiazepine-4-oxide	
C <sub>16</sub> H <sub>14</sub> ClN <sub>3</sub> O	الصيغة الجزيئية
299.7549 g/mol	الوزن الجزيئي
سريع الذوبان في الماء ولكنه يذوب بشكل معندي في الميثanol و الإيثanol والاسيتون ولكن لا يذوب في كلورفورم وثنائي الإثير	الذوبانية
مسحوق بلوري أبيض اللون أو مائل إلى الأصفر عديم الرائحة	المظهر الخارجي
4.8	pKa
236-236.5 °C	درجة الانصهار
	الصيغة التركيبية

### 2-11-1) diazepam : الديازيبام

الاسم التجاري للديازيبام هو فاليلوم Valium و لقد ظهر هذا الدواء في الخمسينيات من القرن الماضي ، وهو من أكثر الأدوية نجاحا في علم الأدوية الطبية النفسية يستخدم كمهدئ للإعصاب (73) . تم صناعة هذا الدواء عام 1959 من قبل شركة Hoffman-LaRoche و تم تقديمها كدواء أو علاج في

الولايات المتحدة عام 1968. وبعد هذا دواء خافضاً للقلق والأضطراب النفسي والهلع ويعطى أيضاً للناس المصابين بالصرع<sup>(74)</sup> (البيغوانيد) وهو خط المعالجة الأولى للمرضى النفسيين من الأضطرابات القلق والتوتر يؤخذ عن طريق الفم أو الحقن العضلي<sup>(75)</sup>.

### الجدول (1-3) الخصائص العامة لعقار ديازيبام<sup>(76-77)</sup>

1,4-benzodiazepinone benzodiazepin-2-one	that is $C_{16}H_{13}ClN_2O$	الاسم الكيميائي الصيغة الجزيئية
284.7 g /mol		الوزن الجزيئي
يذوب في الماء والايثانول تقريباً لا يذوب في الاسيتون		الذوبانية
مركب او مسحوق بلوري عديم اللون مائل الى اصفر فاتح		المظهر الخارجي
3.4		pKa
497.4°C		درجة الغليان
257-259 °C		درجة الانصهار
		الصيغة التركيبية

### Alprazolam : 3-11-1

الاسم التجاري لهذا الدواء هو زاناكس (Xanax) ينتمي هذا الدواء إلى مجموعة الأدوية المعروفة باسم البنزوديازيبينات (Benzodiazepines)<sup>(76)</sup>، يستخدم زاناكس في حالات التوتر والقلق الناجم عن ضغوط الحياة والعمل إذ يصفه الأطباء لمن يواجهون ضغوط شديدة في العمل أو للطلبة في أوقات امتحاناتهم لتقليل التوتر والقلق ولكنه قد يسبب أيضاً فقدان التركيز. لا يستعمل زاناكس لفترات طويلة حيث يسبب ذلك الاعتياد عليه.

وادمانه بدرجات متفاوتة ، لا يعطى في حالات القصور التنفسية الحادة ، لا يعطى في الحمل والإرضاع يعطى بحذر في القصور الكبدي أو الكلوي ، لا يستخدم ممن يعانون من مشاكل في العضلات ووهن عضلي <sup>(78-80)</sup>.

#### والجدول (4-1) يبين الخصائص العامة لعقار البرازولام (81-82-83)

8-Chloro-1-methyl-6-phenyl-4H-[1,2,4]triazolo[4,3-a][1,4]benzodiazepine(77 )	الاسم الكيميائي
C <sub>17</sub> H <sub>13</sub> ClN <sub>4</sub>	الصيغة الجزيئية
308.765 g /mol	الوزن الجزيئي
لайдنوب في الماء لكنه يذوب في الميثanol والإيثانول والكلوروفورم وقليل الذوبان في الأسيتون	الذوبانية
مسحوق بلوري عديم اللون إلى أصفر فاتح	المظهر الخارجي
5.08	pKa
228-229.5 °C	درجة الانصهار
	الصيغة التركيبية

#### 4-11-1) Amitriptyline: أميتريبتيلين

تم اكتشاف أميتريبتيلين في أوائل الخمسينات من القرن الماضي في تحديد عام 1950 عن طريق شركة فرنسية رون بولينك ، من الأسماء التجارية لأميتربيتيلين هو إيلافيل (Elavil) وهو مضاد للأكتئاب ثلاثي الحلقة يساعد على تعديل مزاج المريض وازالة الاكتئاب ، لا يجوز استخدامها في المرضى الذين يتعافون من احتشاء عضلة القلب ، ومن الآثار الجانبية هو جفاف الفم النعاس والدوخة وزيادة في الوزن والامساك <sup>(84)</sup> ، يؤخذ عن طريق الفم او الحقن العضلي <sup>(85-86)</sup>

**(87-89) والجدول (5) يبين الخصائص العامة لعقار أميتريبيتيلين**

IUPAC name	3-(10,11-dihydro-5H-dibenzo[a,d]cycloheptene-5-ylidene)-N,N-dimethylpropan-1-amine	الاسم الكيميائي
C <sub>20</sub> H <sub>23</sub> N		الصيغة الجزيئية
277.403 g /mol		الوزن الجزيئي
يدوّب في الماء والإيثanol والميثانول والكلوروفورم ولا يذوب في الإيثر		الذوبانية
مسحوق بلوري عديم اللون إلى اصفر فاتح		المظهر (89) الخارجي
9.49	pKa	
196-197 °C		درجة الانصهار
410.26°C		درجة الغليان
		الصيغة التركيبية

**(12-1) الدراسات السابقة**

**(1-12-1) الدراسات السابقة في طرائق تقدير لادوية ( كلورديازبوكسيد الديازيبام وألبرازولام وأميتربيتيلين ) بالطريق الكروماتوغرافيا العكوسية:**

Name	Mobile phase method	Column	Detector	Linearity and $\lambda_{max}$	Detection limit	Ref
Rp-HPLC	Ortho phosphoric Acid : Methanol in the ratio of 50:50 v/v (Adjust pH 2 with Orthophosphoric Acid) for CH acetonitrile-0.05 M disodium hydrogen phosphate-triethylamine (50 + 50 + 0.2, v/v/v), pH 2.5 for AM.	C8 (250mm x mm,5μm particle size)	UV-Detector	(253 – 247) nm 10-30 μ g/mL for CH 25-75 μ g/mL for ANM	LOD=0.130 μ g/mL for CH LOQ=0.395 μ g/mL for CH for ANM LOD=0.154 μ g/mL LOQ=0.466 μ g/mL for AM	90
HPLC	Acetonitrile-0.05 M disodium hydrogen phosphate-triethylamine (50 + 50 + 0.2, v/v/v), pH 2.5 acetonitrile-0.05 M disodium hydrogen phosphate (50 + 50, v/v), pH 4.0	C8 (250mm x mm,5μm particle size)	247 nm UV-Detector	220 nm . Linearity 2.5-150 μ g/mL for CH	LOD 0.04 μ g/mL LOQ 0.13 μ g/mL For CH 25-75 μ g/mL for AM	91

RP-HPLC	methanol: water (97:03, v/v)	C18 column (250mm×4.6 mm id, 5 μm particle size) Phenomene x	262 nm UV-Detector For AM	0.5-5 μg/ml for CH 2.5-75 μg/mL For AM	LOD CH LOQ 1.30 μg/mL for CH LOD 0.48 μg/mL LOQ 0.154 μg/mL, LOQ 0.466 for AM	92
RP-HPLC, HPTLC	methanol: acetonitrile: ammonium acetate buffer (50:20:30, v/v/v), final pH adjust to 5.5 ± 0.02 with ortho phosphoric acid	C18 (250×4.6 mm id, 5 μm particle size) silica gel 60 F254 using carbon tetrachloride: acetone: triethylamine (6:3:0.2, v/v/v) as mobile phase	240 nm UV-Detector For CH	0.1-1.6 μg/ml 4-25 μg/ml for AM	For CH AM	93
Rp-HPLC	Methanol and 0.1 M ammonium acetate at a pH 5.50 (60:40, v/v)	C8 (250 mm × 4.6 mm i.d., 5 μm particle size), CA) C18	274 nm UV-Detector 506nm	CH -4.0-275.0 μg/mL	LOD= 0.48 μg/mL LOQ=1.59 μg/mL	94
UV and Rp-HPLC	0.5M ammonium acetate :Methanol: Water (3:4:3, v/v/v)	column (250mm×4.6 mm id, 5 μm particle size) Phenomene x	UV-Detector For DIZ	UV- Detector For DIZ	LOD= 0.20 μg/mL LOQ=0.65 μg/mL for DIZ	95

Rp-HPLC and UV	0.065M ammonium acetate : acetonitrile : methanol 50:20:30 v/v/v at a pH 5.5	C8 (250 mm×4.6 mm id, 5 μm particle size), 4.6mm ,id,5μm)	270nm UV-Detector	1-20 μg/ml For AM. For CH	LOD 0.33 μ g/mL LOQ 2-24 μg/ml For CH 1.0 μ g/mL For AM.	96
RP-HPLC and UV	25mM-ammonium acetate : acetonitrile: 0.2% triethanol amine at a pH=5.0 35:65:0.2 v/v/v	(150mm×4.6 mm id, 5 μm particle size) C18 column	258.2 nm UV-Detector	0.5-50 μg/mL For ALP	LOD=0.12 μg/mL, LOQ= 0.38 μg/mL for ALP	97
RP-HPLC	0.05M Phosphate buffer :acetonitrile :at a pH of 7.2 55:45 v/v/v	C18 (250mm×4.6 mm id, 5 μm particle size)	264nm UV- visible detector			98
RP-HPLC and UV	Methanol :H <sub>2</sub> O: Acetic acid (35:65:0.1 v/v/v)	C18 (250mm×4.6 mm id, 5 μm particle size)	210 nm UV-Detector			99
Rp-HPLC	0.1 M -OPA(O-phthalaldehyde Buffer : Methanol(50:50) v/v	C18 (250mm×4.6 mm id, 5 μm particle	253 nm UV-Detector	10-30μg/mL for CH 25-75μg/mL for AM	LOD 0.130mg/mL LOQ 0.395mg/mL	100

						For CH	
						LOD	
						0.154mg/mL	
						LOQ	
						0.466mg/mL	
Rp-HPLC	H <sub>2</sub> O: Methanol : acetonitrile (35:60:5 v/v/v)	C18 (250 mm × 4.6 mm id, 5 μm)	239 nm . UV- Detector	2.2-60 μg/ml for AM	LOD= μg/mL	2.44	101
HPLC	0.1M Acetic Acid:Methanol:H <sub>2</sub> O (30: 50:20 v/v/v)	C18 (250mm×4.6 mm id, 5 μm particle size)	225nm UV- Detector	4-14 μg./mL For ALP	LOD=0.045 μg/mL LOQ=0.151μg /mL ALP	102	

**(1-12-1) الدراسات السابقة في طرائق تقدیر الادوية ( كلورديازبوكسید الديازيبام وألبرازولام وأميتريبيتيلين ) بالطريق الطيفية UV-visible**

Reagent	λ <sub>max</sub> (nm)	Linearity	Molar absorptivity and Sandellsensitivity	Recovery % and Correlation coefficient	LOD& LOQ	Ref.
Ethyl acetoacetate C <sub>4</sub> H <sub>8</sub> O <sub>2</sub>	UV-Visible	1–16 μg/ml	CH for 10 <sup>4</sup> L. mole <sup>-1</sup> .cm	2.74 × 100.3 ± 1.2 Rec% for CH		103

	408nm				
	and 482				
	nm				
0.1M HCl	UV-	1-15 $\mu\text{g/ml}$	$3.716261 \times 10^4$	Rec% = $100.24 \pm 100.34$	104
	Visible	and the mole.	$\text{cm}/\text{dm}^3$	for CH	
	At $\lambda_{\max}$	second			
	245nm	series			
		contained			
		2-30 $\mu\text{g/ml}$			
second derivative	UV-	0.5-4		Rec%	LOD 0.05 105
Spectrophotometry	Visible	$\mu\text{g/mL}$		$100.65 \pm 1.257$	$\mu\text{g/mL}$
methanol	at				LOQ 0.150
	$\lambda_{\max}$				$\mu\text{g/mL}$ for
	280.4nm				ALP
	.				
methanol	319.4	1-40		LOD = 0.12	
	nm	$\mu\text{g/mL}$		Rec% = 101.19	$\pm \mu\text{g/mL}$ 106
				1.98 for ALP	LOQ = 0.37
					$\mu\text{g/mL}$
H <sub>2</sub> O	with	UV-	0.5-60	AM for Rec % = 99.54	107
NH <sub>4</sub> Fe(SO <sub>4</sub> ) <sub>2</sub>	2.12	Visible	$\mu\text{g/mL}$ .	r <sup>2</sup> = 0.9996	
v/v	at				
	$\lambda_{\max}$				
	460.0nm				

Methanol solvent	UV-	2 .0-12.0		99.66 = Rec %		108
	Visible	$\mu$ g/mL		for AM		
	at					
	$\lambda_{max}$					
	240.0nm					
Distilled water	UV-	0.3–	Sandell sensitivity	R% = 98.57-100.52%	LOQ=0.2430	109
	Visible	15 $\mu$ g/mL	0.0233 $\mu$ g/cm <sup>2</sup>	R2 = 0.999	LOD=0.0802	
	at		Molar absorptivity			
	$\lambda_{max}$		= 1.345 $\times$ 10 <sup>3</sup>			
	530.0nm		L/mol/cm			
Ethanol solvent with acidic dye, bromocresol green at pH 3.5, which is extractable into chloroform from the aqueous phase.	UV- Visible	2–60 $\mu$ g·cm <sup>-1</sup>	Sandell sensitivity 57 $\mu$ g·cm <sup>-2</sup> for DIZE	DIZE		110
	at		Molar absorptivity			
	$\lambda_{max}$		0.001 L/mol/cm, for			
	410.0nm		DIZE			
1.0 M HCl with Ethanol	UV- Visible	2.0 – 110. mg /L		RSD = 3.3% Rec% = 102.6 for DIZE		111
	at					
	$\lambda_{max}$					
	360.0nm					
0.1M HCl with H <sub>2</sub> O	UV- Visible	3.0-15.0 $\mu$ g/ml		Rec% 98.36 to LOD for DIZE 0.159 100.72 %. r2 = 0.999 and		112
	at					

1:1 (v/v)	$\lambda_{\max}$	for DIZE	LOQ= 0.482
	231.0nm		$\mu\text{g/mL}$
Acetonitrile as a solvent	UV- Visible	2-10 $\mu\text{g/mL}$	Rec% 99. $r^2 = 0.9990$ foe DIZE
	at $\lambda_{\max}$		DIZE LOD= 0.34, LOQ=1.14
		357.0nm	$\mu\text{g/mL}$
HCl 0.1 M	UV- Visible	0.1 - 2 mg/10 mL	DIZEMolar absorptivity, $6.38 \times 10^3$
	at $\lambda_{\max}$		LOD=0.0041 114 $\mu\text{g/mL}$
		530.0nm	LOQ=0.06 $\mu\text{g/mL}$
0.1 M HCl with Ethanol 95%	UV- Visible	1-70 $\mu\text{g}$ $\text{mL}^{-1}$	Rec% 99.4
	at $\lambda_{\max}$		DIZE 115
		260.0nm	
solution 0.1N HCl	UV- Visible	1-70 $\mu\text{g}$ $\text{mL}^{-1}$	Molar absorptivity $1.404 \times 10^4$
	at $\lambda_{\max}$		$r^2 = 0.997$ for ALP Rec.%= $101.17 \pm 0.421$
	t 260.4 nm		L. Mol $^{-1}$ Cm $^{-1}$ for ALP
			Sandell sensitivity

$$0.022 \times 10^4 \text{ L Mol}^{-1}$$

$$\text{Cm}^{-1} \text{ for ALP}$$

---

### (13-1) الهدف من البحث

يهدف البحث الى :

تطوير طرفيتين جديدين لتقدير بعض العقاقير الطبيه قيد الدراسة باستعمال تقنية الكروماتوغرافيا ذات الاداء العالي HPLC وتقنية الامتصاص الجزيئي .

1- الطريقة الاولى :- تتضمن استخدام الكروم اتوغرافيا الطور العكوس لتقدير الادوية الأربع بشكلها الحر المنفصل نوعيا وكميا ، ثم خللت مع بعضها وثم فصلها عبر العامود  $C_{18}$  وتم دراسة العوامل التي تؤدي الى فصلها وتقديرها بشكل تام

2- الطريقة الثانية :- وهي الطريقة الطيفية وتضمنت استخدام تفاعلات الأكسدة والاختزال وتم اختيار الكاشف MBTH والعامل المؤكسد  $\text{FeCl}_3$  لتقدير أدوية ( كلورديازيبوكسيد و ديزيبام وأميتريبتيلين و البرازولام ) كميا بعد دراسة الظروف المختلفة التي تعطي حساسية عالية للحصول وحد كشفي عالي .

## 2-الجزء العلمي

### الجدول (1-2) الاجهزه المستخدمة:

Experimental

الرقم	اسم الجهاز	الشركة المجهزة	مكان تواجد الجهاز
1	HPLC Pump, with CBM-20A Column ODS-C18 (250mmX4.6 mm id) with 5micron particle , with manual injector (Radional ,loop 20 micro and 100 $\mu$ L syringe (hamelton)	SHIMADZU, JAPAN	كلية الصيدلة/ جامعة كربلاء
2	Uv-Visible Spectrophotometer, UV-1800, with two quartz Cuvette	SHIMADZU, JAPAN	كلية طب الاسنان جامعة كربلاء
3	Hamamatsu Ultra sonic Batn- CLEAN 50 مانى يعمل بالموجات فوق الصوتية	China	كلية الصيدلة جامعة كربلاء

كلية الصيدلة جامعة كربلاء	Germany	pH.meter W TW Lab-pH Meter inoLob	4
كلية طب الاسنان جامعة كربلاء		100 μL glass micro-syringe	5
كلية الصيدلة جامعة كربلاء	Germany	Denver - TP- 214 ميزان الحساس،	6

**2-2 الأدوية و المواد الكيميائية:** المواد المستخدمة جميعها ذات درجة عالية من النقاوة وجهزت من شركات مختلفة كما مبينة في الجدول(2-2) و(3-2).

**الجدول (2-2) الأدوية و المواد الكيمياوية المستعملة**

N	Chemical name	Chemical Formula	Formulaweight	Purity	Manufactured by
1	Chlordiazepoxide	C <sub>16</sub> H <sub>14</sub> CLN <sub>3</sub> O	229.75 g/mol	99.87%	Pioneer Iraq
2	Diazepam	C <sub>16</sub> H <sub>13</sub> CLN <sub>2</sub> O	284.7 g/mol	99.39%	SDI
3	Amitriptyline	C <sub>20</sub> H <sub>23</sub> N	227.403 g/mol	99.39%	SDI
4	Alprazolam	C <sub>17</sub> H <sub>13</sub> CLN <sub>4</sub>	308.765 g/mol	99.98%	SDI
5	Hydrochloric acid	HCl	36.46	99%	Himedia
6	Ethanol	C <sub>2</sub> H <sub>5</sub> OH	46.06	99.98%	Himedia
7	Water HPLC	H <sub>2</sub> O	18.02	99%	Himedia

8	Methanol HPLC	<chem>CH3OH</chem>	32.04g/mol	99.8%	Himedia
9	Sodium hydroxide	<chem>NaOH</chem>	39.997g/mol	99.98%	Himedia
10	Acetonitrile	<chem>CH3CN</chem>	41.05 g/mol	98%	Himedia
11	Sodium mono Phosphate	<chem>NaH2PO4</chem>	119.98 g/mol	98%	Himedia
12	Starch	<chem>C6H10O5</chem>	162.14 g/mol	99.7	Himedia
13	Fructose	<chem>C6H12O6</chem>	180.16 g/mol	99.7	Himedia
14	Lactose	<chem>C12H22O11</chem>	342.3 g/mol	99.7	Himedia
15	Glucose	<chem>C6 H12 O6</chem>	180.16 g/mol	99.7	Himedia
16	Ferric Chloride hydrate	<chem>FeCl3.6H2O</chem>	270.2957 g/mol	97%	ORATORY MICAL MACKUN
17	3-Methyl-2- benzothiazolinone- hydrazonehydrochloride	MBTH	215.70g/mol	98%	

### (3-2) محليل المواد المستخدمة للطريقة الطيفية:-

#### (1-3-2) تحضير محلول 0.100 M من حامض الهيدروكلوريك

تحضر بتخفيف حجم مقداره 1.75 mL المحلول الحامض ذو تركيز 11.4214M إلى قنينة حجمية سعة 100mL ثم أكمل الحجم بالماء المقطر لحد العلامة.

#### (2-3-2) تحضير 0.100 M من محلول هيدروكسيد الصوديوم

تم تحضير محلول 0.100M من هيدروكسيد الصوديوم ( NaOH ) وذلك بأذابة 0.4 gm من المادة في المقطر باستخدام قنينة حجمية سعة 100mL ثم أكمل الحجم إلى العلامة بالماء المقطر.

### (3-3-2) تحضير M 0.010 من صوديوم داي هيدروجين فوسفيت ( $\text{NaH}_2\text{PO}_4$ )

حضر محلول 0.010M من  $\text{NaH}_2\text{PO}_4$  من المادة بالماء المقطر ومن ثم أكمل الحجم إلى العالمة باستخدام قنينة حجمية سعة 250mL

### (4-3-2) تحضير الطور المتحرك ذو دالة حامضية (pH=4) لجهاز HPLC

المحلول الاول :- حضر الطور المتحرك وذلك بخلط حجم 100 مل من محلول فوسفات الصوديوم الحامضية المحضر سابقا مع حجم 75mL من مذيب  $\text{C}_2\text{H}_3\text{N}$  اسيتونتريل مع 75 مل الميثanol  $\text{CH}_3\text{OH}$  في قنينة حجمية سعة 250 mL ونظمت الدالة الحامضية pH للمحلول باستخدام جهاز قياس الحامضية الى (pH=4) بواسطة اضافة قطرات من كل من حامض الهيدروكلوريك و هيدروكسيد الصوديوم المخففين والتي تم تحضيرهما سابقا.

المحلول الثاني :- حضر الطور المتحرك نفس طريقة أولى لكن بخلط حجم 40 مل من محلول فوسفات الصوديوم الحامضية المحضر سابقا مع حجم 30mL من مذيب اسيتونتريل مع 30mL الميثanol في قنينة حجمية سعة 100مل و (pH=4) والتي نظمت الدالة الحامضية أيضا للمحلول باستخدام جهاز قياس الحامضية كما تم تحضيرها في الطريقة أولى .

### (5-3-2) تحضير محلول قياسي لعقاقير كلورديازيبوكسيد و أميتريبيتيلين و البرازولام ذو تركيز 100 $\mu\text{g}/\text{mL}$ و ديازيبام 120 $\mu\text{g}/\text{mL}$ لجهاز HPLC

تم تحضير محلول قياسي ذو تركيز (100 $\mu\text{g}/\text{mL}$ ) لكل من البرازولام ، أميتريبيتيلين ، الكلورديازيبوكسيد وذلك بإذابة g 0.0100 أما بالنسبة لدواء ديازيبام ذو تركيز 120 $\mu\text{g}/\text{mL}$  وزن 0.0120g لكل من العقاقير في قنينة حجمية سعة (100mL) باستخدام محلول المنظم المحضر سابقا كمذيب وكل على انفراد باستخدام الحمام المائي لجهاز الأمواج فوق صوتية ثم أكمل الحجم لحد العالمة بنفس المذيب المحضر سابقا (طور المتحرك).

تم في الطريقة القياسية للتقدير استخدام تقنية الكروماتوغرافيا السائلة العكوسية ذات الاداء العالي المعتمدة من قبل المنظمة الأوربية للدواء وباستخدام الظروف التالية<sup>(69)</sup> :

Column length :15.0 cm, id 4.6mm, 5μm, C18, cyan silyl silica, Tem,30

Mobile phase: Buffer-40mL of 0.0100M, pH=4.0: CH<sub>3</sub>CN<sub>30</sub>mL: CH<sub>3</sub>OH<sub>30</sub>mL

### (3-6) فصل الخليط المكون من العقاقير كلورديازيبوكسيد وال Amitriptyline وال البرازولام 12 μg/mL و Diazepam 10 μg/mL

تم اخذ حجم 1ml من المحلول القياسي لكل من كلورديازيبوكسيد و البرازولام و Amitriptyline تركيز 100 μg/mL و Diazepam تركيز 120 μg/ml كما تم تحضيرها سابقا في محلول القياسي لجهاز HPLC في قنية حجمية سعة 10 mL و اكمل الحجم إلى حد العلامة بنفس المذيب المحضر سابقا(الطور المتحرك) .

### (4-2) تحضير محليل المستحضرات الصيدلانية :-

تم استخدام المستحضرات الصيدلانية للأدوية كلورديازيبوكسيد و Diazepam ال Amitriptyline البرازولام مدونة اسمائها و محتوياتها و الشركات المصنعة لها كما في الجدول ( 3-2 )

#### الجدول (3-2) المستحضرات الصيدلانية للأدوية المستخدمة

Name of drug	Pharmaceutica	Contains	Company
1 Bran			
Chlordiazepoxide	LIBROXIDE-10	Chlordiazepoxide-10gm	LIBROXIDE
			SDI Iraq
Alprazolam	XANAX-0.5	Alprazolam-0.5 mg	XANAX,pfizer

	VALIUPAM5	Diazepam-5 mg	AL-Kindi Co.For
Diazepam	TABLET:		na.Ind .Baghdad-Iraq
Diazepam	Valium-10gm	Diazepam-10 mg	MfgSiteDEVA
			Kocael
Amitriptyline	Amitriptyline	Tryptizol -25mg	Actavis Barnstaple
			! 8NS UK

## (1-4-2) تحضير محلول للمستحضرات الصيدلانية لجهاز HPLC

تم وزن عشرة أقراص (tablet) من كل مستحضر صيدلاني ( ديازيبام 5mg كلورديازيبوكسيد 10mg ، ) الأميتربيتيلين 25mg وألبرازولام 0.5mg من الشركات المختارة بدقة ثم سحقت ومزجت جيدا باستخدام هاون خزفي وأخذ كل منها واحدة 0.1789g ، 0.1029g,0.1195g, 0.1312g على التوالي كلورديازيبوكسيد وديازيبام و أميتربيتيلين ألبرازولام في دورق حجمي سعته 100 مل إذابته وإكماله إلى حد العلامة الميثانول للحصول على 100 $\mu$ g/ml لكل عقار ( كلورديازيبوكسيد و أميتربيتيلين ألبرازولام ) أما بالنسبة لديازيبام ذو تركيز 120 $\mu$ g/ml واذابتها في الميثانول وفي بيكر حجم 50 mL وبعد التأكد من عملية الاذابة باستخدام جهاز الأمواج الصوتية ولمدة ربع ساعة تم ترشيح المزيج بواسطة ورق ترشيح حجم 45 مايكرون ، بعدها نقل الراشح إلى قنينة حجمية سعة 100 مل وأكمل الحجم إلى العلامة بنفس المذيب المحضر سابقا. ثم بعدها نقوم بعملية التخفيف للحصول على التراكيز التي يتم العمل بها. علما أن النماذج التي تم العمل عليها هي متوفرة في الأسواق المحلية وشركات مختلفة لعقاقير كلورديازيبوكسيد و أميتربيتيلين ألبرازولام وطريقة العمل هذه تطبق على جميع مستحضرات كلورديازيبوكسيد و أميتربيتيلين ألبرازولام .

## (2-4-2) بناء منحي المعايرة للعقاقير كلورديازيبوكسيد و أميتربيتيلين ألبرازولام

100  $\mu$ g/mL و ديازيبام 120  $\mu$ g/mL

اخذت مجموعه من القاني الحجميه سعة 10 مل الحاويه على حجوم متغيرة من المادة القياسية تقع ضمن حدود قانون ببير-لامبيرت واكملا الحجم بالعلامة بالطور المتحرك ، وقيس مساحة القمه للكل التركيز ثلاث مرات واخذ معدل مساحة القمه ، بعدها رسم منحني المعايرة القياسي لكل العقار

## (5-2) محليل المواد المستخدمة في جهاز الاشعة فوق البنفسجية والمرئية ذو حزمة مزدوجة للجهاز UV-Visible

### 1-5-2) تحضير كلوريد الحديديك $\text{FeCl}_3 \cdot 6\text{H}_2\text{O}$

تم تحضير محلول  $M = 3.3 \times 10^{-3}$  g/mol وان الوزن الجزيئي 270.2957 عن طريق إذابة 0.089g في 1.75 ml من حمض الهيدروكلوريك  $\text{HCl}_3$  باستخدام دورق حجمي 100 مل ، تم اكمال الحجم بالماء المقطر الى حد العلامه.

**(2-5-2) تحضير 3-ميثيل-2-بنزوثيرازول نون هيدرازين هيدروكلوريد هيدرات ذو تركيز  $M = 1.12 \times 10^{-2}$**

حضر محلول ذو تركيز  $M = 1.12 \times 10^{-2}$  من MBTH واذ أن الوزن الجزيئي  $215.70 \text{ g/mol}$  عن طريق إذابة  $0.100 \text{ g}$  من الماء المقطر باستخدام قبضة حجمية  $50\text{mL}$  ، تم اكمال الحجم بالحامض مخفف في الماء المقطر إلى حد العلامة.

**(3-5-2) تحضير محلول البلانك للجهاز UV-Visible**

تم تحضير البلانك بنفس طريقة تحضير ال stock  $\text{MBTH} + \text{FeCl}_3$  ولكن بدون مادة العقار.

**(4-5-2) تقدير محلول القياسي لعقاقير كلورديازيبوكسيد و ديازيبام البرازولام للجهاز UV-Visible**

تم تحضير سلسلة من تراكيز مختلفة لعقاقير (كلورديازيبوكسيد و ديازيبام أميتريبيتيلين البرازولام) في دورق حجمي سعة  $10 \text{ mL}$  وكانت حدود الخطية لمنحنى المعايرة  $\mu\text{g/mL}$  ( $50-5 \text{ } \mu\text{g/mL}$ ) لمركبات ( كلورديازيبوكسيد , ديازيبام , البرازولام , أميتريبيتيلين ) . ثم بعد ذلك تم إضافة  $1.5 \text{ mL}$  من ( $M = 1.12 \times 10^{-2}$ ) من MBTH إلى محلول ورجها جيداً. تم إضافة  $1 \text{ mL}$  ( $3.3 \times 10^{-3} \text{ M}$ ) من كلوريد الحديديك، تم تحضير كل من  $\text{FeCl}_3$  و  $\text{MBTH}$  من خلال إضافة حامض الهيدروكلوريك  $\text{HCl}$  المخفف تم تحضيرها سابقاً، وترك المحاليل لمدة 15 دقيقة ، تم تحضير البلانك الكاشف بنفس الطريقة لكن بغياب الدواء.

**(6-5-2) الطريقة تحضير محلول قياسي المستحضرات الصيدلانية كلورديازيبوكسيد ، ديازيبام ، البرازولام ، أميتريبيتيلين لجهاز Vis - UV**

تم وزن (عشرة) أقراص من كلورديازيبوكسيد و ديازيبام البرازولام من كل نموذج من الشركات المختارة. ثم طحنت ومزجت جيدا في هاون خزفي واخذ منها وزن مايساوي 0.100g من المادة الفعالة الذي يحوي 10mg من المادة الفعالة واذيبت في 10ml من ايثانول بالنسبة ل كلورديازيبوكسيد و ديازيبام أمال البرازولام ، أميتريبيتيلين اذيب في الميثانول وفي دورق قنينة حجمية سعة 100 ml ووضعت في حمام فوق الأمواج الصوتية ولمدة 15 دقيقة من أجل استخلاص المادة الفعالة في الماء المقطر. تم اكمال الحجم بالماء المقطر الى حد العلامة ورج جيد بعدها تم فلترة محلول في ورقة حجم 45 مایکرون. أخذ بعدها حجم مقداره 10ml من الراشح ووضع في قنينة حجمية سعة 100 mL وأكمل الحجم إلى حد العلامة تم بعدها قيست الامتصاصية وباستخدام جهاز المطياف الضوئي وحسب بعدها تركيز المادة الفعالة .

## 6-2 ) مواد السواغ (المضافات) Excipients

وقد حضرت تركيز  $100\mu\text{g}/\text{mL}$  بذابة أوزان ثابتة ( 0.0100g ) من كل مادة وعلى انفراد في الماء المقطر في قنينة حجمية سعة (100 mL). بعدها حضر تركيز مخفف مقداره  $20\mu\text{g}/\text{mL}$  بالتحفيف المتعاقب بالماء المقطر استخدمت المواد المضافة المبينة أنواعها والشركات المجهزة لها كما في الجدول (4-2) .

الجدول (4-2) يوضح مواد السواغ (المضافات)

NO	Excipients	Company
1	Starch	Himedia
2	Fructose	Himedia
3	Lactose	Himedia
4	Glucose	Himedia

### **1-3 النتائج والمناقشة للطريقة الكروماتوغرافية :-**

#### **Result and Discussion for HPLC Method**

يتضمن هذا الجزء من البحث استخدام تقنية الكروماتوغرافية السائلة عالية الأداء لتقدير كل من العاقير الأربعـة الكلورديازيبوكسيـد والديازـيـبـامـ وـ الـأـلـبرـازـولـامـ وـ الـأـمـيـتـرـيـبـتـيلـينـ وـ فيـ الحـالـةـ النـقـيـةـ وـ فـيـ بـعـضـ المـسـتـحـضـرـاتـ الصـيدـلـانـيـةـ.

#### **1-1-3 الدراسة النوعية :**

##### **Qualitative Study**

بعد تشغيل الجهاز والتأكد من ازالة الهواء من الطور المتحرك واستقرار خط القاعدة لمدة نصف ساعة وذلك بواسطة فعل التفريغ أو تخلخل الضغط بحيث يتم التأكد "من خروج جميع الهواء ( الفقاعات ) بحيث تصبح المنظومة بأفضل حال . تقوم بحقن المادة الندية والمعلومة التركيز من خلال صمام الحقن الى ال Loop الذي حجمه  $20\text{ }\mu\text{L}$  لكل واحد من المركبات التالية DIZE,ALP, CH,AM باستخدام طور متحرك ( mobile phase ) المكون من المواد الكيميائية التالية: ( 40:30:30,0.010M,NaH<sub>2</sub>PO<sub>4</sub>:Me:Ac, Buffer pH.4 ) وحسب النسب المذكورة بحيث كان الطول الموجي لتقدير عقار CH nm 264 وتم الحصول على زمن احتجاز 3.512 دقيقة عقار CH وزمن الاحتجاز لعقار DIZE هو 2.75 دقيقة . بعد تغيير الطول الموجي لمادة الديازـيـبـامـ إلى nm 230 وزمن الاحتجاز عقار اميـتـرـبـتـيلـينـ 3.244 دقيقة عند طول الموجي nm 240 وزمن الاحتجاز لعقار البرازـولـامـ هو 3.703 دقيقة وطول الموجي nm 260 .

#### **2- مبدأ العمل Preliminary Investigation**

##### **1-3**

تم حقن  $20\text{ }\mu\text{L}$  لكلا من العاقير الأربعـة الكلورديازـيـبـوكـسيـدـ وـ الـأـلـبرـازـولـامـ وـ الـأـمـيـتـرـيـبـتـيلـينـ وبتركيز  $10\text{ }\mu\text{g}/\text{ml}$  لكـلـ دـوـاءـ مـاعـداـ دـيـازـيـبـامـ بـتـركـيزـ  $12\text{ }\mu\text{g}/\text{ml}$  على التوالي كل

منها على إنفراد من المادة القياسية المحضر لكل عقار وبمعدل جريان 1 مل / دقيقة بعد استقرار خط القاعدة ، وتم قياس زمن احتباس لكل عقار وكما في جدول (1-3) التالي .

**الجدول (1-3) :** عرض ظروف التشغيل لكل من CH و DIZE و AM و ALP

القيم	Parameters
0.01M, NaH <sub>2</sub> PO <sub>4</sub> 40mL 30-Methanol 30- acetonitrile	الطور المتحرك
CH 264 nm, DIZE 230 nm AM 240 nm, ALP 260 nm	الطول الموجي
3. 512 min for CH 5.275 min for DIZE 3.244min for AM 3.703 min for ALP	زمن الاحتجاز
pH=4	الدالة الحامضية للطور المتحرك
1.0 mL/ min	معدل الجريان
20 μL	الحجم المحقون
35 C°	درجة الحرارة
Isocratic	طريقة العمل

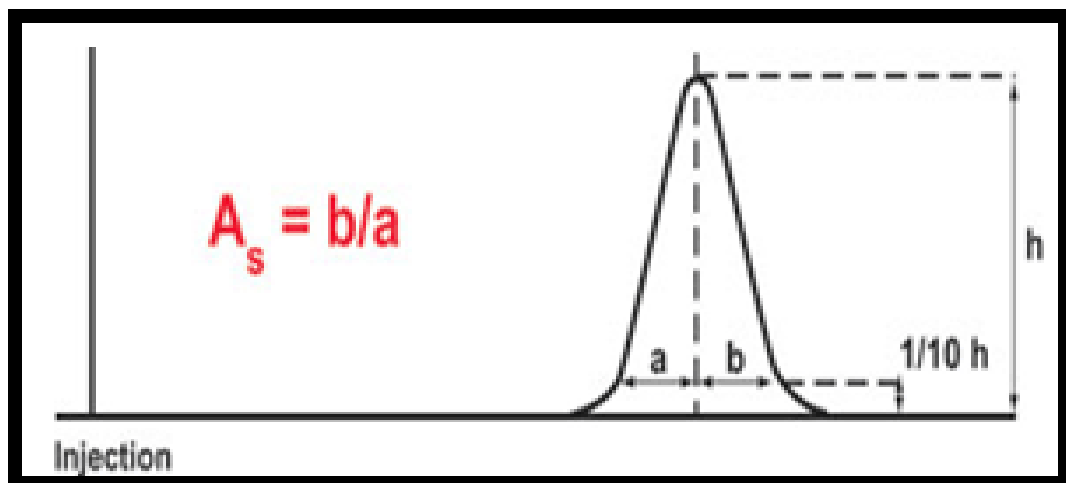
### 3-1-3 الظروف المثلثة للتجربة

#### 1-3-1-3 تأثير معدل تدفق الطور المتحرك

#### Effects of Flow Rate of Mobile Phase

للحصول على أفضل معدل تدفق للطور المتحرك<sup>(116-90)</sup>، تم إجراء بعض التجارب عن طريق حقن  $20 \mu\text{L}$  لكل من محلول القياسي كل على انفراد CH وال ALP ذات تركيز  $100 \mu\text{g/mL}$  بالنسبة لعقار DIZE ذات تركيز  $120 \mu\text{g/mL}$  كلًا على الانفراد على العمود C18-ODS باستخدام (3030:40)  $\text{CH}_3\text{CN}, \text{CH}_3\text{OH}, \text{NaH}_2\text{PO}_4, 0.010 \text{ M}$  كطور متحرك وكانت النتائج حسب الشكل (1-3) والجدول (2-3) (4-3) و (5-3) وتم حساب معامل التمايز للكروماتوغرام لكل القمم وحسب المعادلة التالية (1-3)

$$A_s = \frac{b}{a} \quad \dots \quad (1-3)$$



الشكل (1-3) مخطط يمثل حساب عامل التمايز.

وتكون  $A_s$ <sup>(124)</sup> عادة محسوبة بقسمة المسافة من الخط المركزي للذروة إلى المنحدر الخلفي  $b$  على المسافة من خط مركز القمة إلى المنحدر الأمامي  $a$ . لكلا من CH ، DIZE ، ALP ، AM كما في جدول (2-3)،(3-3)،(4-3)،(5-3).

الجدول (2-3) يوضح تأثير معدل التدفق على زمن الاحتجاز لعقار CH بتركيز ppm 10

معدل التدفق (mL/min)	عامل التمايز As	زمن الاحتجاز
0.8	1.00	4.982
1.00	0.810	3.965
1.2	1.142	3.314

أثناء التجربة إذ أن تدفق 1 ml/min هو أفضل تدفق للطور السائل الذي يحتوي على أربعة أدوية بناء على حساب As عامل التناظر.

**الجدول (3-3):** يوضح تأثير معدل التدفق على زمن الاحتجاز لعقار DIZE بتركيز

**12 $\mu$ g/mL**

معدل التدفق (mL/min)	عامل التناظر	زمن الاحتجاز
0.8	1.200	7.91
1.00	1.133	6.27
1.2	1.000	5.27

**الجدول (3-4):** يوضح تأثير معدل التدفق على زمن الاحتجاز لعقار AM ذا تركيز

**10  $\mu$ g/mL**

معدل التدفق (mL/min)	عامل التناظر	وقت الاحتجاز
0.8	1.142	4.076
1.00	1.048	3.244
1.2	0.832	2.747

**الجدول (3-5):** يوضح تأثير معدل التدفق على زمن الاحتجاز لعقار ALP ذا تركيز

**10  $\mu$ g/mL**

معدل التدفق (mL/min)	عامل التناظر	وقت الاحتجاز
0.8	1.504	4.677
1.00	1.174	3.703
1.2	1.008	3.105

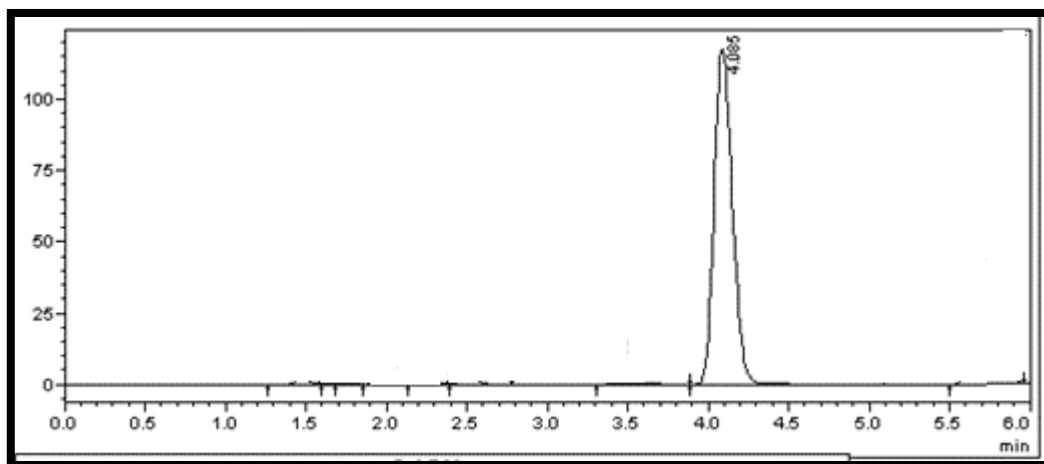
**2-3-1-3 تأثير الاس الهيدروجيني**

للحصول على أفضل دالة حامضية للطور المتحرك تعطي أقل زمن احتجاز واعلى فصل . أجريت عدة تجارب عن طريق حقن  $\mu\text{L}$  20 من محليل قياسية بتركيز  $10\mu\text{g/mL}$  لكل من CH والAM وال ALP اما بالنسبة لعقار DIZE حضر بتركيز  $12\mu\text{g/mL}$  باستخدام نفس محليل المذكورة أنفا للطور المتحرك فوجد أن أفضل دالة حامضية هي  $\text{pH}=4$  بالاعتماد على حساب زمن الاحتجاز وعامل التناظر .

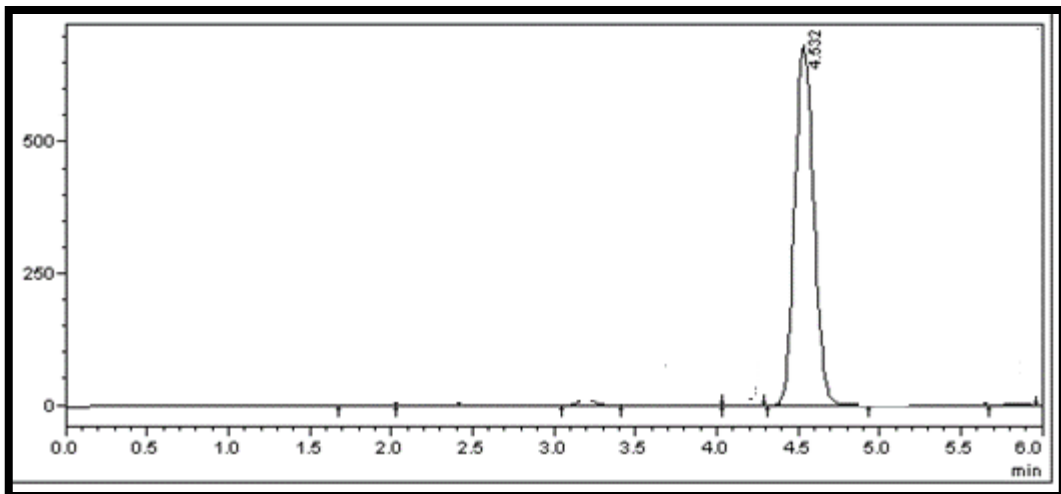
وبحسب الجداول (6-3) ، (7-3)، (8-3)، (9-3) يوضح تأثير  $\text{pH}$  على زمن الاحتجاز للعقاقير الاربعة  $\text{ALP}, \text{AM}, \text{DIZE}, \text{CH}$

**الجدول (6-3)** يوضح تأثير  $\text{pH}$  على زمن احتجاز عقار كلورديازيبوكسيد  $\text{CH}$  بمعدل جريان 1 مل دقيقة/

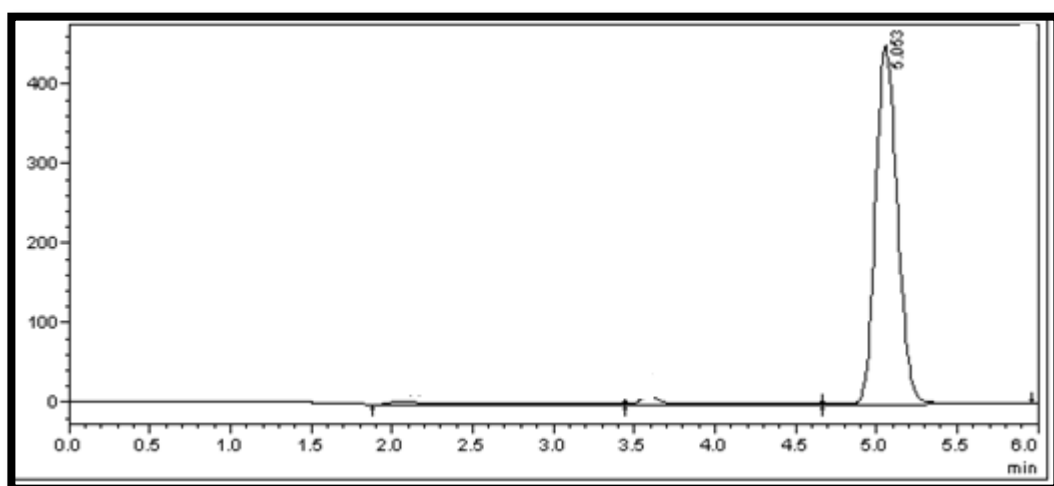
pH	عامل التناظر	زمن الاحتجاز
4	0.720	4.085
5	1.166	4.532
6	1.000	5.053



الشكل (2-3) كروماتوغرام يوضح تأثير  $\text{pH}=4$  على زمن الاحتجاز لعقار  $\text{CH}$  بتركيز  $10\mu\text{g/mL}$



الشكل (3-3) كروماتوغرام يوضح تأثير  $\text{pH}=5$  على زمن الاحتجاز لعقار CH بتركيز  $10 \mu\text{g/mL}$

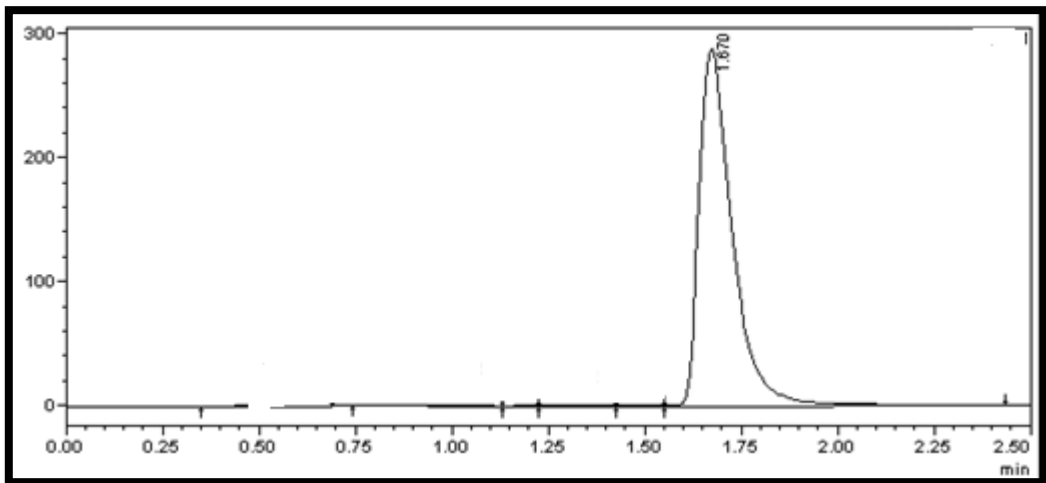


الشكل (4-3) كروماتوغرام يوضح تأثير  $\text{pH}=6$  على زمن الاحتجاز لعقار CH بتركيز  $10 \mu\text{g/mL}$

الجدول (7-3) يوضح تأثير  $\text{pH}$  على زمن الاحتجاز لعقار DIZE بتركيز  $12 \mu\text{g/mL}$

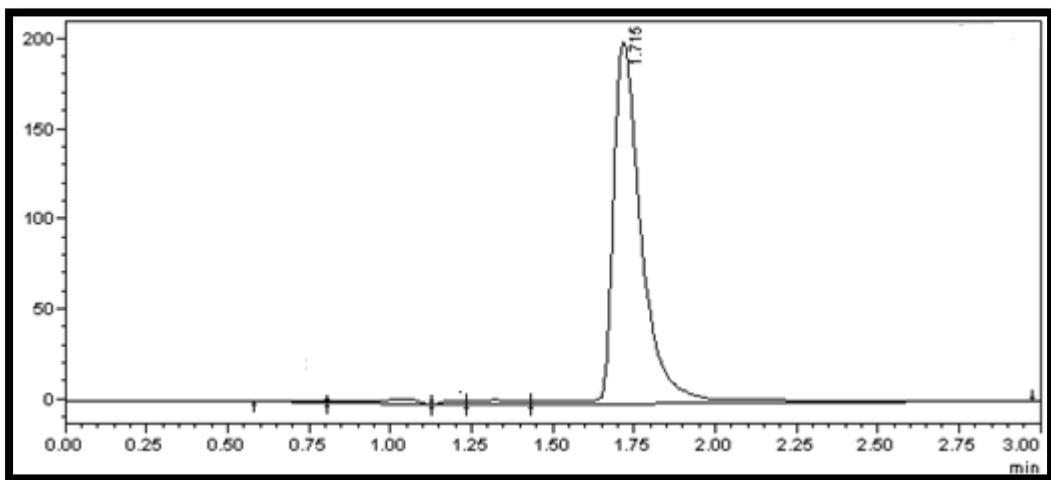
$\text{pH}$	عامل التماثل	زمن الاحتجاز
4	1.142	1.670

<b>5</b>	<b>1.000</b>	<b>1.715</b>
<b>6</b>	<b>0.810</b>	<b>2.483</b>



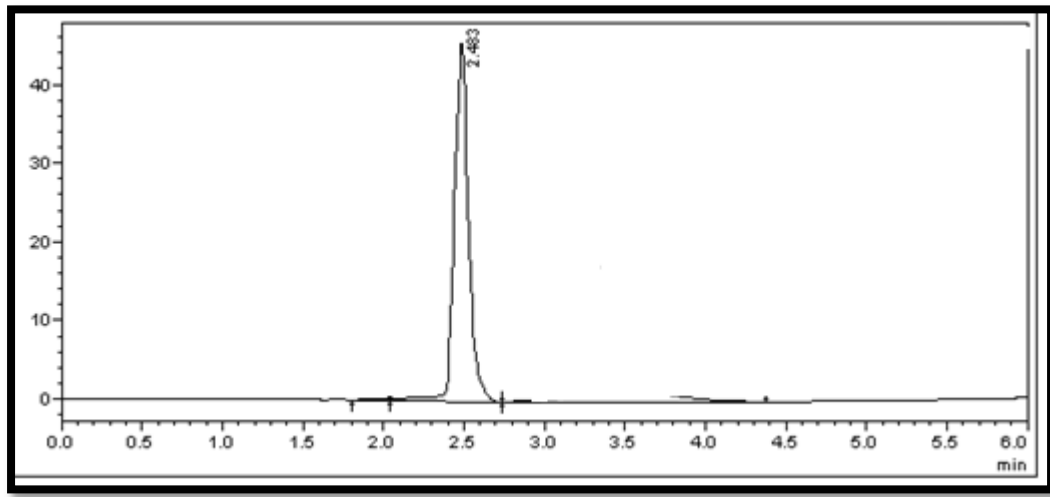
الشكل (5-3) كروماتوغرام يوضح تأثير  $\text{pH}=4$  على زمن الاحتجاز لعقار DIZE بتركيز  $\mu\text{g/mL}$

12



الشكل (6 - 3) كروماتوغرام يوضح تأثير  $\text{pH}=5$  على زمن الاحتجاز لعقار DIZE بتركيز  $\mu\text{g/mL}$

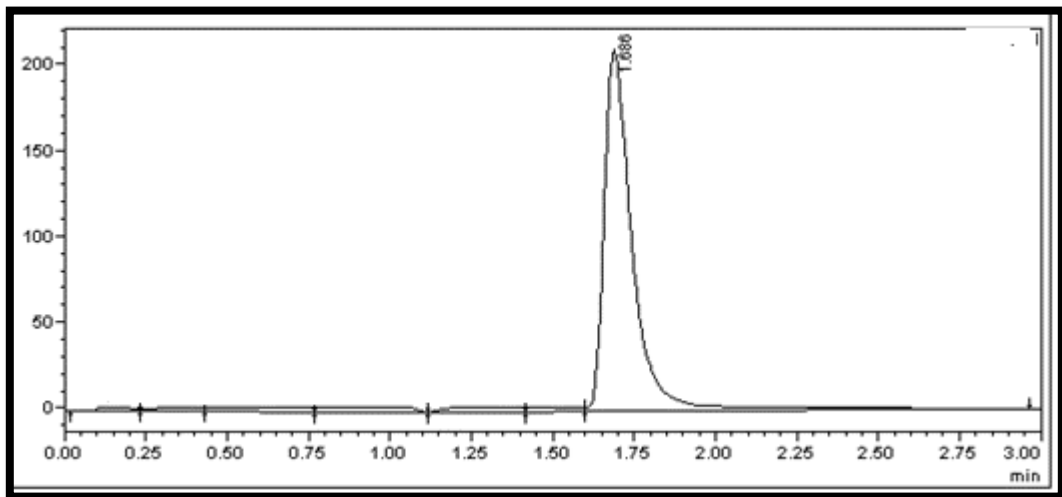
12



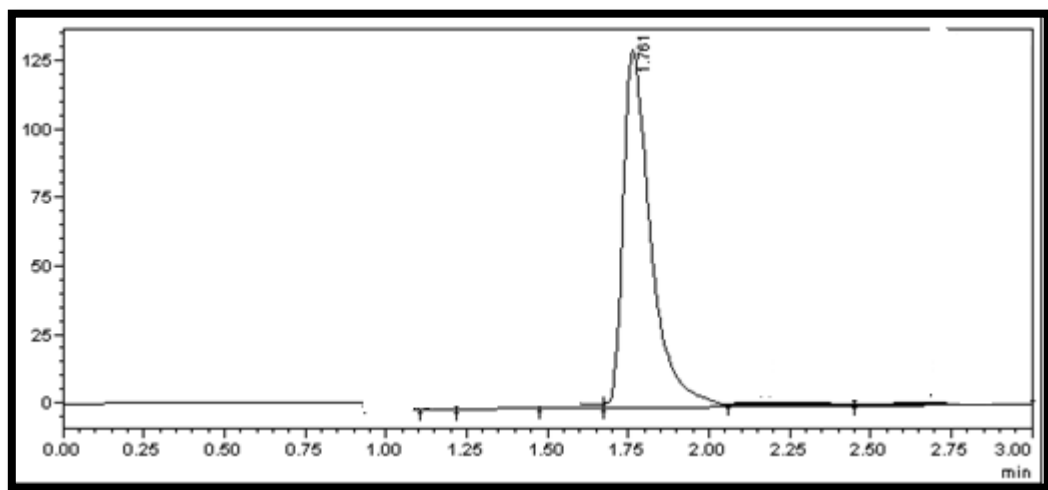
الشكل (7-3) كروماتوغرام يوضح تأثير  $\text{pH}=6$  على زمن الاحتجاز لعقار DIZE بتركيز  $12 \mu\text{g/mL}$

جدول (8-3) يوضح تأثير  $\text{pH}$  على زمن الاحتجاز لعقار AM بتركيز  $10 \mu\text{g/mL}$

<b>pH</b>	<b>عامل التناول</b>	<b>زمن الاحتجاز</b>
4	1.166	1.650
5	1.004	1.781
6	1.020	1.886

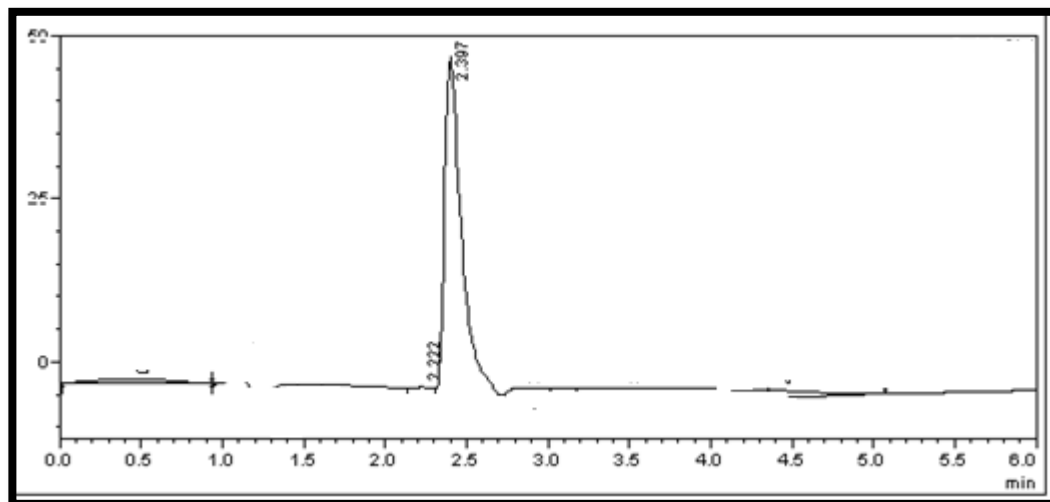


الشكل (8-3) كروماتوغرام يوضح تأثير  $\text{pH}=4$  على زمن الاحتجاز لعقار AM بتركيز  $10 \mu\text{g/mL}$



الشكل (9-3) كروماتوغرام يوضح تأثير  $\text{pH}=5$  على زمن الاحتجاز لعقار AM بتركيز  $10 \mu\text{g/mL}$

10

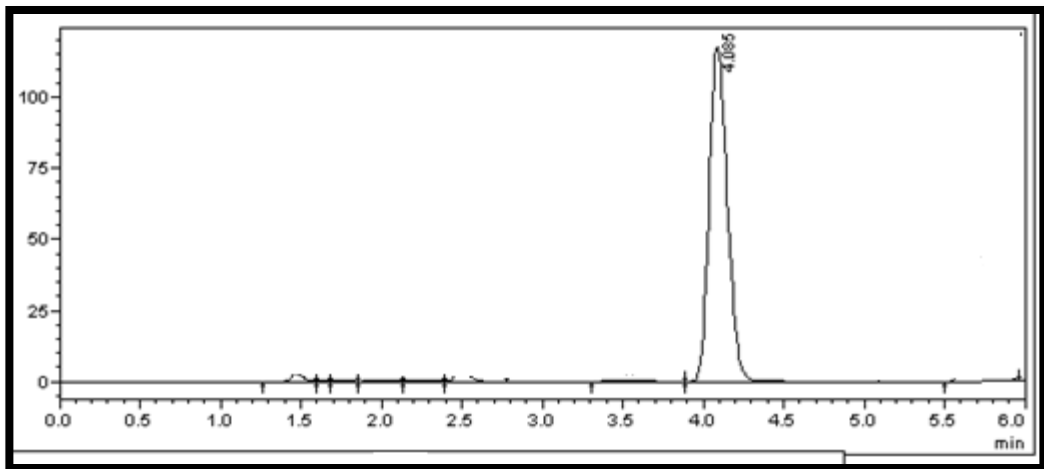


الشكل (10-3) كروماتوغرام يوضح تأثير  $\text{pH}=6$  على زمن الاحتجاز لعقار AM بتركيز  $10 \mu\text{g/mL}$

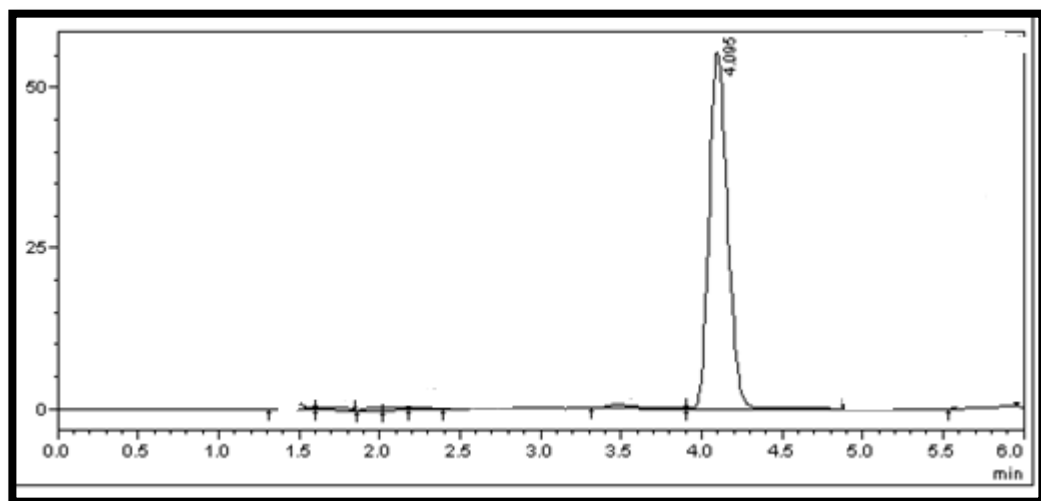
الجدول (9-3) يوضح تأثير  $\text{pH}$  على زمن الاحتجاز لعقار ALP بتركيز  $10 \mu\text{g/mL}$

10

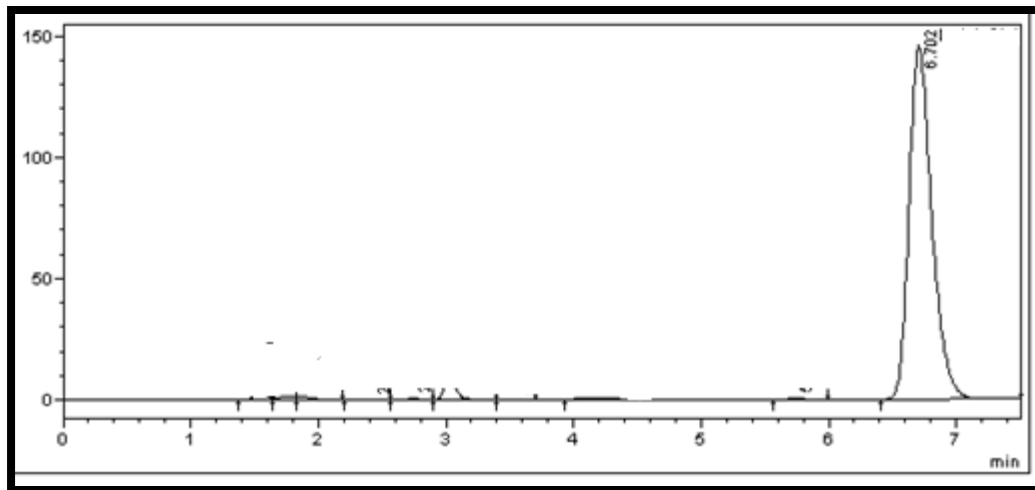
pH	عامل التناظر	زمن الاحتجاز
4	1.840	4.085
5	1.086	4.095
6	1.020	6.702



الشكل (11-3) كروماتوغرام يوضح تأثير  $\text{pH} = 4$  على زمن الاحتجاز لعقار ALP بتركيز  $10 \mu\text{g/mL}$



الشكل (12-3) كروماتوغرام يوضح تأثير  $\text{pH} = 5$  على زمن الاحتجاز لعقار ALP بتركيز  $10 \mu\text{g/mL}$



الشكل (13-3) كروماتوغرام يوضح تأثير  $pH=6$  على زمن الاحتجاز لعقار ALP بتركيز  $10\mu\text{g/mL}$

### 3-3-1-3 تأثير نسب المذيبات العضوية في فصل الأدوية الاربعة:

بعد تثبيت سرعة الجريان والدالة الحامضية لكلا من كلورديازيبوكسيد و ديازيبام وأميتريبتيلين وألبرازولام وذلك للحصول على فصل جيد لكل من الأدوية الاربعة قيد الدراسة ضمن طور متحرك مكون من 30% ميثanol و30% اسيتونيترييل و40% محلول منظم ذو دالة حامضية  $pH=4$  لفصل الأدوية الاربعة<sup>(119-120)</sup>. تم حساب عامل الفصل و وحسب الجدول رقم (10-3) والأشكال ( ),

( 14-3 ) , ( 15-3 ) ( 16-3 )

$$R_s = \frac{2(t_{R2} - t_{R1})}{W_1 + W_2} \quad \dots \quad (2)$$

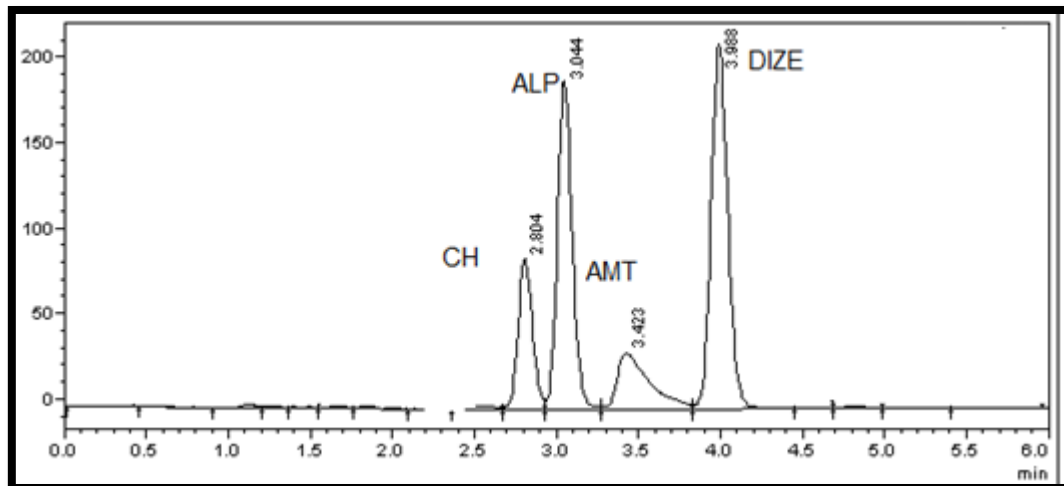
$t_R$  تمثل زمن الاحتجاز بالدقيقة للفصائل المفصولة

$W1/2$  عرض القمة عند المنتصف

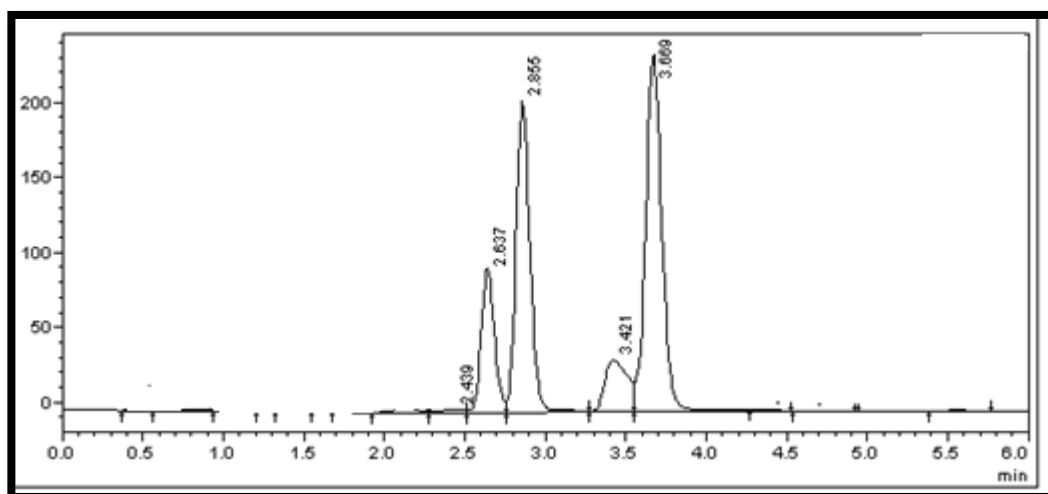
### جدول (10-3) تأثير نسب المكونات في الطور المتحرك

pH	عامل الفصل $R_s$	الطور المتحرك
pH=4	CH-ALP-1.5 ALP-AMT-1.7 AMT-DIZE-1.6	30Me:30Ac:40Bu
pH=5	CH-ALP-1.2 ALP-AMT-2.0 AMT-DIZE-0.9	30Me:40:Ac:30:Bu

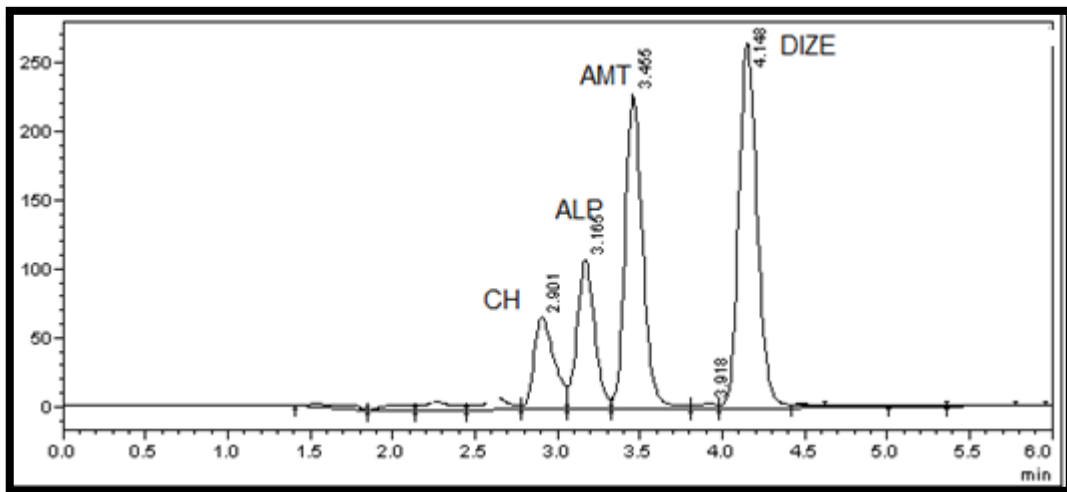
<b>PH=6</b>	<b>CH-ALP-1.0 ALP-AMT-1.2 AMT-DIZE-2.0</b>	<b>40Me:30Ac:30Bu</b>
-------------	--	-----------------------



الشكل (14-3) كروماتوغرام تأثير نسب المكونات في الطور المتحرك في فصل الادوية الاربعة



الشكل (15-3) كروماتوغرام تأثير نسب المكونات في الطور المتحرك في فصل الادوية الاربعة

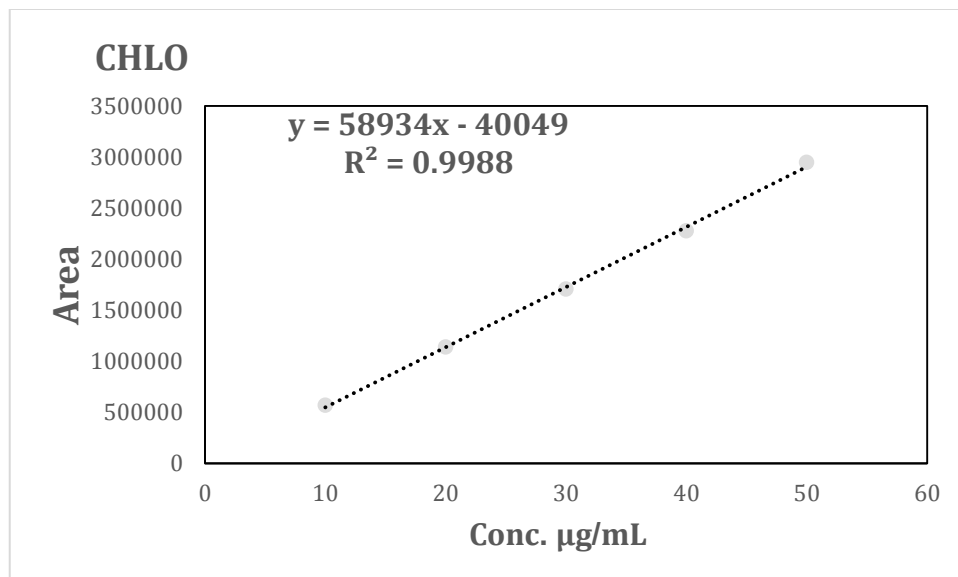


الشكل (16-3) كروماتوغرام تأثير نسب المكونات في الطور المتحرك في فصل الأدوية  
الاربعة

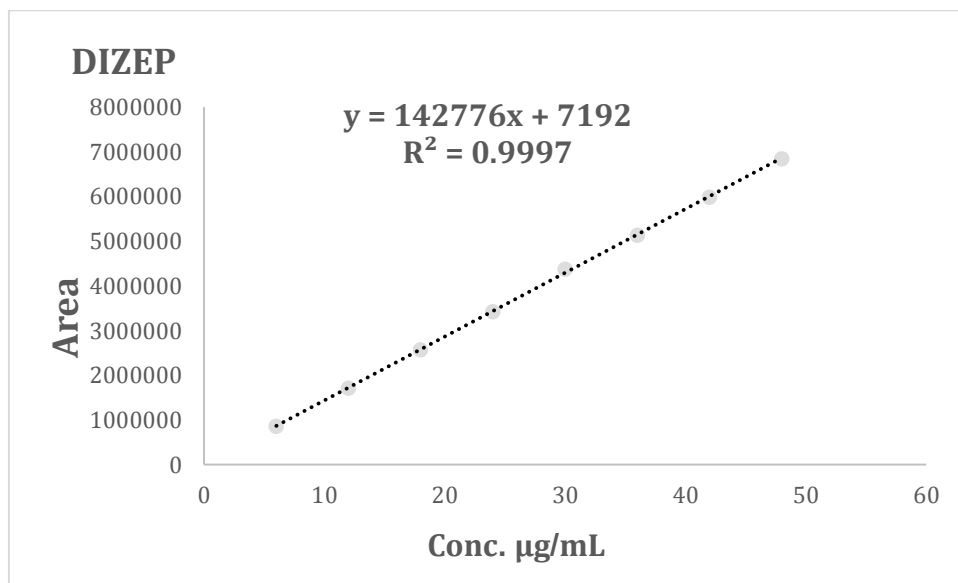
### 4-1-3 بناء منحني المعايرة لادوية من كلورديازيبوكسيد و ديازيبام وأميتربيتيلين وألبرازولام

في هذه الطريقة (116-90) تم تحضير خمسة تراكيز قياسية لكل مادة دوائية من محلول القياسي ذا تركيز  $\mu\text{g}/\text{mL}$  100 لكل من كلورديازيبوكسيد والاميتربيتيلين والألبرازولام الدايازيبام. ومنها حضرة منها سلسلة من التراكيز القياسية والتي تقع ضمن مدى الخطية لكل عقار وفي قناني حجمية سعة 10 مل بواسطة التخفيف بالطور المتحرك المحضر. وذلك ضمن المدى ( $50-5 \mu\text{g}/\text{ml}$ ) لكل تركيز بمقدار ثلاثة مرات وقيس المساحات وأخذ معدل المساحة لكل ثلاثة تراكيز، بعدها تم رسم المنحني القياسي بين تراكيز المحاليل بوحدة  $\mu\text{g}/\text{ml}$  مقابل معدل المساحة لكل تركيز إذ تم الحصول على المنحنيات كما موضحة في الأشكال :

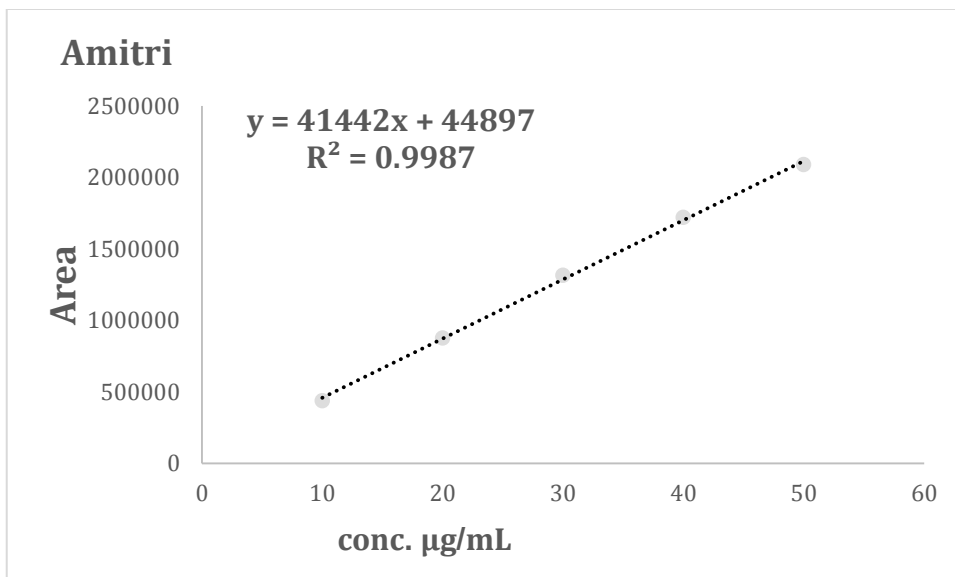
(17-3)، (18-3)، (3-19)، (3-20) ومن منحني المعايرة لدواء يتضح مطاوعته لقانون بيير لامبيرت في الامتصاصية ضمن المدى من التركيز ( $50-5 \mu\text{g}/\text{ml}$ ) لكلا من، AM, ALP, CH . إما دواء DIZE فيطابق قانون بيير لامبيرت في الامتصاصية ضمن المدى ( $48-6 \mu\text{g}/\text{ml}$ ) .



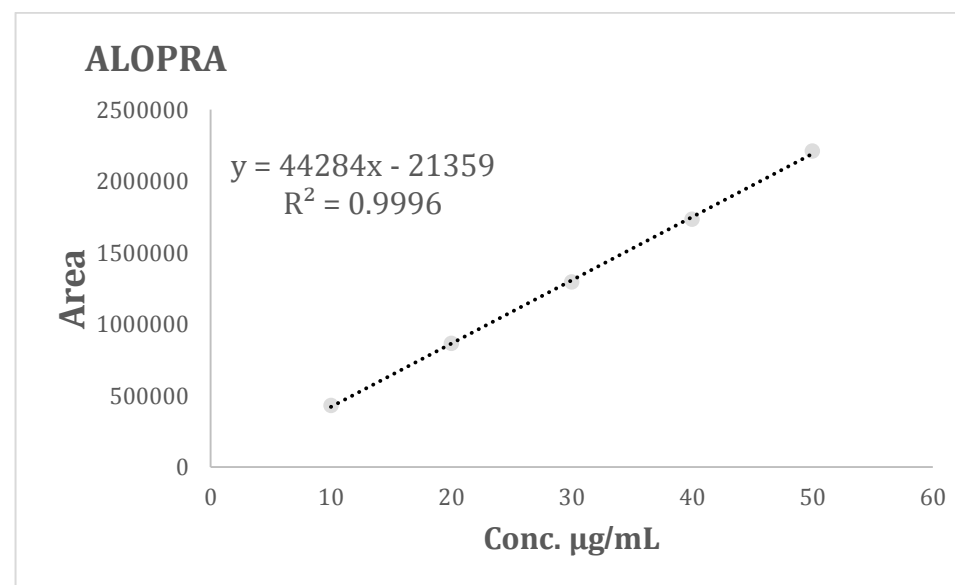
الشكل (17- 3) منحني المعايرة لتقدير عقار CH وحسب الطريقة Rp-HPLC



الشكل (18-3) منحني المعايرة لتقدير عقار DIZEP وحسب الطريقة Rp-HPLC



الشكل ( 19-3 ) يمثل منحني المعايرة لتقدير عقار AM وحسب الطريقة Rp-HPLC



الشكل ( 20-3 ) منحني المعايرة لتقدير عقار ALP وحسب الطريقة Rp-HPLC

### 3-1-5 المعالجة الإحصائية للنتائج التحليلية

جدول (3-11) المعالجة الإحصائية للنتائج التحليلية لعقار كلورديازيبوكسيد

القيمة	الحدود
264 nm	1. الطول الموجي
(5-50) $\mu\text{g}/\text{ml}$	2. حدود الخطية
(98.3-99.6)%	3. النسبة المئوية للاستيعادية
0.9992	4. معامل الارتباط
0.634 $\mu\text{g}/\text{ml}$	5. حد الكشف
1.922 $\mu\text{g}/\text{ml}$	6. حد الكشف الكمي
0.037	7. معامل الانحراف المعياري

الجدول (3-12) المعالجة الإحصائية للنتائج التحليلية لعقار ديازيبام

القيمة	الحدود
238 nm	1. الطول الموجي
(6-48) $\mu\text{g}/\text{ml}$	2. حدود الخطية
(98.55-101.03)%	3. النسبة المئوية للاستيعادية
0.9998	4. معامل الارتباط
0.616 $\mu\text{g}/\text{ml}$	5. حد الكشف
1.868 $\mu\text{g}/\text{ml}$	6. حد الكشف الكمي
0.026	7. معامل الانحراف المعياري

**الجدول (13-3) المعالجة الإحصائية للنتائج التحليلية لعقار أميتريبيتيلين**

القيمة	الحدود
238 nm	1. الطول الموجي
(10-50) $\mu\text{g}/\text{ml}$	2. حدود الخطية
(98.55-101.03)%	3. النسبة المئوية للاستيعادية
0.9982	4. معامل الارتباط
0.72 $\mu\text{g}/\text{ml}$	5. حد الكشف
2.57 $\mu\text{g}/\text{ml}$	6. حد الكشف الكمي
0.047	7. معامل الانحراف المعياري

**الجدول (14-3) المعالجة الإحصائية للنتائج التحليلية لعقار البرازولام**

القيمة	الحدود

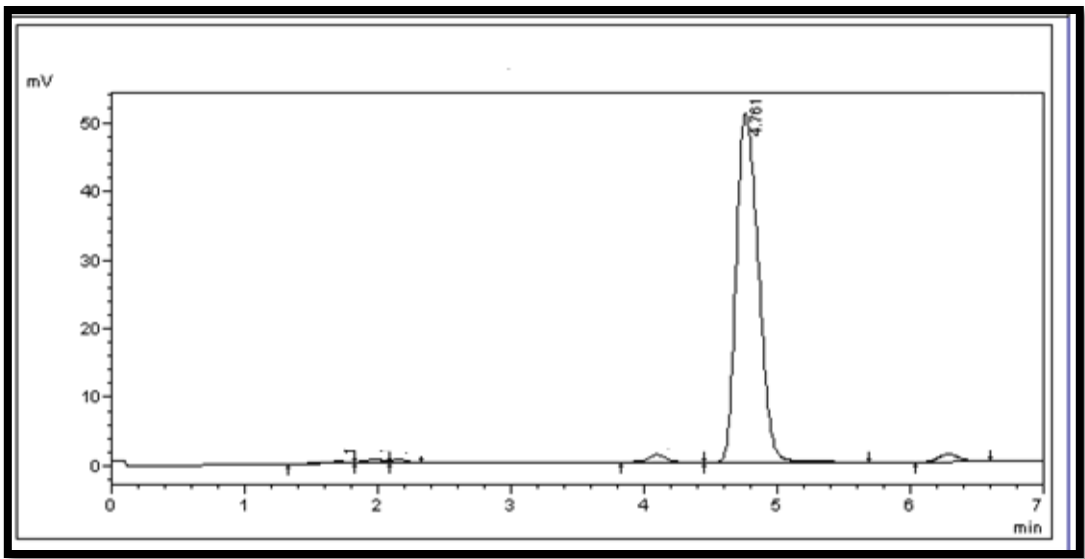
238 nm	1. الطول الموجي
(10-50) $\mu\text{g}/\text{ml}$	2. حدود الخطية
(99.03-100.01)%	3. النسبة المئوية للاستيعادية
0.9996	4. معامل الارتباط
0.77 $\mu\text{g}/\text{ml}$	5. حد الكشف <sup>(115)</sup>
2.50 $\mu\text{g}/\text{ml}$	6. حد الكشف الكمي <sup>(115)</sup>
0.083	7. معامل الانحراف المعياري

### 1-5-1-3 الدقة و الضبط للطريقة المقترحة :

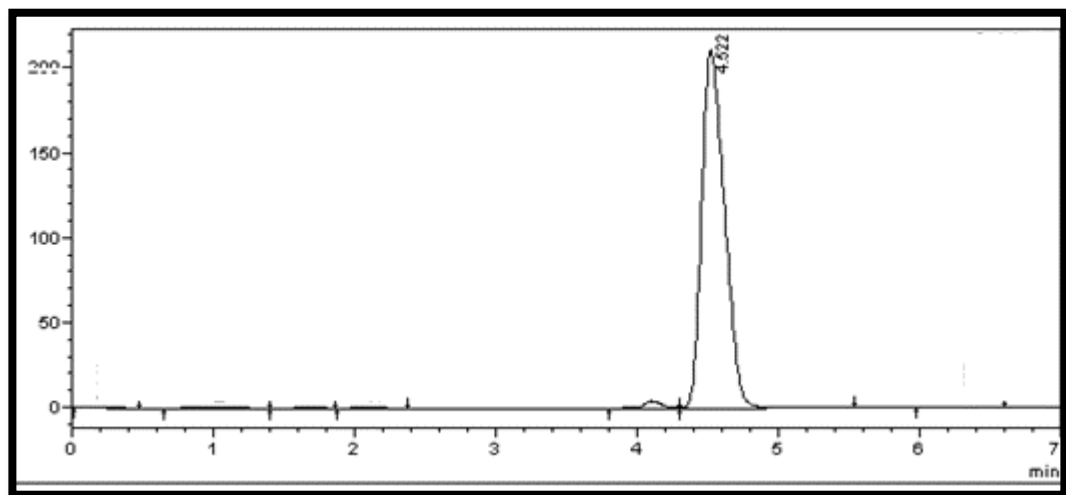
أن درجة التقارب بين القيمة التحليلية والقيمة الحقيقة للمادة هو ما يطلق عليه بالدقة <sup>(117,116)</sup>، أما درجة التقارب بين القياسات المتكررة لنفس الكمية المقاسة فيطلق عليها الضبط Accuracy وقد تم حساب دقة الطريقة الكروماتوغرافية في هذا البحث بحساب كلا من الخطأ Precision النسبي المئوي Recovery ، Relative Error ، Rec% ، E% والنسبة المئوية للاسترداد Relative Standard deviation RSD% وكذلك تم حساب ضبط الطريقة بحساب الانحراف النسبي المئوي و باستخدام المعادلات السابقة . إذ تم قياس كل تركيز بمعدل ثلاث مرات وتم الحصول على النتائج كما في الجدول 15.3 والجدول 16.17,18

### الجدول (15-3) معدل النتائج التي تم حصول عليها لثلاث تراكيز مختلفة من عقار .CH

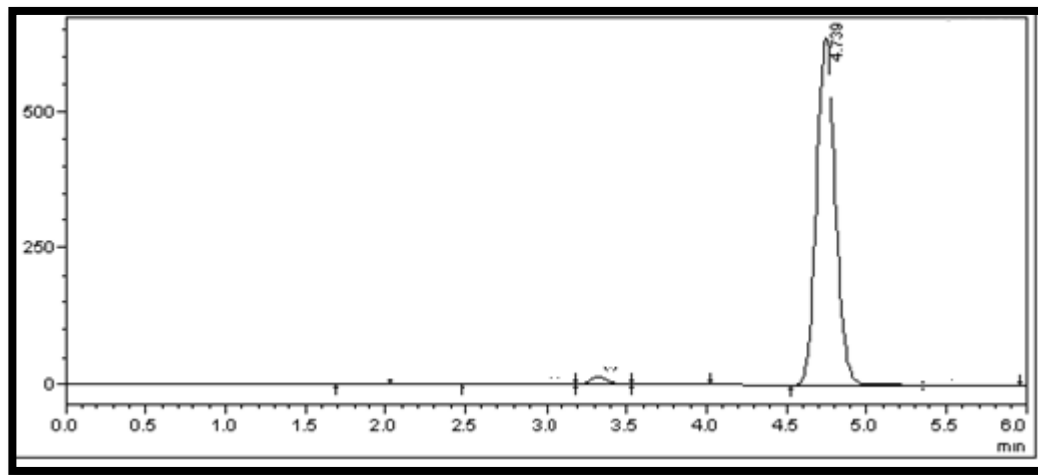
Concentration		$\mu\text{g/mL}$ found	Error %	% Rec	% RSD
Taken					
5	4.900	-1.993	98.01	0.83	
30	29.753	-0.823	99.177	0.236	
50	50.179	0.358	100.36	0.152	



الشكل (21-3) كروماتوغرام التركيز  $10 \mu\text{g/mL}$  لعقار كلورديازيبوكسيد



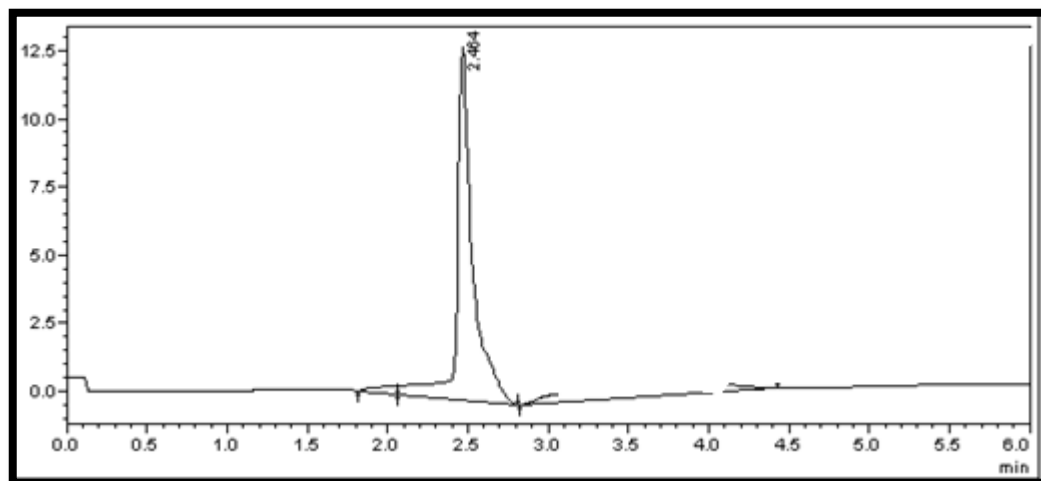
الشكل (22-3) كروماتوغرام التركيز  $30 \mu\text{g/mL}$  لعقار كلورديازيبوكسيد



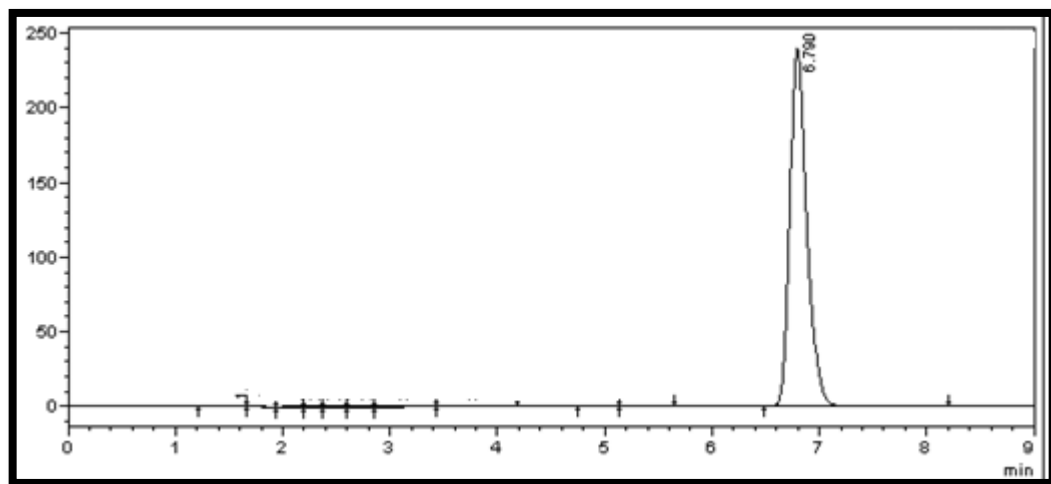
الشكل (23-3) كروماتوغرام التركيز  $50\mu\text{g/mL}$  لعقار كلورديازيبوكسيد.

**الجدول (16-3)** معدل النتائج التي تم حصول عليها لثلاث تركيزات مختلفة من عقار DIZE

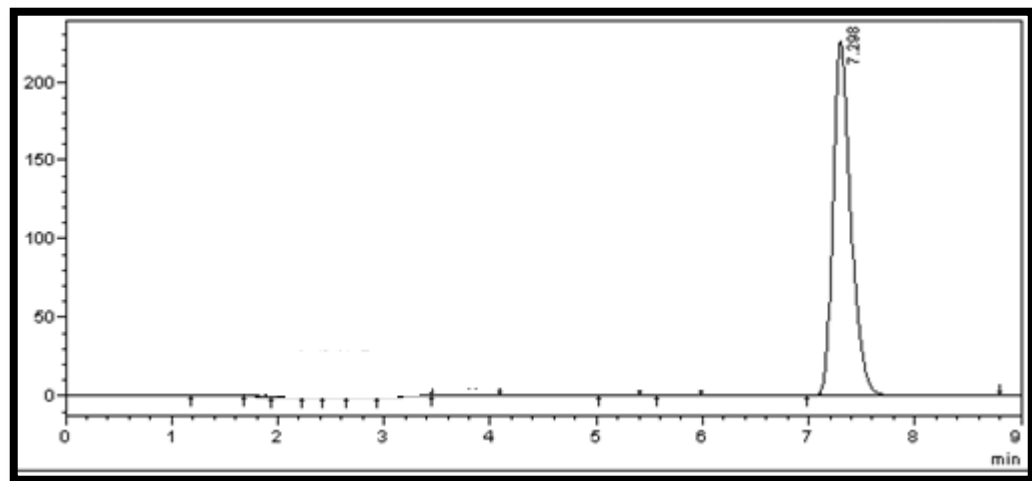
Concentration $\mu\text{g/mL}$		Error %	Recovery %	RSD %
Taken	Found			
6	6.148	2.480	102.495	0.15
24	24.247	-1.349	98.651	0.26
48	48.141	0.295	100.249	2



الشكل (24-3) كروماتوغرام التركيز  $6\mu\text{g/mL}$  لعقار DIZE



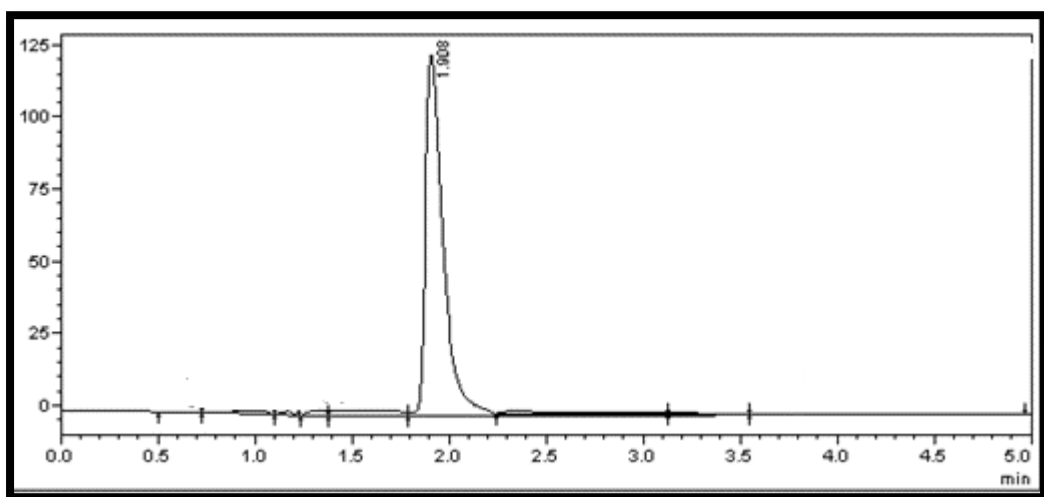
الشكل (25-3) كروماتوغرام التركيز 24  $\mu\text{g/mL}$  لعقار DIZE



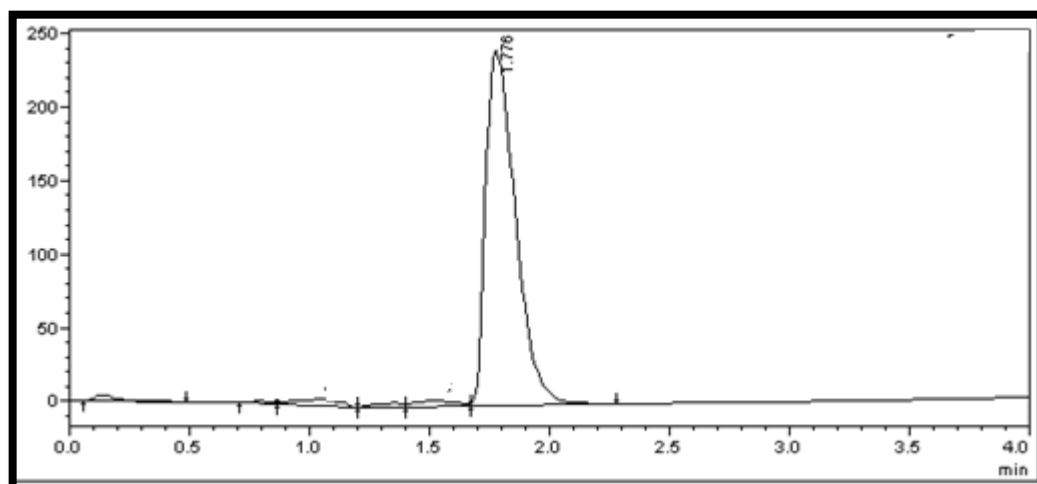
الشكل (26-3) كروماتوغرام التركيز 48  $\mu\text{g/mL}$  لدواء DIZE

الجدول (17-3) معدل النتائج التي تم الحصول عليها لثلاث تراكيز مختلف من عقار AM

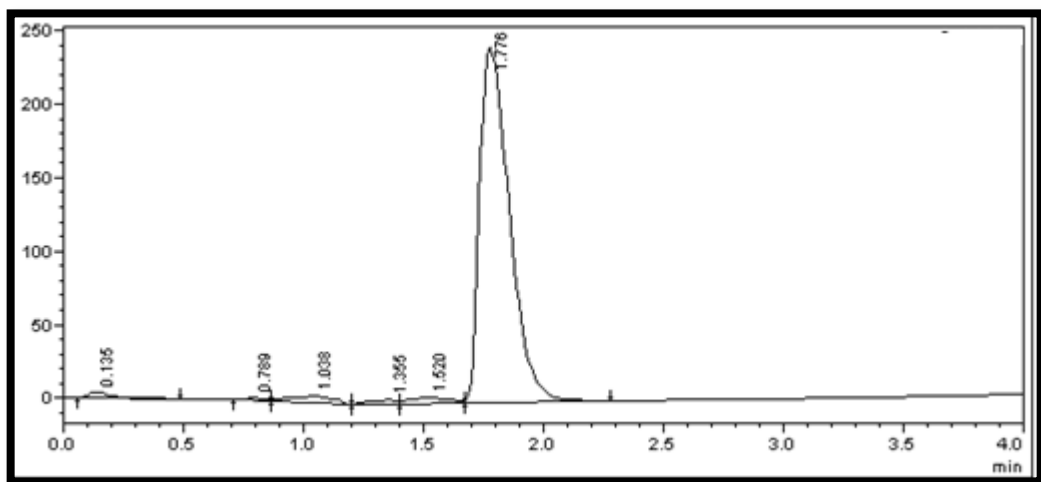
Concentration $\mu\text{g/mL}$		Error %	Recovery%	% RSD
Taken	Found			
10	9.897	-1.030	98.971	1.07
30	29.745	1.411	101.411	0.17
50	49.99	-0.293	99.707	0.14



الشكل ( 27-3 ) كروماتوغرام ذو تركيز  $\mu\text{g/mL}$  10 لعقار AM.



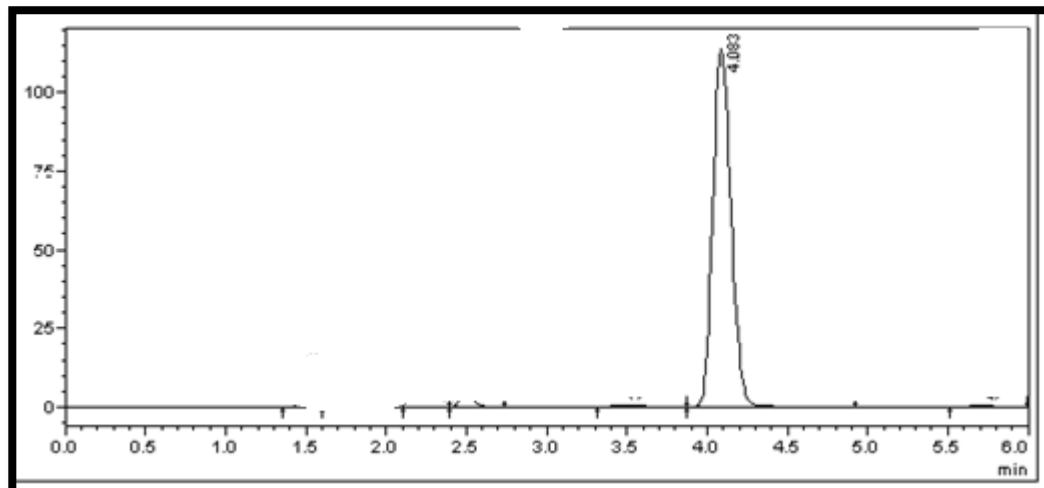
الشكل ( 28-3 ) كروماتوغرام التركيز  $\mu\text{g/mL}$  30 لعقار AM



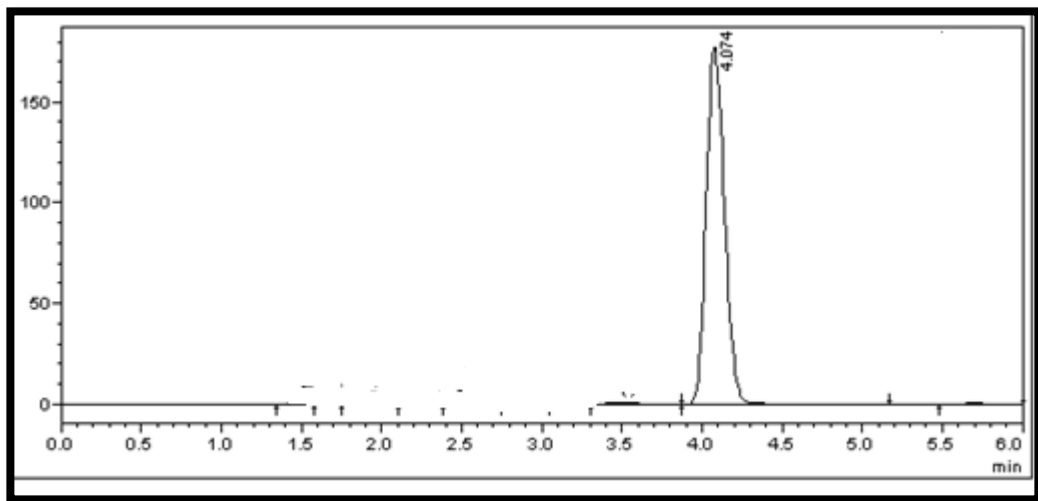
الشكل (29-3) كروماتوغرام التركيز  $50 \mu\text{g/mL}$  لعقار AM.

الجدول (18-3) معدل النتائج التي تم الحصول عليها لثلاث تراكيز مختلفة من عقار ALP

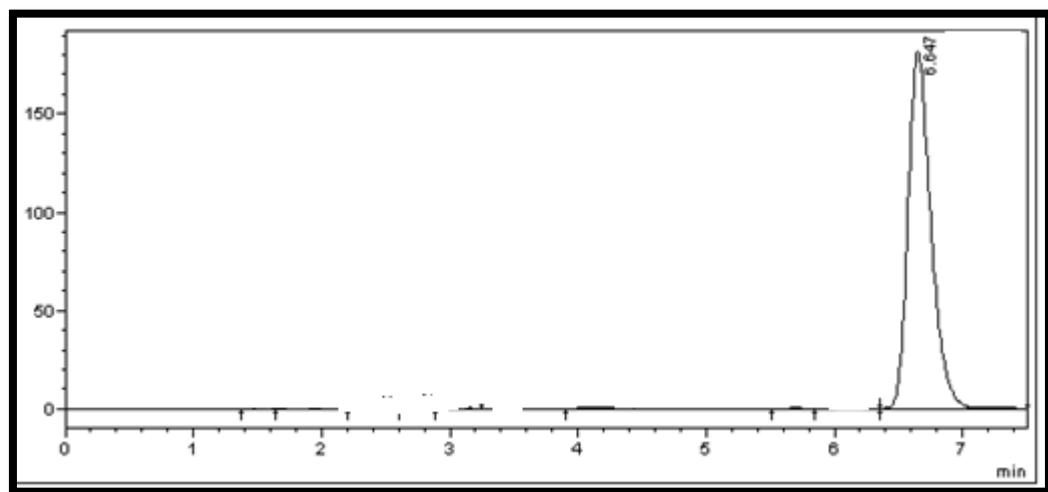
Concentration $\mu\text{g/mL}$		error %	recovery%	RSD %
taken	Found			
10	9.821	-1.79	98.211	0.10
30	29.958	-0.141	99.859	0.28



الشكل (30-3) كروماتوغرام ذو تركيز  $20\mu\text{g/mL}$  لعقار ALP.



الشكل (31-3) كروماتوغرام ذو تركيز  $30\mu\text{g/mL}$  لعقار ALP.



الشكل (32-3) كروماتوغرام التركيز  $50\mu\text{g/mL}$  لعقار ALP.

### 6-1-3 تطبيقات الطرق المقترحة على المستحضرات الصيدلانية

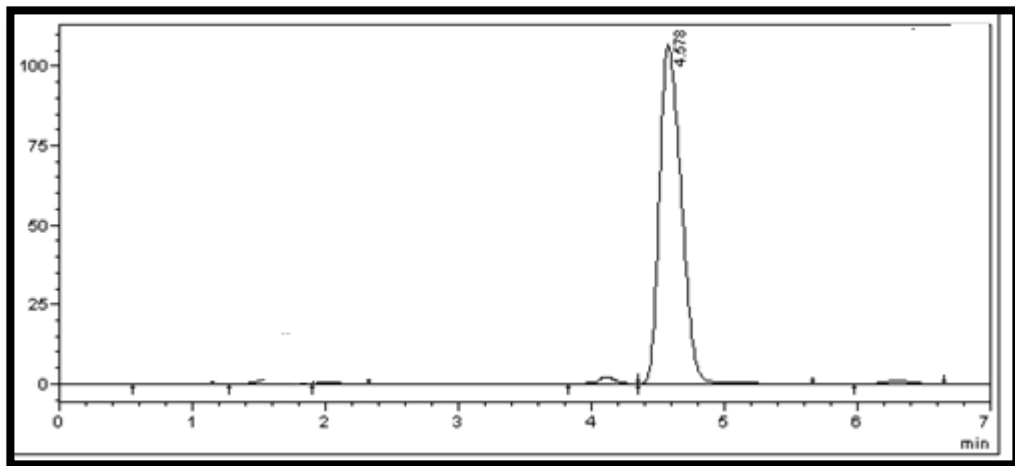
تم تطبيق الطريقة المقترحة في التقدير الكروماتوغرافي لعقاقير الاربعة كلورديازيبوكسيد والأميريبتيلين والألبرازولام والديازيبام في بعض المستحضرات الصيدلانية ومن مناشيء مختلفة

، وكما مبين في الجدول (19-3) إذ حضرت محليل المستحضرات الصيدلانية اذ تم تجهيز ثلاثة محليل للتركيز الواحد ولثلاثة تركيزات مختلفة لكل مستحضر دوائي وتمت الاذابة في الطور المتحرك التي تم تحضيره ، تم إجراء عملية الحقن في جهاز HPLC ولثلاث مرات لكل تركيز ومن ثم تم حساب المعدل و الحصول على النتائج والأشكال التالية المرفقة . ومن خلال النتائج التي تم الحصول عليها في الجداول تبين أن الطريقة المستخدمة في التحليل لتقدير التركيز المستحضرات الصيدلانية ذات دقة وحساسية عالية.

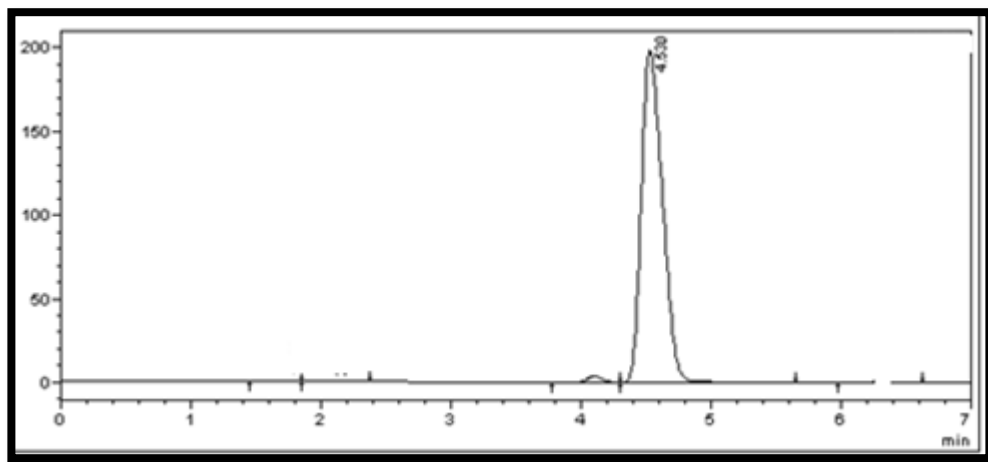
**جدول (19-3) نتائج تطبيق للطريقة المقترحة على بعض المستحضرات الصيدلانية  
كلورديازيبوكسيد وال أميتريبتيلين وال ألبرازولام ديزيبيام.**

Company	Concentration μg/mL		Error %	Rec %	RSD %
	Taken	Found			
<b>CH LIBROXIDE SDI Iraq10g</b>	5 30 50	5.127 29.772 50.706	0.015 -0.008 0.014	102.54 99.207 101.41	0.002 0.001 0.030
<b>DIZE VALIUPAM5 TABLETS</b>	6 24 48	5.943 24.205 47.923	-0.009 0.008 -0.002	99.046 100.85 8 100.20 5	0.014 0.004 0.023
<b>Am Actavis Barnstaple EX32 8NS UK</b>	10 30 50	9.96 30.14 50.56	-0.004 0.005 0.011	99.59 100.46 101.12	2 0.54 0.18

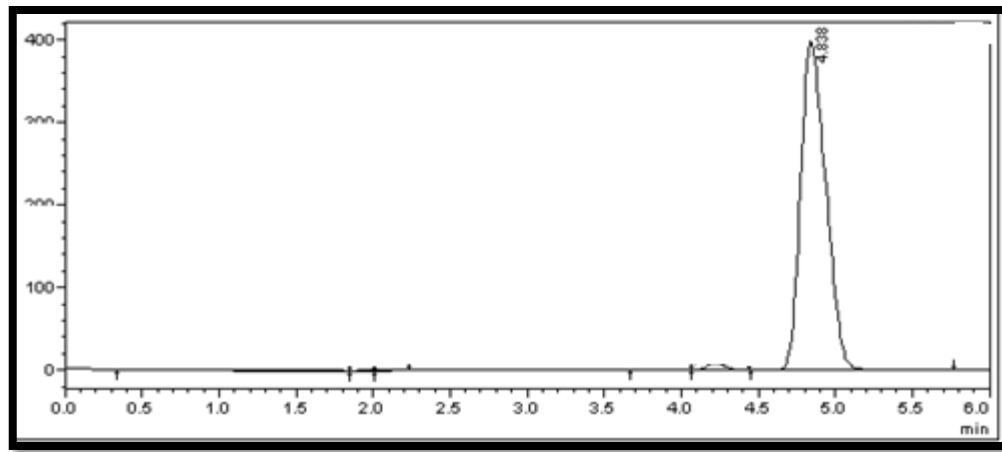
<b>25mg Tryptizol</b>					
<b>ALP</b>	20	20.101	0.005	100.51	0.52
<b>Actavis Barnstaple EX32 8NS UK</b>	30	30.088	0.003	100.29	1.40



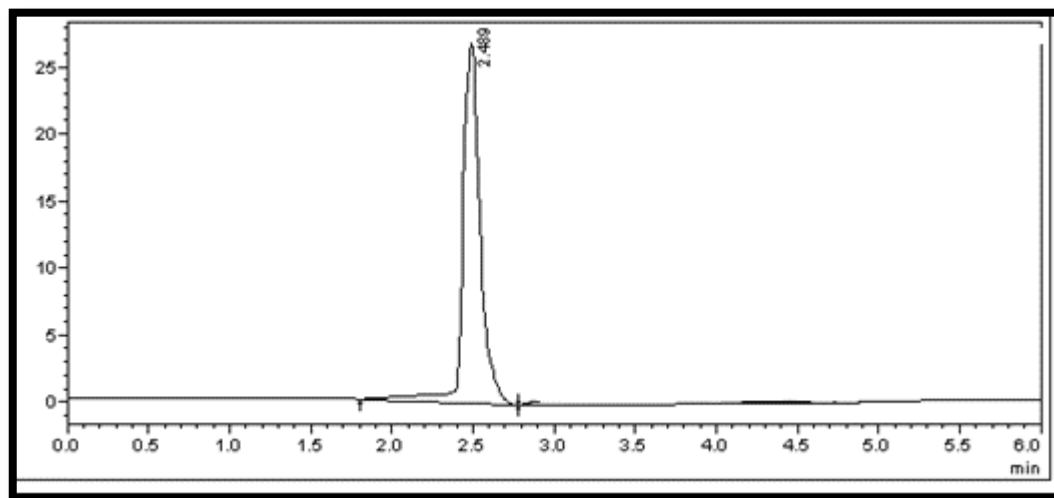
الشكل (33-3) كروماتوغرام ذو تركيز  $5\mu\text{g/mL}$  للمستحضر الصيدلاني  
كلورديازيبوكسيد



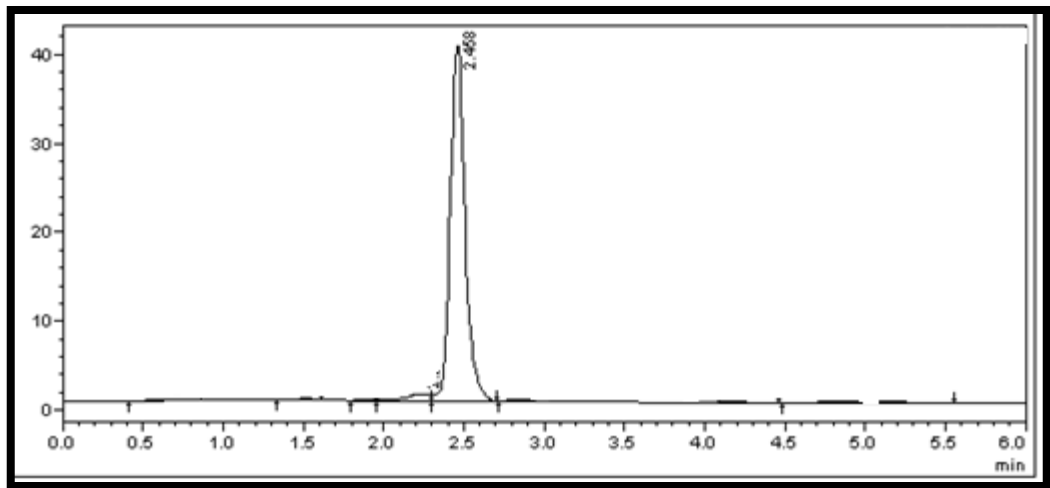
الشكل (34-3) كروماتوغرام ذو تركيز  $30\mu\text{g/mL}$  للمستحضر الصيدلاني  
(كلورديازيبوكسـيد)



الشكل (35-3) كروماتوغرام ذو تركيز  $50\mu\text{g/mL}$  للمستحضر الصيدلاني كلورديازيبوكسيد

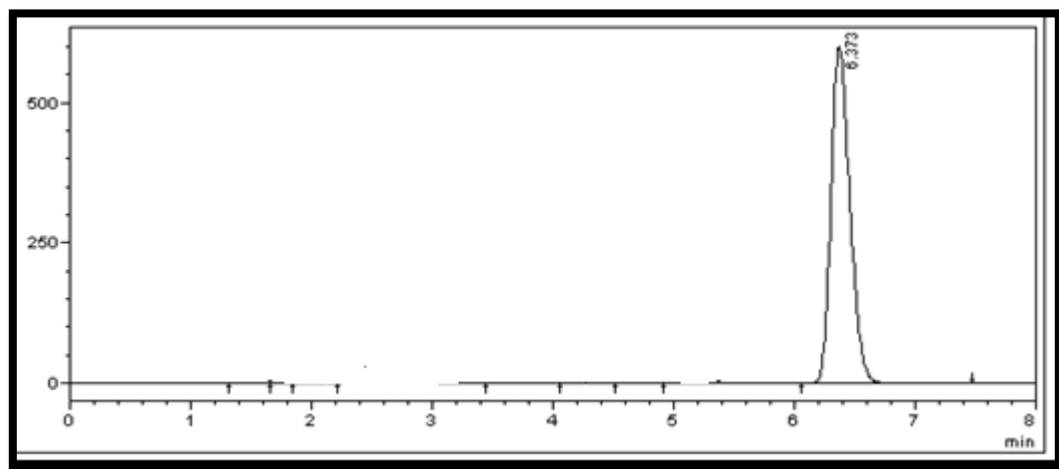


الشكل (36-3) كروماتوغرام ذو تركيز  $6\mu\text{g/mL}$  للمستحضر الصيدلاني (الديازيبام)

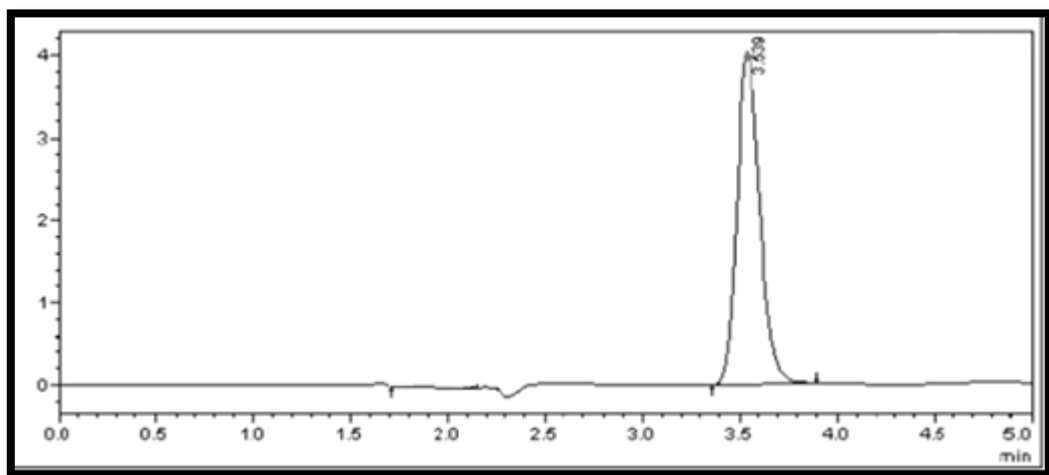


الشكل (37-3) كروماتوغرام للمستحضر الصيدلاني (الديازيبام) ذو تركيز

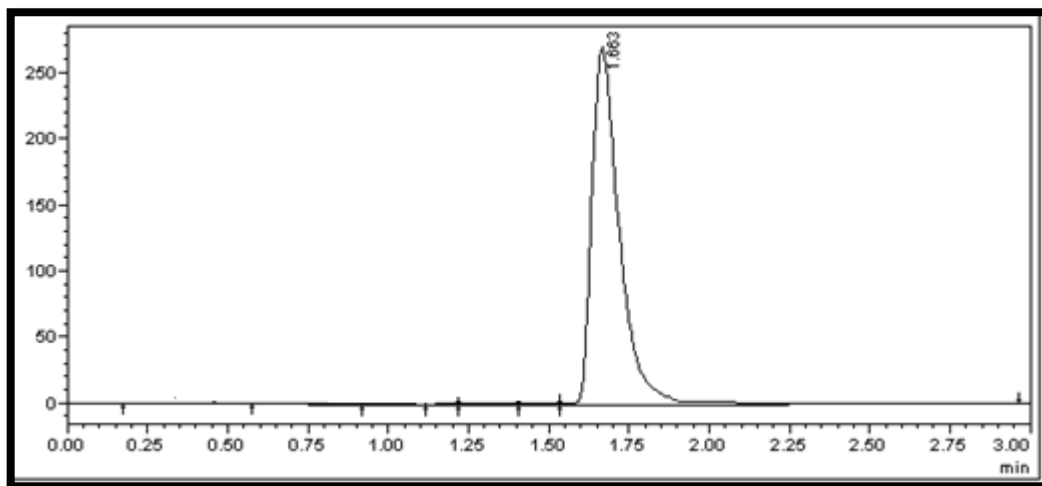
$24\mu\text{g/mL}$



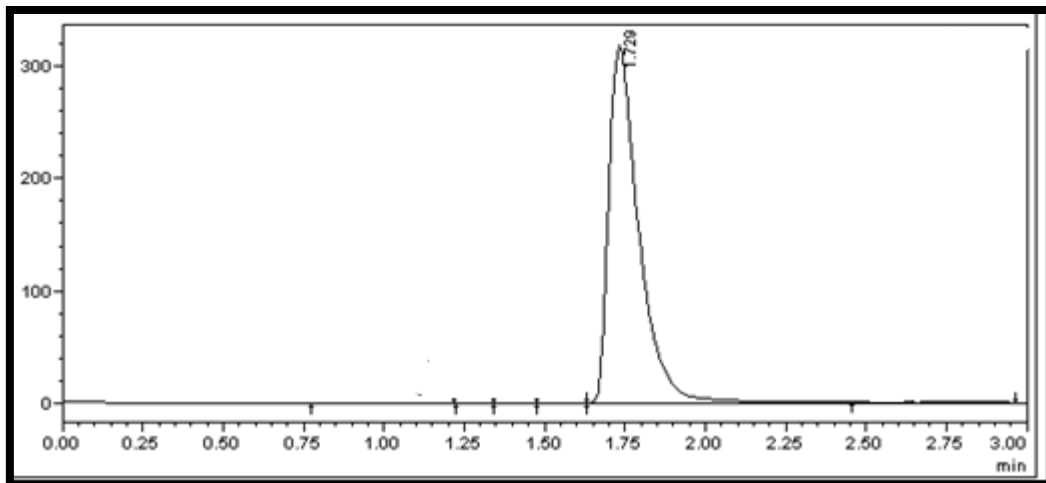
الشكل (38-3) كروماتوغرام للمستحضر الصيدلاني (الديازيبام) ذو تركيز  $48\mu\text{g/mL}$



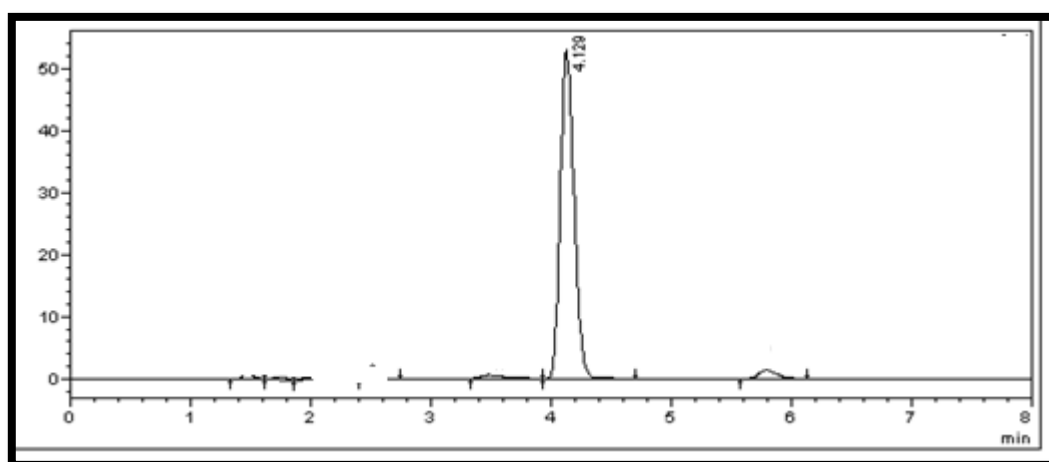
الشكل (39-3) كروماتوغرام للمستحضر الصيدلاني الأميتريبيتيلين ذو تركيز  $10 \mu\text{g/mL}$



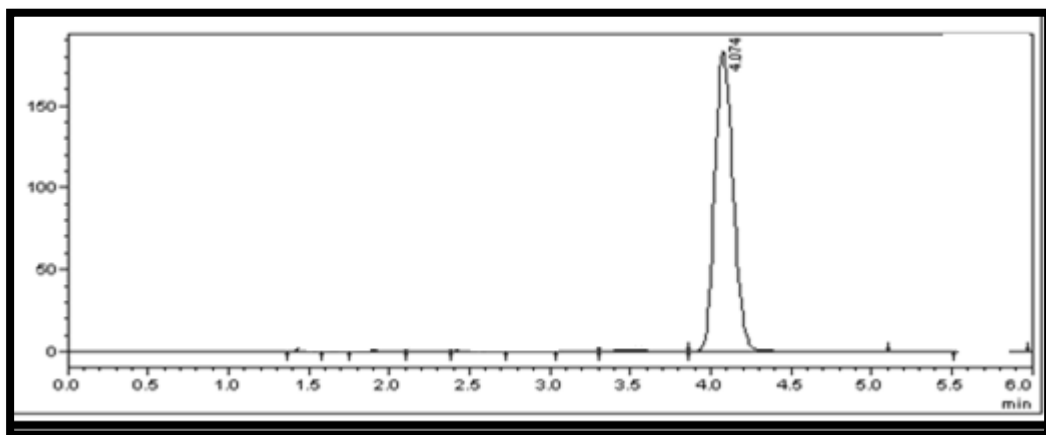
الشكل (40-3) كروماتوغرام ذو تركيز  $30 \mu\text{g/mL}$  للمستحضر الصيدلاني (الأميتربيتيلين)



الشكل (41-3) كروماتوغرام للمستحضر الصيدلاني الأميتريبيتيلين ذو تركيز  $50\mu\text{g/mL}$



الشكل (42-3) كروماتوغرام للمستحضر الصيدلاني الألبرازولام ذو تركيز  $20\mu\text{g/mL}$



الشكل (43-3) كروماتوغرام للمستحضر الصيدلاني الألبرازولام ذو تركيز  $30\mu\text{g/mL}$

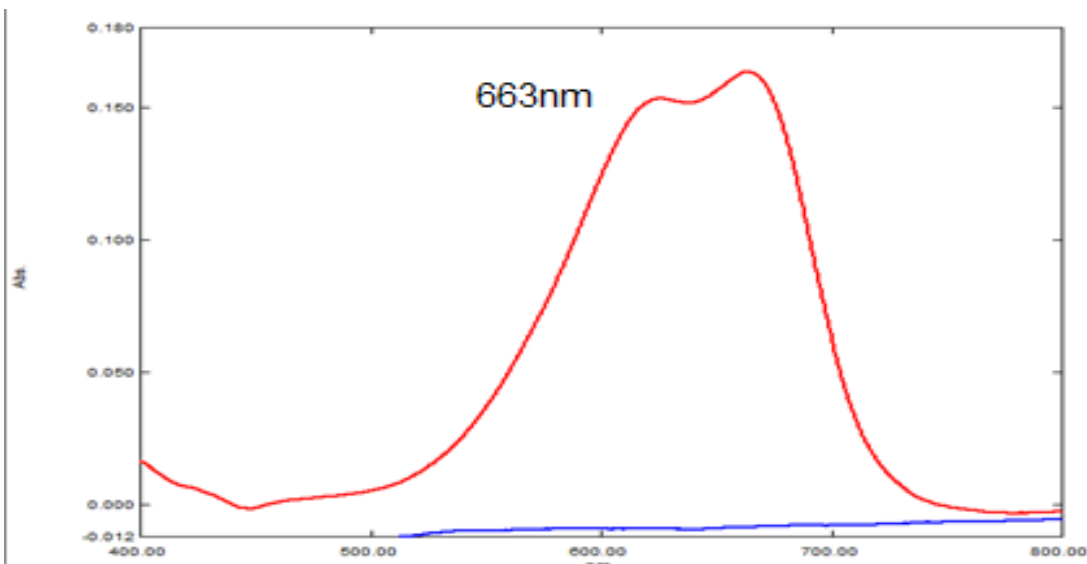
### (3-2) النتائج والمناقشة للطريقة الطيفية:

#### Result and discussion for Spectrophotometric method

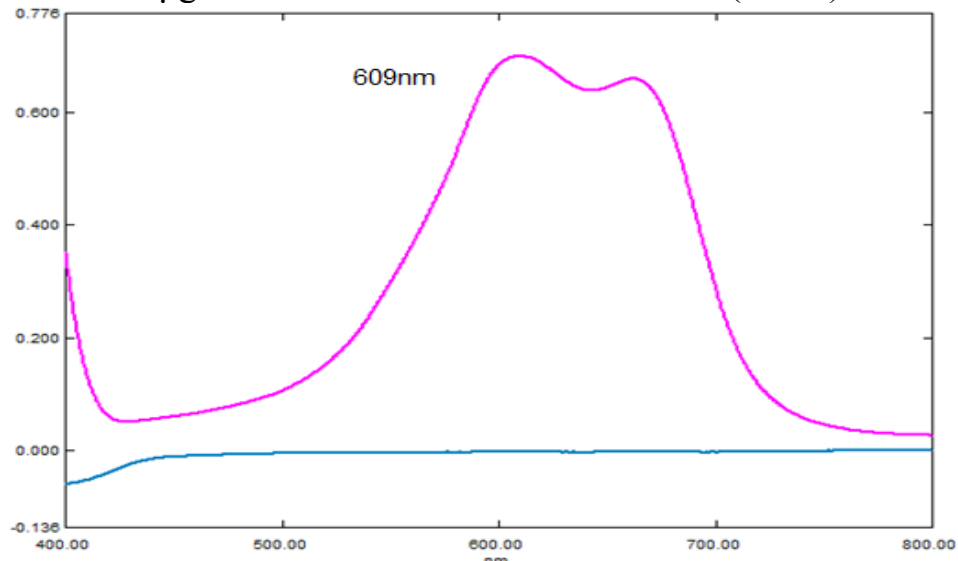
تضمنت هذه الطريقة التقدير الكمي لعقاقير كلورديازيبوكسيد و ديازيبام وأميتريبيتيلين و البرازولام بحالتها النقيّة وفي بعض المستحضرات الصيدلانية.

#### The Spectra of complexes : أطیاف للمعقّدات (1-2-3)

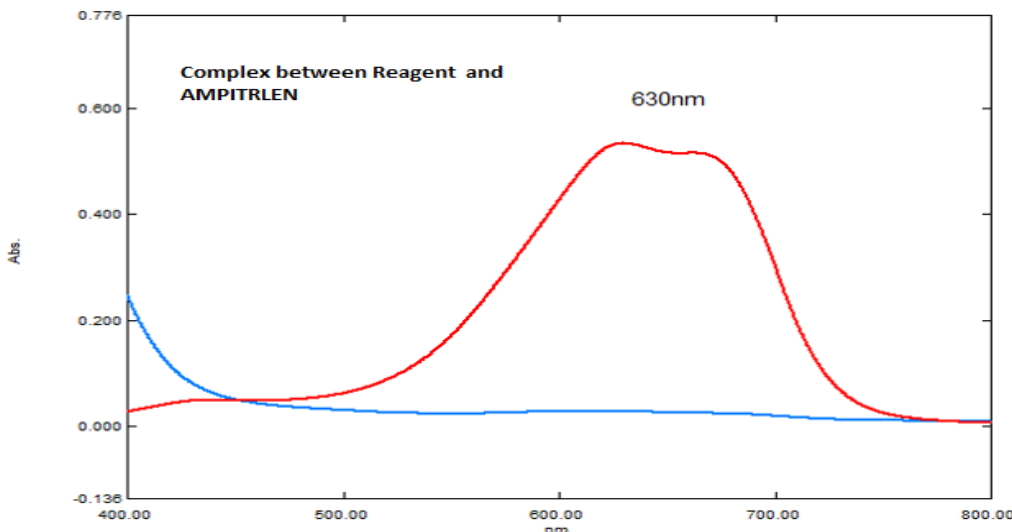
لتحديد أطیاف كل من كلورديازيبوكسيد و ديازيبام وأميتريبيتيلين و البرازولام ، آخذ حجوم مقدارها 2 مل على انفراد من كل محلول قياسي ذا ppm100 وضعت في قناني حجمية سعة 10 مل وتم اضافة 2 مل من كاشف (MBTH) 3-مثـل-2-بنزوثيريازولينون هيدروازون ذا تركيز محضر سابقا بتركيز (  $M = 1.12 \times 10^{-2}$  ) بعدها تم اضافة حجم مقداره 1.5 من كلوريد الحديديك ذا تركيز (  $M = 3.3 \times 10^{-3}$  ). بعدها تركت الدوارق الحجمية الاربعة لمدة ربع ساعة لاكمال التفاعل ثم اكمل الحجم بالماء المقطر الى حد العلامة . كذلك حضر محلول الخلب ( البلانك ) بنفس الطريقة السابقة بغياب المادة الفعالة للدواء وترك لمدة ربع ساعة واكمل حجم بالماء المقطر لحد العلامة . بعد ذلك اجري مسح طيفي لكل عقار على انفراد ضمن حدود الموجية من 400-800nm كما مبين في الأشكال التالية . وكانت الاطوال الموجية لاعظم امتصاص مثبتة على كل طيف من الاشكال (47-3), (46-3), (45-3), (46-3), (47-3) .



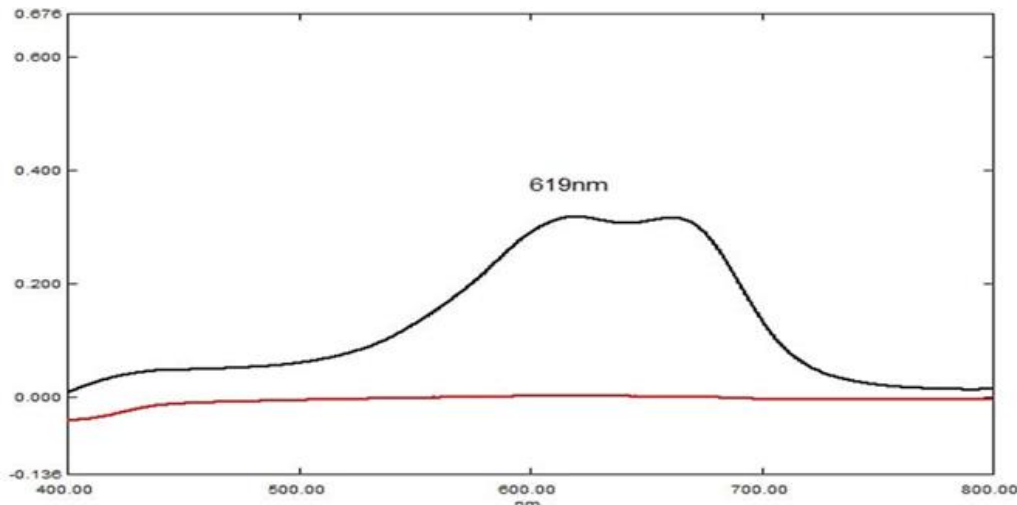
الشكل ( 44-3 ) طيف معقد كلورديازيبوكسيد بتركيز  $20 \mu\text{g}/\text{ml}$



الشكل ( 45-3 ) طيف معقد ديازيبام بتركيز  $20 \mu\text{g}/\text{ml}$



الشكل (46-3) طيف معقد أميتريبيتيلين بتركيز  $10 \mu\text{g}/\text{ml}$



الشكل (47-3) طيف معقد البرازولام بتركيز  $10 \mu\text{g}/\text{ml}$

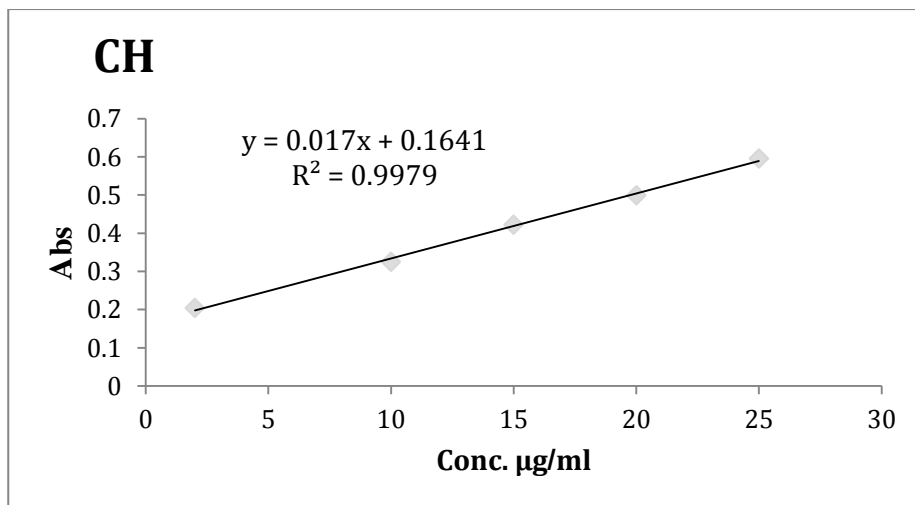
### ( ) دراسة منحني المعايرة للمعقادات :

تم بناء منحني المعايرة وذلك بتحضير مجموعة من المحاليل القياسية من المحلول الام  $\mu\text{g}/\text{mL}$  100 وبقاني حجمية سعة (10 مل) لكل عقار على انفراد وقيست الامتصاصية لجميع المحاليل مقابل المحلول البلاank عند الاطوال الموجية 609 nm , 619 nm , 630 nm و 663 nm كل من كلورديازيبوكسيد و ديازيبام وأميتربيتيلين البرازولام . وتم بناء منحنيات المعايره وفقا للإجراءات العام في ظل الظروف القياسية لكل من العقارين كلورديازيبوكسيد و ديازيبام  $\text{FeCl}_3$  و  $\text{MBTH}$  و تم الحصول على العلاقة الخطية بين الامتصاص والتراكيز لكل من  $\text{ALP}$  ،  $\text{DIZE}$  ،  $\text{CH}$  ،  $\text{AM}$  والـ  $\text{AM}$

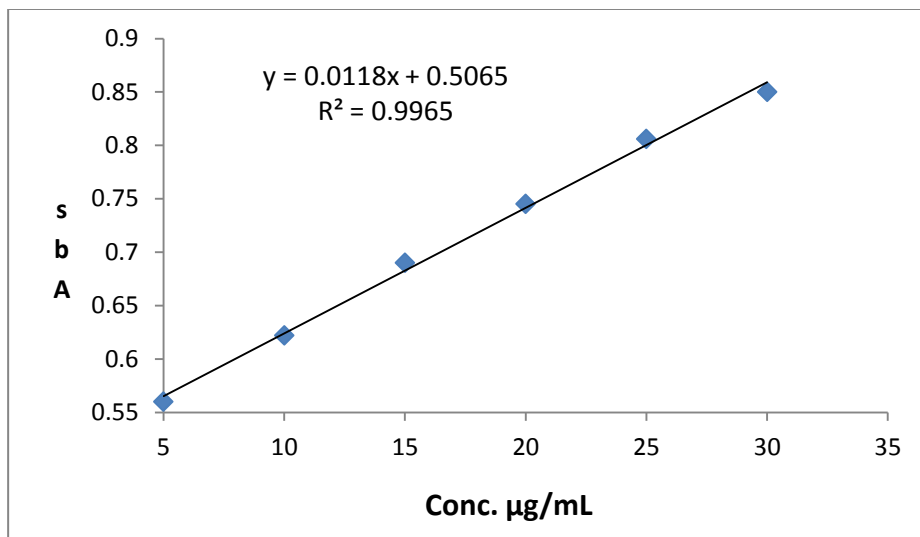
( 25-5 ) و ( 30 μg / ml ) على التوالي وتم خضوع المعادلة لقانون لامبرت بيبروت حساب معامل الامتصاص وحساسية سندل كما في الجدول (3-1) ومنحني المعايرة لأربع مركبات الدوائية على التوالي وحسب الأشكال (49-3)، (50-3)، (48-3)، (51-3).

**(20-3) القيم التحليلية المتعلقة لقياس الامتصاصية الولارية وحساسية سندل للطريقة الطيفية في تقييم المركبات الدوائية**

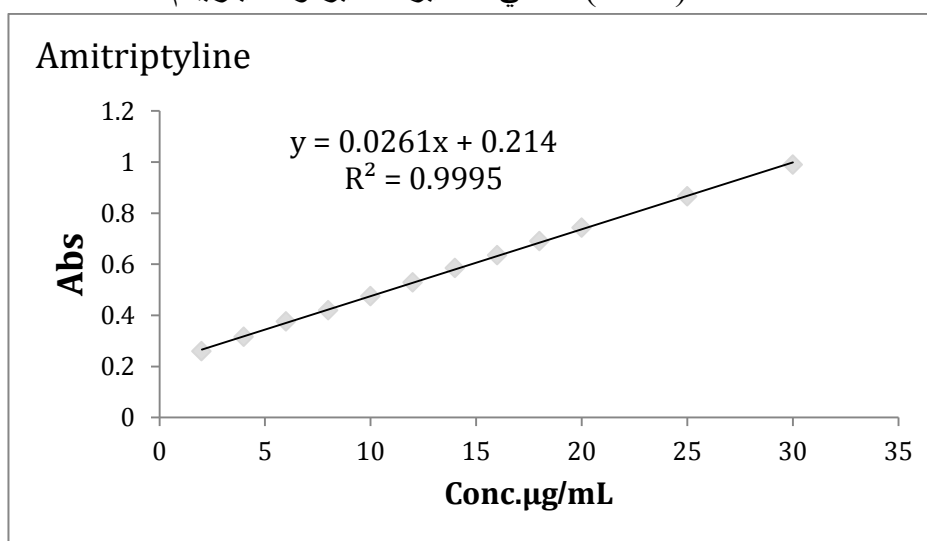
Drug	$\epsilon$ Mohar absorptivity $L. mole^{-1}.cm^{-1}$	Sandal sensitivity $\mu g.cm^{-2}$
chlordiazepoxide	$5.575 \times 10^3$	0.054
Diazepam	$3.359 \times 10^3$	0.085
Amitriptyline	$7.157 \times 10^3$	0.039
Alprazolam	$7.565 \times 10^3$	0.041



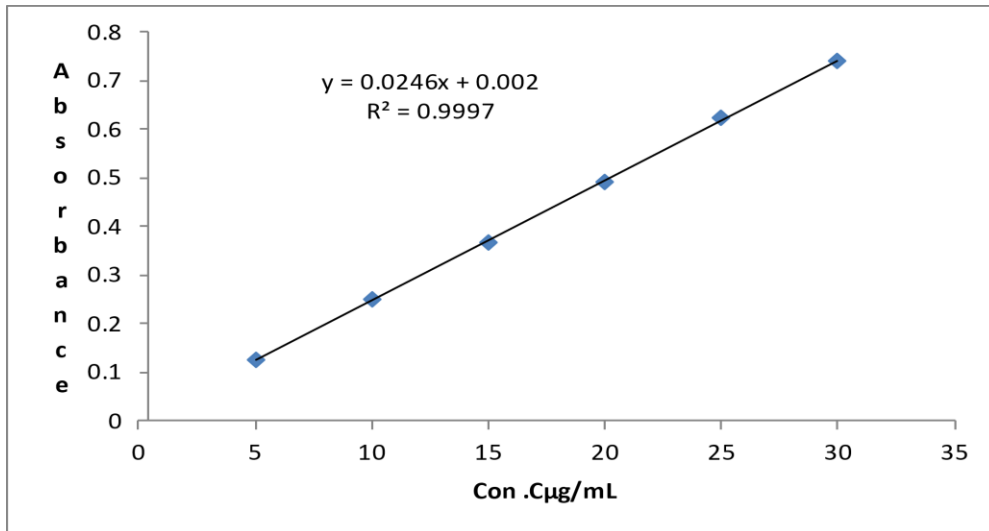
الشكل (3-48) منحني المعايرة لتقدير دواء كلورديازبوكسيد.



الشكل (49-3) منحني المعايرة لتقدير دواء ديازيبام .



الشكل (50-3) منحني المعايرة لتقدير دواء أميترىپتيلين .

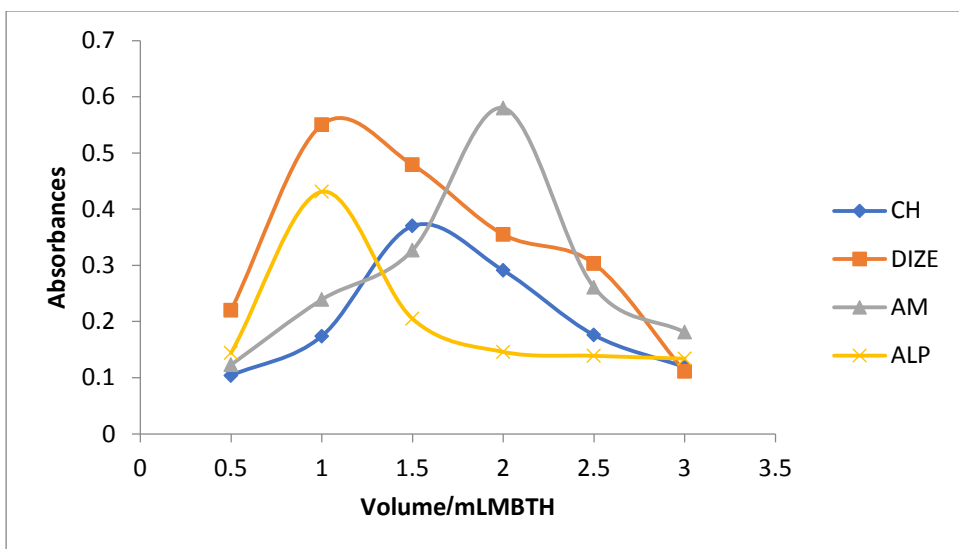


الشكل (3-51) منحني المعايرة لتقدير دواء البرازولام

(3-2-3) دراسة الظروف الفضلى لتكوين المعقد للحصول على أعلى شدة لامتصاصية ومنها :

(1-3-2-3) دراسة تأثير التغير في حجم تركيز ثابت من الكاشف MBTH على شدة المعقد

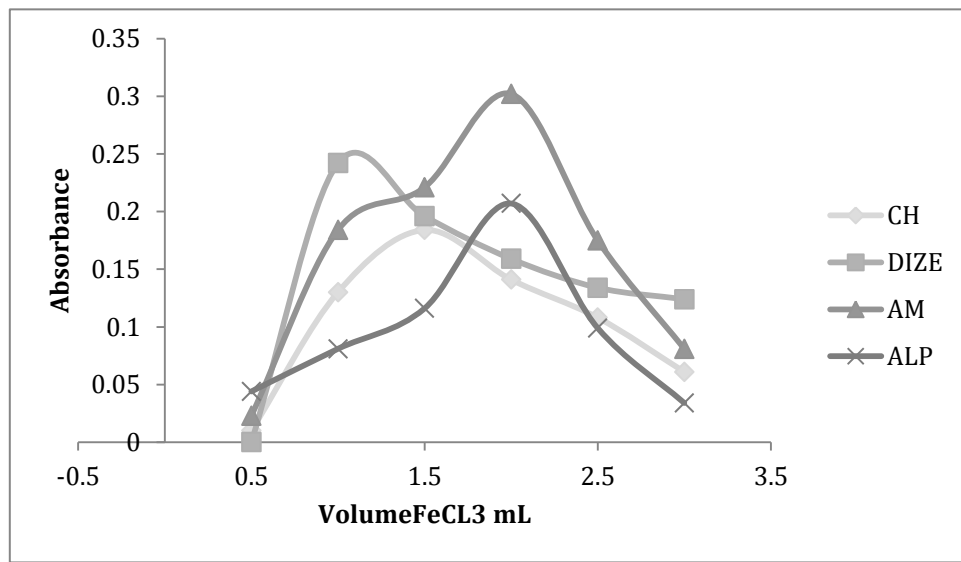
اخذت حجوم مختلفة حجم مترادفة (0.5-3) مل من تركيز ثابت للكاشف MBTH مع اضافات ثابتة من العامل المؤكسد  $\text{FeCl}_3$  ذو تركيز  $1.12 \times 10^{-2} \text{ M}$  اضافة 2 مل من المركب الدوائي المحضر سابقا ووضع في دورق حجمي 10mL مع الانتظار 15 دقيقة واكمال الحجم بالماء المقطر الى الحد العلامة تم بعدها قياس الامتصاصية لكل معقد مقابل البلازك، إن الهدف أو الغرض من هذه الدراسة إيجاد الحجم الأمثل أو الأفضل من محلول اضافته لحدوث الإقتران أو التزاوج التاكسي مع العقار، وكانت الحجوم الفضلى كما مبينة في الشكل (3-52)



الشكل يوضح (3-52): دراسة تأثير حجوم مختلفة من MBTH بتركيز  $1.12 \times 10^{-2} \text{ M}$  على شدة المعقد الناتج للعقاقير الاربعة CH , DIZE , AM , ALP . كما ان افضل حجم كان لعقار CH عند 1.5 مل ، و عقار DIZE عند حجم 1 مل ، أما AM عند 2 مل ، كذلك ALP عند حجم 1 مل .

### (2-3-2-3) دراسة تأثير حجوم $\text{FeCl}_3 \cdot 6\text{H}_2\text{O}$ على شدة المعقد الناتج :-

تم دراسة تأثير حجم العامل المؤكسد المضاف في امتصاصية المعقد للمركبات الدوائية الاربعة حيث اخذت سلسلة دوارق حجمية بسعة 10 مل يحوي كل منها على حجم ثابت من MBTH والدواء وحجوم متزايدة من الكاشف  $\text{FeCl}_3$  بتركيز  $5.10 \times 10^{-3} \text{ M}$  وقيست بعدها امتصاصية المعقد المتكون عند طول موجي الاعظم  $\lambda_{\max}$  ثم تم رسم العلاقة بين التغير في الحجم كلوريد الحديديك والامتصاصية كما في الشكل (53-3)



الشكل يوضح (53): دراسة تأثير حجوم مختلفة من  $\text{FeCl}_3$  بتركيز

$3 \times 10^{-3} \text{M}$  على شدة المعقّد الناتج للعاقفيّر الاربعة

- بعد قياس امتصاصية وجد ان افضل حجم كان لعقار CH عند 1.5 مل ، و عقار DIZE عند حجم 1 مل ، و AM عند 2 مل ، كذلك ALP عند حجم 2 مل

### (3-3-2-3) دراسة تأثير pH الدالة الحامضية على تكوين المعقّد :

لغرض التعرف على تأثير الدالة الحامضية المثلثى تم اختيار مدى معين من الدوال الحامضية تتراوح ما بين (pH = 2-7) و تم تحضيره بعد ترك التفاعل لمدة 15 دقيقة واضيف محليل المنظمة (pH = 2-7) المعين قيمة ، قيست امتصاصية و وجد أن أعلى قيمة امتصاص  $\lambda_{\max}$  كانت عند (pH=2) لجميع الادوية كما في الجدول (6-3) ، أما بالنسبة للمحاليل (pH= 3,4,5,6,7) لم يتكون المعقّد وهذا يدل استقراريته في هذه الاوساط ( 3,4,5,6,7 )

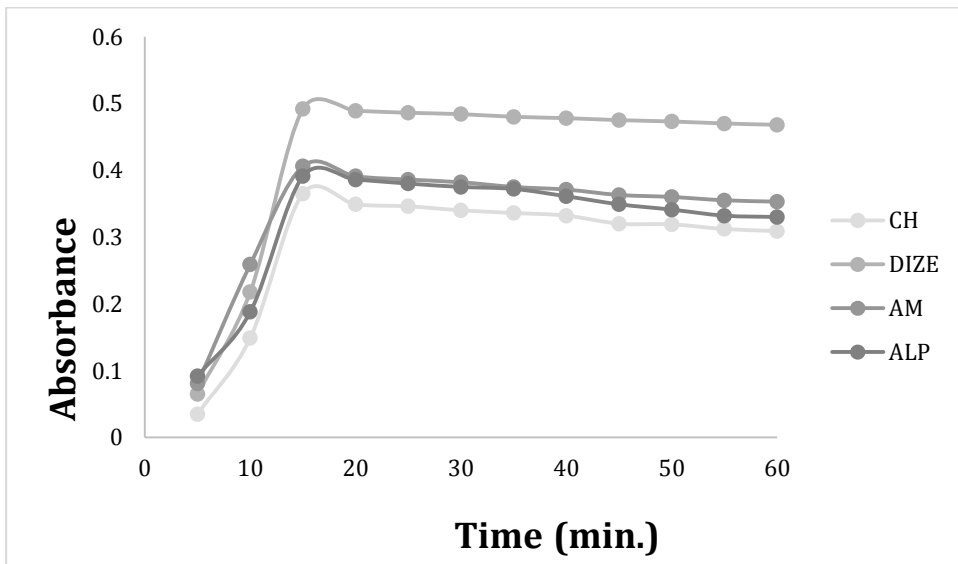
جدول (21-3) تأثير الدوال الحامضية لدواء CH بتركيز  $\text{mL / } \mu\text{g} 2$  مع البلاك

pH	Absorbance	الملاحظات
2	0.358	حدوث التفاعل
3	0.001	

4	<b>0.001</b>	لم يحدث تفاعل
5	<b>0.001</b>	
6	<b>0.001</b>	
7	<b>0.001</b>	
:		

#### 4-3-2-1) دراسة تأثير استقرارية المعقد مع الزمن

لمعرفة تأثير الزمن في استقرارية معقدات كلا من كلورديازيبوكسيد و أميتريبيتيلين وألبرازولام و ديازيبام مع الكاشف أخذت دورق حجمي سعة 10 مل وتم اضيف لكل دورق 2 مل من الدواء على انفراد وحجم المناسب من الكاشف لكل الدواء من MBTH و  $\text{FeCl}_3$  بالمقابل البلانك تم اكمال كل منها إلى حد العلامة بالماء المقطر تم قياس الامتصاصية وقد وجد أن امتصاصية تتزايد بزيادة الزمن لحين الوصول إلى الدقيقة 15 تبدأ الامتصاصية بالاستقرار المعقد المكون والذي يكون ذو لون أزرق حيث قياس الامتصاصية وقد اختير هذا الزمن مثالي في التجارب اللاحقة و الشكل (54-3) يبين النتائج المستحصلة.

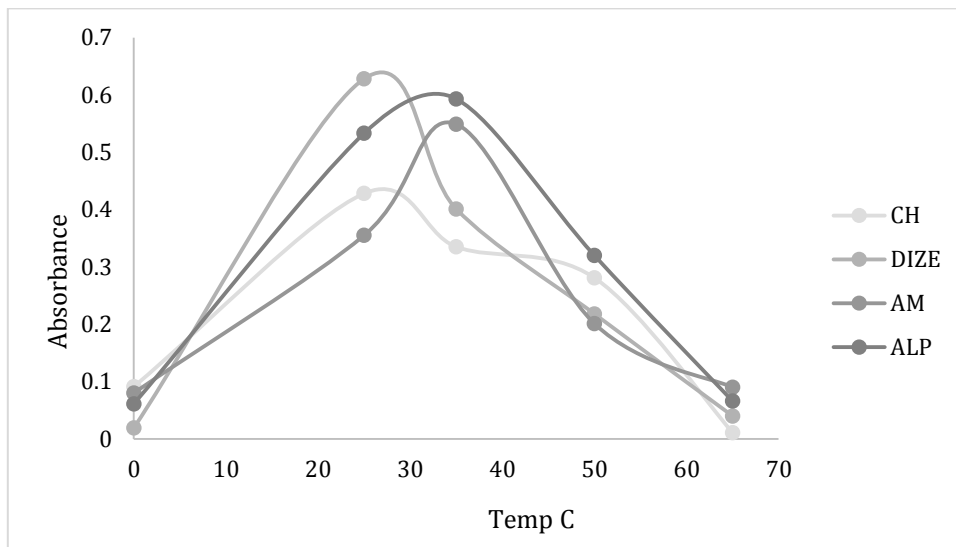


الشكل ( 54-3 ) : تأثير الزمن في الامتصاصية لمحاليل معقدات قيد الدراسة ذو تركيز  $2 \mu\text{g} / \text{mL}$  مع الكاشف  $\text{MBTH}$   $\text{FeCl}_3$

#### 5-3-2-3) دراسة تأثير درجة الحرارة :

تم دراسة تأثير درجة الحرارة على شدة امتصاصية لكل الدواء على انفراد حيث حضرت سلسلة من دوارق حجمية سعة 10 مل اضيفت لكل منها 1مل من الدواء تركيزه  $100 \text{ mL}\mu\text{g}$  وحجم من الكاشف وعامل المؤكسد واكمل ثم الحجم الى حد العلامة بالماء المقطر، بعدها تم تبريد وتسخين كل من المعقد والبلانك لمدة 5 دقائق، ثم بعدها قياس امتصاصية عند درجات حرارة (0-25-35-50) وكانت اعلى امتصاصية عند درجة 35 درجة حسب الشكل (55-3).

للعقاقير الاربعة تحت قيد الدراسة.



الشكل (55-3) تأثير درجة الحرارة في الامتصاصية لمحاليل المعقدات المحضرية قيد الدراسة

### 6-3-2-3) تأثير ترتيب الاضافة

تم استعمال التسلسل المتبوع في تثبيت الظروف الفضلى لتقدير المركبات الدوائية وحسب التسلسل: المركب الدوائي  $\text{FeCl}_3(\text{OX}) + \text{MBTH}(\text{R}) + \text{Drug}$  ، وتبين عملياً أن حدوث أي تغيير في ترتيب الإضافة يؤثر سلباً على عملية التقدير أي نقل شدة الامتصاصية ( $\lambda_{\text{max}}$ ) كما موضح في الجدول(3-3).

الجدول (3-3) : تأثير ترتيب الاضافة للدوية كلورديازيبوكسيد ، البرازولام ، ديازيبام ، أميتريبتيلين

DURG	Order of addition	Absorbance
Chlordiazepoxide	Drug+MBTH+ $\text{FeCl}_3$	0.469

<b>كلورديازيبوكسيد</b> <b>10µg/mL</b>	<b>Drug+ FeCl<sub>3</sub>+ MBTH</b>	<b>0.416</b>
	<b>MBTH+ FeCl<sub>3</sub>+ Drug</b>	<b>0.260</b>
<b>Alprazolam</b> أبرازولام <b>10µg/mL</b>	<b>Drug+MBTH+ FeCl<sub>3</sub></b>	<b>0.429</b>
	<b>Drug+ FeCl<sub>3</sub>+ MBTH</b>	<b>0.289</b>
	<b>MBTH+ FeCl<sub>3</sub>+ Drug</b>	<b>0.110</b>
<b>Diazepam</b> ديازيبام <b>10µg/mL</b>	<b>Drug+ MBTH+ FeCl<sub>3</sub></b>	<b>0.577</b>
	<b>Drug+ FeCl<sub>3</sub>+ MBTH</b>	<b>0.517</b>
	<b>MBTH+ FeCl<sub>3</sub>+ Drug</b>	<b>0.274</b>
<b>Amitriptyline</b> أميترىپتيلين <b>10µg/mL</b>	<b>Drug+MBTH+ FeCl<sub>3</sub></b>	<b>0.589</b>
	<b>Drug+ FeCl<sub>3</sub>+ MBTH</b>	<b>0.546</b>
	<b>MBTH+ FeCl<sub>3</sub>+ Drug</b>	<b>0.341</b>

#### 4-2-3 ) التركيب المحتمل للمعقد:

)

طرائق الطيفية من الطرائق البالغة الأهمية لايجاد الصيغ التركيبية المحتملة للمعقادات لاسيما إذا كانت محاليل المعقادات ملونة حيث تستخدم أطیاف الاشعة فوق البنفسجية- المرئية على مدى واسع لهذا الغرض لما تظهره هذه المعقادات من قمم امتصاص واضحة ومميزة. وهناك العديد من الطرائق المستعملة لتحديد نسبة الفلز: الليكائد ومن هذه الطرائق الطيفية هي طريقة النسبة المولية ( molar ratio method ) وطريقة المتغيرات المستمرة Variables Method Continuous او طريقة Job (121-125) وتعد طريقة النسب المولية هي الأفضل كونها أكثر الطرق شيوعا في تحديد صيغ المعقادات في محاليلها.

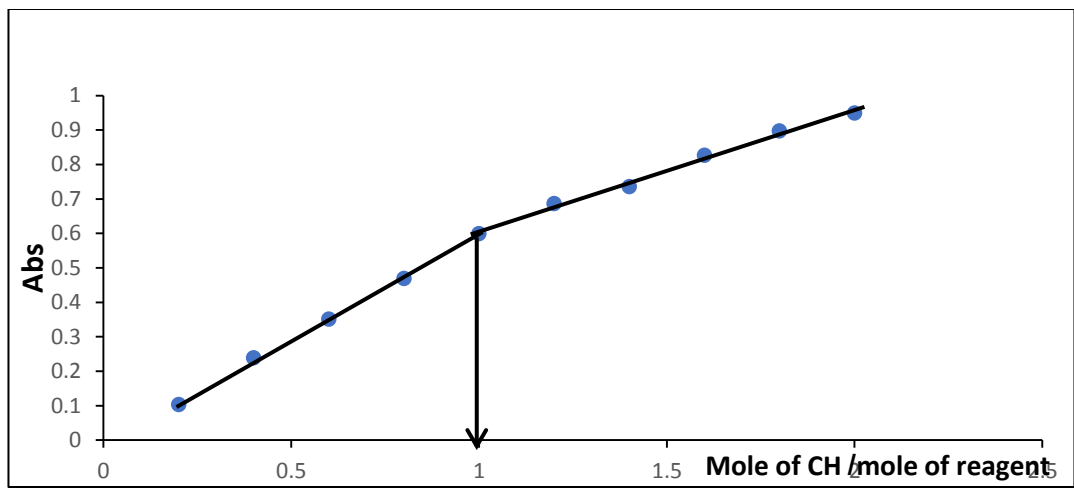
#### ( 1-4-2-3 ) دراسة طريقة النسبة المولية :

تم تطبيق كل من طرقيتي النسب المولية والتغيرات المستمرة للتعرف على النسب التركيبة للناتج الملون بين كل دواء قيد دراسة والكافش  $MBTH (3.6 \times 10^{-4} M)$  لكل من كلورديازيبوكسيد و ديازيبام

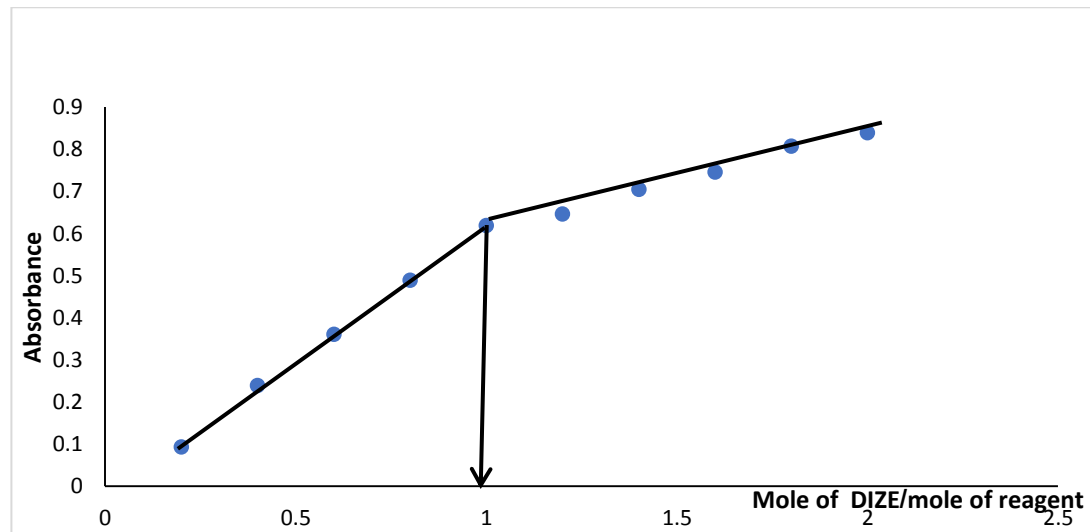
واميتريتالين والبرازولام. والكافش. اذ تبين من النتائج الموضحة حسب الأشكال التالية (3-56)، (3-57) ان نسبة الارتباط بين الادوية السابقة الى كافش MBTH 1:1 (3-58) (3-23) (3-59) كما في الجدول ( 23-3 )

**جدول رقم (23-3) يمثل طريق النسب المولية لحساب النسبة التفاعلية بين الادوية الاربعة المثبتة في الجدول مع الكافش MBTH**

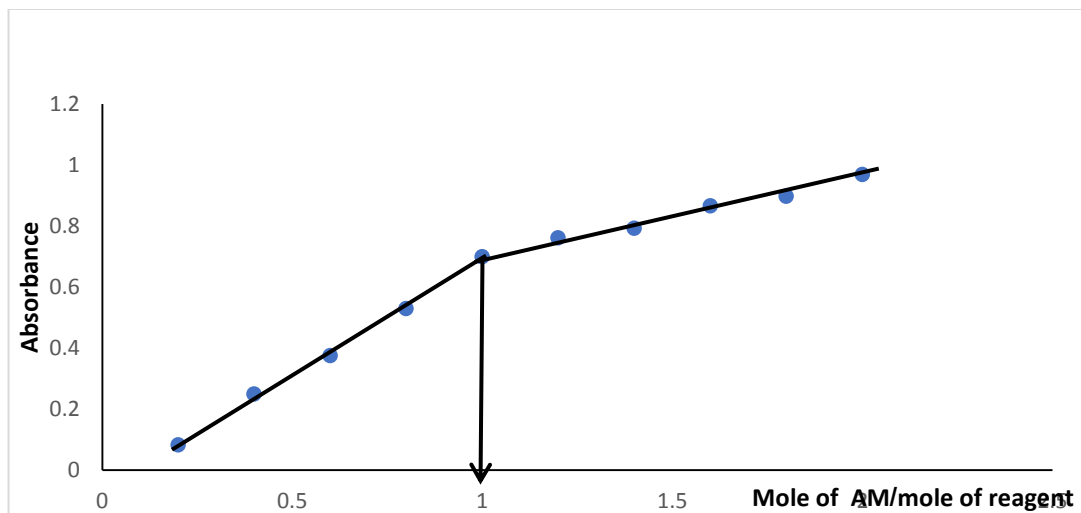
Stock solution of Drug Stock solution of MBTH المحلول القياسي لكلا من الادوية والكافش	No of mole of Drug/No of mole of MBTH عدد مولات الدواء على عدد مولات الكافش	ABS DIZE امتصاصية المعقد المكون	ABS CH امتصاصية المعقد المكون	ABS ALP امتصاصية المعقد المكون	ABS AMT امتصاصية المعقد المكون
	0.2	0.093	0.103	0.133	0.083
Stock solution of Drug= $3.5 \times 10^{-4} M$ Stock solution of MBTH= $3.5 \times 10^{-4} M$	0.4	0.239	0.239	0.269	0.249
	0.6	0.360	0.351	0.405	0.375
	0.8	0.489	0.469	0.529	0.529
	1.0	0.619	0.599	0.659	0.699
	1.2	0.646	0.686	0.736	0.761
	1.4	0.705	0.735	0.775	0.792
	1.6	0.746	0.826	0.846	0.866
	1.8	0.807	0.897	0.907	0.897
	2.0	0.839	0.949	0.979	0.969



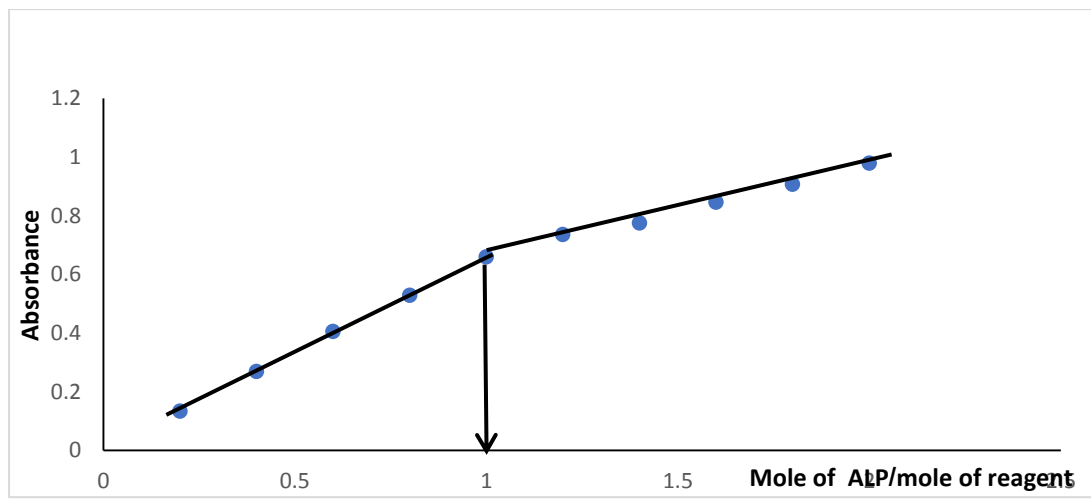
الشكل ( 56-3 ) النسب المولية لدواء CH مع الليكанд MBTH



الشكل ( 57-3 ) النسب المولية لدواء DIZE مع الليكанд MBTH



الشكل (58-3) النسب المولية لدواء AM مع الليكанд MBTH



الشكل (59-3) النسب المولية لدواء ALP مع الليكанд MBTH

## 4-2) طريقة التغيرات المستمرة (طريقة جوب)

### 2-3)

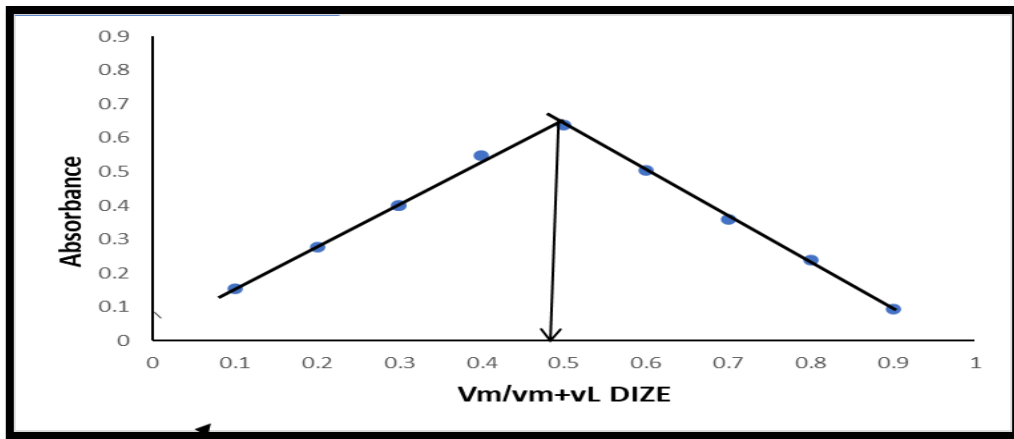
حضرت عدد من المحاليل لها نفس الحجم النهائي وذلك بمزج حجوم مختلفة من محلول دواء ( كلورديازبوكسيد و ديازيبام واميتر بتاليين والبرازولام ) ذو تركيز  $100\mu\text{g}/\text{ml}$  مع محلول الكاشف مع اضافة حجم ثابت من الكاشف  $\text{FeCl}_3$  افضل لكل دواء بالمقابل مع البلانک، وكانت التراكيز المولارية لمحلول للمركب الدوائي متساوية والكاشف  $(4.4 \times 10^{-4} \text{ M})$ ,  $(3.5 \times 10^{-4} \text{ M})$ ,  $(4.3 \times 10^{-4} \text{ M})$ ,  $(3.2 \times 10^{-4} \text{ M})$  كلورديازبوكسيد و ديازيبام واميتر بتاليين والبرازولام حضرت هذه المحاليل كلا على

انفراد ، حيث وضعت هذه اضافات في مجموعة دوارة حجمية 10 مل ثم بعد انتظار 15 دقيقة تم اكمالها بالماء المقطر إلى حد العلامة ، ثم بعد ذلك تم قياس امتصاصية كل محلول المكون ، إذ تم الحصول على النسبة المولية <sup>(118)</sup> والغيرات المستمرة جوب <sup>(119 - 120)</sup> في محاليل المعقادات كما في الجدول (24-3) والأشكال التالية

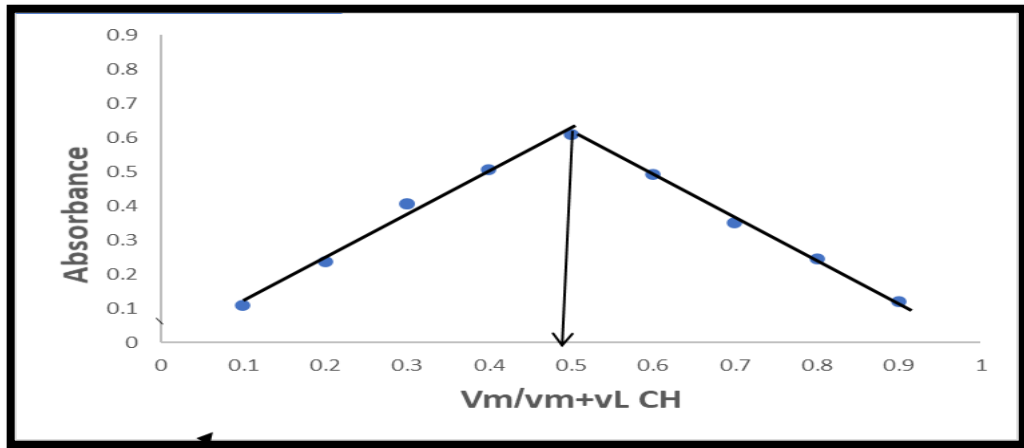
(61-3) (60-3) ( ) (62-3) (63-3) للعقاقير الأربع (كلورديازبوكسيد و ديازيبام و أميتربتيلين والبرازولام )

**الجدول ( 24-3 ) يمثل طريق جوب لحساب النسبة التفاعلية بين الأدوية الاربعة المثبتة في الجدول مع الكاشف MBTH**

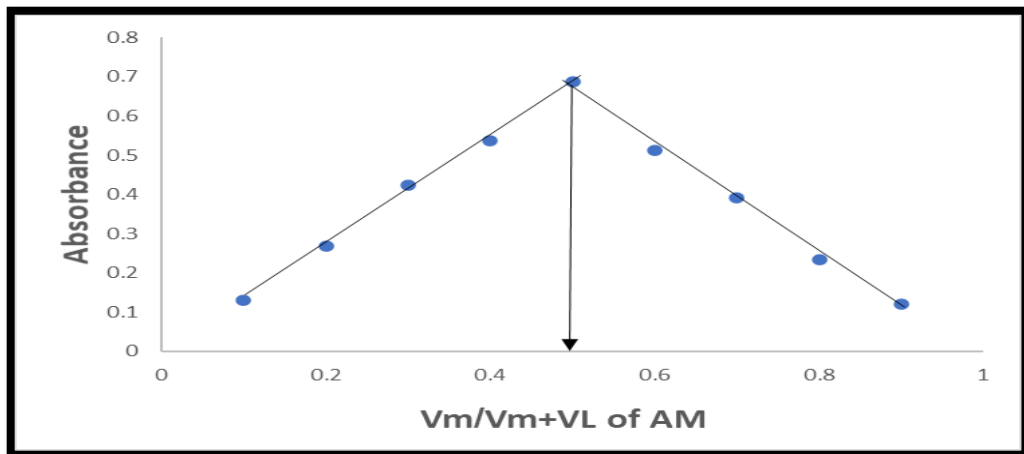
Stock solution of Drug	Volume of drug/total volume of drug	ABS ALP	ABS DIZE	ABS AM	ABS CH
Stock solution of MBTH		امتصاصية	امتصاصية	امتصاصية	امتصاصية
المحلول القياسي لكلا من الأدوية		المعقد	المعقد	المعقد	المعقد
MBTH والكاشف	+Volume of MBTH	المكون	المكون	المكون	المكون
	حجم الدواء / (حجم الكاشف + حجم العقار )				
	0.1	0.093	0.155	0.149	0.121
Stock solution of Drug= $3.5 \times 10^{-4} M$	0.2	0.214	0.278	0.328	0.275
Stock solution of MBTH= $3.5 \times 10^{-4} M$	0.3	0.329	0.398	0.444	0.347
	0.4	0.478	0.549	0.529	0.506
	0.5	0.601	0.639	0.609	0.678
	0.6	0.479	0.503	0.483	0.486
	0.7	0.369	0.359	0.392	0.287
	0.8	0.219	0.24	0.194	0.185
	0.9	0.091	0.093	0.12	0.090



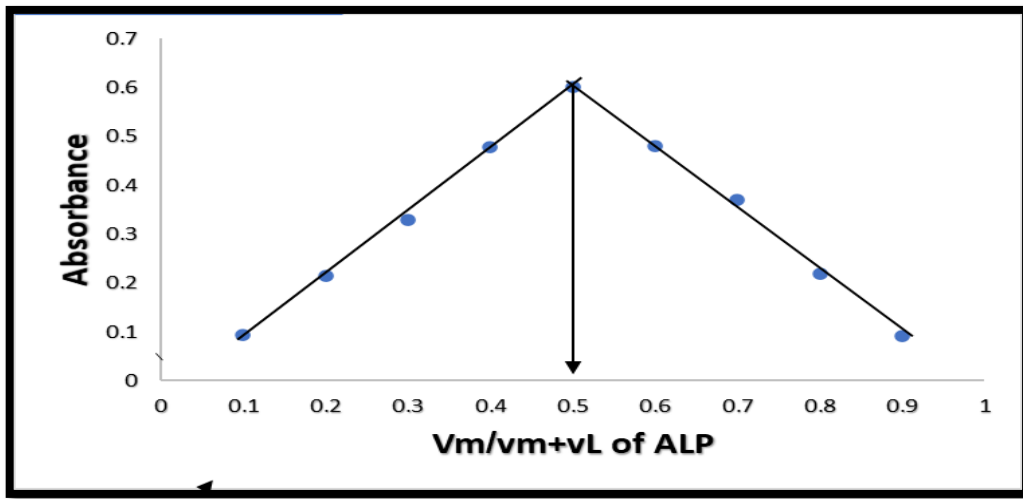
الشكل (60-3) يوضح التغيرات المستمرة ( جوب ) للمعقد DIZE مع الليكанд MBTH



الشكل (61-3) يوضح التغيرات المستمرة ( جوب ) للمعقد CH مع الليكанд MBTH



الشكل (3-62) يوضح التغيرات المستمرة ( جوب ) للمعقد AM مع الليكанд MBTH



الشكل (3-63) يوضح التغيرات المستمرة ( جوب ) للمعقد ALP مع الليكанд MBTH

### 3-4-2-3) دراسة حساب ثابت الاستقرارية محاليل المعقدات :

تم حساب درجة التفكك  $(\alpha)$  وثابت الاستقرارية  $(K_{st})$  لغرض معرفة مدى استقراريه الناتج الملون في المحلول، من خلال تحضير ثلاثة محاليل تحتوي على كميات متساوية من الكاشف ومحظول الدواء بتركيز (0.1) مولاري لكل منها والحجم النهائي (10) مل وبأتباع جميع الظروف المثبتة في منحني المعايرة القياسي، إذ قيست الامتصاصية لهذه المحاليل عند الطول الموجي (663,609,619,630) نانومتر مقابل المحلول الصوري كمرجع فكانت الامتصاصية لهذه المحاليل قليلة نسبيا، والتي عندما يكون الناتج في حالة تفكك حزئي ويعبر عنها  $(As)$ ، وحضرت محاليل أخرى تحتوي على الكمية ذاتها من المحلول الدواء وكمية فائضة من الكاشف (3اضعاف)، وهنا سيكون الناتج المتكون في هذه الحالة غير متفكك ويعبر عن قيمة الامتصاصية  $(Am)$  وبتطبيق العلاقة (11) يتم حساب درجة التفكك  $\alpha$  للناتج بموجب المعدلات الآتية (119-121)



$$\alpha c = nac = (C - \alpha)c$$

$$\alpha = \frac{Am - As}{Am} \quad ..... (3-3)$$

حسب ثابت الاستقرار  $K_{st}$  من العلاقة الآتية تكون ( $n=1$ )

$$K_{st} = \frac{1 - \alpha}{\alpha^2 c} \quad \dots \dots \dots (4-3)$$

اما في حالة  $n=2$  حسب فان معادلة حساب ثابت الاستقرار تصبح كالتالي :

$$K_{st} = \frac{1 - \alpha}{4\alpha^3 c^2} \quad \dots \dots \dots (5-3)$$

حيث (C) هو تركيز الناتج المتكون والذي يساوي تركيز المركب الدوائي (مول/التر). والنتائج موضحة في الجدول (25-3) حساب درجة التفكك وثابت الاستقرارية للمعقد الملون المتكون

### الجدول (25-3) : حساب درجة التفكك وثابت الاستقرارية للمعقد الملون المتكون

Complex	$A_m$	$A_s$	$\alpha$	$K_{st}$
CH 100 $\mu$ g/ml	0.148	0.073	0.506	$5.790 \times 10^4$
DIZE 100 $\mu$ g/ml	0.177	0.076	0.570	$3.782 \times 10^4$
AM 100 $\mu$ g/ml	0.102	0.077	0.239	$3.688 \times 10^5$
ALP 50 $\mu$ g/ml	0.211	0.014	0.788	$1.038 \times 10^4$

$\alpha$  = درجة التفكك للمعقد

$A_s$  = قيمة المتصاص للمعقد في محلول فلز : ليكанд عند النسبة المولية .

$A_m$  = قيمة المتصاص عند اضافة زيادة من الليكанд اذ يكون فيها التداخل بين الفلز و الليكанд على اعلى ما يمكن

ويتبين من ثابت الاستقرارية العالي للناتج الملون بسبب احتواء الكاشف المستخدم على مجموعتين دافعة للإلكترونات هي (-OCH<sub>3</sub>) مما يزيد من استقراريه الناتج اضافة الى وجود الرزونانس العالي في الناتج وامتدادها الى خارج حلقة البنزين .

### 5-2-3) حسابات معامل الامتصاص وحساسية ساندل

#### Calculation of Molar absorptivity and Sandells Sensitivity

يعرف معامل الامتصاص المولي  $(122,126)$  على أنه قياس شدة الامتصاص للأنواع الكيميائية للضوء عند طول موجي معين وهي صفة محددة بالنوع الكيميائي، وهي أيضاً تعبير عن التراكيز يرمز له برمز  $\epsilon$  بوحدات لتر / مول / سنتيمتر. فالامتصاصية  $A$  لنمذج ما يعتمد على طول المسار الضوئي وعلى التراكيز  $C$  للعينة الكيميائية. ويمكن أن تعرف على أنها عدد الفوتونات الممتصة من قبل الأشعاع الساقط لطول موجي معين عند محلول يحتوي على مذاب عند ترکیز جزئی محدد لفتره معينة.

وبحسب قانون لامبرت بير يمكن تحديد الامتصاصية بواسطة طرق قياس الطيف الضوئي التحليلي عن طريق حساب قيمة الامتصاصية المولارية وحساسية ساندل  $(127)$  حسب المعادلة التالية معادله

$$\text{Molar absorptivity} = \text{slope} \times \text{molecular weight of drug} \times 10^3 \quad \dots \dots \quad (6-3)$$

وتعرف حساسية ساندل او دالة ساندل: بأنها عدد الميكرو غرامات من المركب المراد تقديره الذي يتحول الى ناتج ملون موجود في محلول ذي مقطع عرضي  $(1 \text{ cm}^2)$  ليعطي امتصاصية مقدارها  $0.001$  وهو مقياس لحساسية الطريقة الطيفية ويعبر عنه رياضيا

$$\text{Sandal sensitivity} = \frac{\text{Molecular Weight of Drug}}{\text{Molar absorptivity}} \quad \dots \dots \quad (7-3)$$

### Precision and : (6-2-3) حساب الدقة و الضبط : accuracy

الدقة (تشير إلى مقياس لمدى التقارب بين القيم المقاسة الملاحظة مختبرياً والقيمة الحقيقة) ويعبر عنها بدالة الخطأ النسبي  $E\%$  أو النسبة المئوية للاستيعادية  $\text{Recovery}\%$ . أما الضبط (مدى تكرار القياس) فيشير إلى تقارب القياسات مع بعضها البعض ويعبر عنها بدالة الانحراف القياسي  $SD$  او الانحراف المعياري النسبي المئوي  $RSD\%$ . تم حساب الدقة والمضبوطية  $(128-129)$  في هذا البحث بحساب الخطأ النسبي ونسبة الاسترداد والانحراف المعياري النسبي حيث تمت الحسابات باستخدام المعادلة (9-3) وتتم العملية بأخذ ثلاثة تراكيز قياسية مختلفة معروفة من أدوية ال كلورديازيبوكسيد و

ديازيبام وأميتريبتيلين والبرازولام بشكل فردي في أفضل الظروف وكانت النتائج في الجدولين . (2.3),(1.3)

$$E\% = \frac{O - T}{T} \times 100 \quad \dots\dots\dots (8-3)$$

القيمة الناتجة :  $O$  القيمة الحقيقية :  $T$

$$Recovery = 100 - E\% \quad \dots\dots\dots (9-3)$$

لحساب الانحراف القياسي

$$SD = \sqrt{\frac{\sum (xi - x)^2}{N-1}} \quad \dots\dots\dots (10-3)$$

$SD$ : Standard deviation

$$RSD\% = \frac{SD}{x} \times 100 \quad \dots\dots\dots (11-3)$$

$x$  الوسط الحسابي

$xi$  هي النتائج المستحصل عليها :

$N$ : عدد النتائج

الجدول (26-3) : الطريقة المقترحة لتعيين الدقة والضبط دواء الكلورديازيبوكسيد.

Concentration		Error %	% Recovery	% RSD
Taken	Found			
5	4.919	-1.02	98.39	0.502
15	15.55	-0.037	101.02	0.812
25	24.901	-0.004	99.61	0.252

الجدول (27-3) الطريقة المقترحة لتعيين الدقة والضبط لعقار الديازيبام

Concentration		Error %	% Recovery	% RSD
Taken	Found			
5	5.077	1.523	101.4	0.195
15	14.759	-1.60	98.4	0.106
30	29.932	-0.227	99.8	0.039

**الجدول (28-3) : الطريقة المقترحة لتعيين الدقة والضبط لعقار اميتربيتيلين**

Concentration		Error %	% Recovery	%
Taken	Found			RSD
2	2.05	2.5	102.4	0.26
4	3.95	-1.046	98.95	0.90
30	29.69	-1.03	101.63	0.01

**الجدول (29-3) : الطريقة المقترحة لتعيين الدقة والضبط لعقار البرازولام**

Concentration		Error %	% Recovery	%
Taken	Found			RSD
5	5.077	0.015	101.54	0.46
15	14.755	-0.016	98.37	0.73
25	24.932	- 0.272	99.73	0.35

### 7-2-3) قياس حد الكشف والكشف الكمي

#### Calculation of Limit of Detection (LOD) and Limit of Quantitation (LOQ)

LOD : هو أقل كمية من المادة التي يمكن تميزها والكشف عنها بالمقارنة مع محلول الصوري

باستخدام المعادلة (7-3)

$$LOD = \frac{3SD_{Blank}}{Slope} \quad \dots \quad (12-3)$$

LOQ<sup>(129)</sup> هو أقل كمية من المادة التي يمكن تميزها والكشف عنها بالمقارنة مع محلول الصوري ويمكن إيجاده بالمعادلة (4-3)

$$LOQ = \frac{10SD_{Blank}}{Slope} \quad \dots \quad (13-3)$$

S: الميل لمنحنى القياس

انحراف المعياري للبلانك ويمكن حسابه بالمعادلة (5-3)

$$SD = \sqrt{\frac{\sum (xi - x)^2}{N-1}} \quad \dots \quad (14-3)$$

$xi$ : الوسط الحسابي

$x$  : هي النتائج المستحصل عليها

$N$ : عدد النتائج

الجدول (30-3) القيم التحليلية المتعلقة بمنحني المعايرة للطريقة الطيفية في تقدير دواء CH

القيمة	الحدود
663 nm	1- الطول الموجي الاعظم
(5-30) $\mu\text{g}/\text{mL}$	2- حدود منحني المعايرة
$5.575 \times 10^3 \text{ L.mole}^{-1} \cdot \text{cm}^{-1}$	3- الامتصاصية المولارية $\epsilon$
$0.054 \text{ } \mu\text{g.cm}^{-2}$	4- معامل ساندل
(98.3-99.6)%	5- معامل الاستخلاص
0.9979	6- معامل الارتباط
0.0251	7- معامل الانحراف المعياري
1.779 $\mu\text{g}/\text{mL}$	8- حد الكشف
5.930 $\mu\text{g}/\text{mL}$	9- حد الكشف الكمي

الجدول (31-3) القيم التحليلية المتعلقة بمنحني المعايرة للطريقة الطيفية لتقدير دواء (DIZE)

القيمة	الحدود
609 nm	1- الطول الموجي الاعظم
(5-30) $\mu\text{g}/\text{mL}$	2- حدود منحنى المعايرة
$3.359 \times 10^3 \text{ L.mole}^{-1} \cdot \text{cm}^{-1}$	3- الامتصاصية المولارية ε
$0.085 \mu\text{g.cm}^{-2}$	4- معامل ساندل
(98.55-99.75)%	5 - معامل الاستخلاص
0.9965	6- معامل الارتباط
0.010	7- معامل الانحراف المعياري
1.757 $\mu\text{g}/\text{mL}$	8-حد الكشف
5.857 $\mu\text{g}/\text{mL}$	9-حد الكشف الكمي

الجدول (3-32) القيم التحليلية المتعلقة بمنحنى المعايرة للطريقة الطيفية لتقدير دواء اميتريبتلين

AM

القيمة	الحدود

630 nm	1- الطول الموجي الاعظم
(5- 30) $\mu\text{g}/\text{mL}$	2-حدود منحني المعايرة
$7.157 \times 10^3 \text{L.mole}^{-1}.\text{cm}^{-1}$	3-الامتصاصية المولارية
0.039 $\mu\text{g.cm}^{-2}$	4-معامل ساندل
(98.95-102.3 76)%	5- معامل الاستخلاص
0.9958	6-معامل الارتباط
0.739 $\mu\text{g}/\text{mL}$	7- معامل الانحراف المعياري
0.739 $\mu\text{g}/\text{mL}$	8-حد الكشف
2.464 $\mu\text{g}/\text{mL}$	9-حد الكشف الكمي

**الجدول (33-3) القيم التحليلية المتعلقة بمنحني المعايرة للطريقة الطيفية لتقدير دواء البرازولام (ALP)**

القيمة	الحدود
619 nm	1- الطول الموجي الاعظم
(5- 30) $\mu\text{g}/\text{mL}$	2-حدود منحني المعايرة
$7.565 \times 10^3 \text{L.mole}^{-1}.\text{cm}^{-1}$	3-الامتصاصية المولارية
0.041 $\mu\text{g.cm}^{-2}$	4-معامل ساندل
(98.46-101.89)%	5- معامل الاستخلاص
0.9965	6-معامل الارتباط
2.924 $\mu\text{g}/\text{mL}$	7- معامل الانحراف المعياري
0.877 $\mu\text{g}/\text{mL}$	8-حد الكشف
2.924 $\mu\text{g}/\text{mL}$	9-حد الكشف الكمي

### Preparation of sample (8-2-3) تحضير محلول العينة solution

تم تطبيق الطريقة المقترنة في التقدير الطيفي لعقاقير ALP,AM,DIZE,CH في بعض المستحضرات الصيدلانية ومن مناشئ مختلفة، وكما مبين في الجدول (15-3) إذ حضرت محليل

المستحضرات الصيدلانية كما مبين في الفقرة ( 1-3-2 ) إذ تم تجهيز ثلاثة محاليل للتركيز الواحد ولثلاثة تراكيز مختلفة لكل مستحضر دوائي .

أكدت النتائج التي تم الحصول عليها في الجدول ( 33-3 ) إلى إمكانية تطبيق الطريقة التحليلية المقترحة في تقدير هذه الأدوية في المستحضرات الصيدلانية .

### **جدول (33-3): نتائج تطبيق للطريقة المقترحة على بعض المستحضرات الصيدلانية لـ ALP,AM,DIZE,CH**

Company	Proposed method			Er. %	Rec %	RSD %
		Taken	Found			
LIBROXID E-10 gm	5 15 25	4.94 14.90 25.01	-1.22 -0.653 0.48	98.78 99.341 00.5	0.62 0.187 0.413	
Valium- 10gm	5 15 30	5.017 14.89 30.01	0.34 -0.673 0.047	100.3 99.331 00.05	2.06 0.573 0.727	
Tryptizol- 25mg	2 4 30	5.002 15.01 29.91	0.04 0.067 -0.313	100.04 100.07 99.687	0.375 0.400 0.833	
XANAX-0.5 mg	10 20 30	9.851 20.018 30.003	-1.49 0.09 0.01	98.510 100.09 100.01	0.100 1.200 1.867	

### **(9-2-3) دراسة تأثير المتداخلات**

تمت دراسة تأثير وجود بعض المضافات الصيدلانية المضافة للمستحضرات الصيدلانية لوسط التقدير الحاوي على كلورديازيبوكسيد و ديازيبام و أميتريبيتيلين وألبرازولام للتأكد من انتقائية الطريقة المقترحة بهدف الاستفادة من امكانية تطبيق الطريقة على المستحضرات الصيدلانية . إذ تمت اضافة 2 مل تركيز  $\mu\text{g/mL}$  100 من كل سواغ (نشا لاكتوز و فركتوز ) على انفراد مع 2 مل من محلول قياسي ذو تركيز  $\mu\text{g/mL}$  50 (كلورديازيبوكسيد و ديازيبام و أميتريبيتيلين وألبرازولام) وبنسبة زيادة (10) مرات

من تركيز المادة المحللة. وحصلنا على النتائج كما موضح في الجداول عدم وجود تداخل ملحوظ لهذا المواد مما تشير النتائج إلى أن هذه الدراسة ذات انتقائية جيدة ومنلائمة لتطبيقها على المستحضرات الصيدلانية الحاوية على كلورديازيبوكسيد و ديازيبام و أميتريبيتيلين وألبرازولام.

**الجدول (3-34) :**تأثير المتداخلات على  $20\mu\text{g/mL}$  من كلورديازيبوكسيد ، ديازيبام أميتريبيتيلين ، ألبرازولام

Excipient	Concentration ( $\mu\text{g/mL}$ )found		of Error %	Recovery %
Starch	CH	2.040	0.019	101.989
Lactose	$20\mu\text{g/mL}$	1.983	-0.852	99.148
Fructose		2.028	1.420	101.420
Glucose		2.034	0.017	101.705
Starch	DIZE	20	2.034	101.695
Lactose	$\mu\text{g/mL}$	2.006	0.285	100.282
fructose		2.014	0.700	100.678
Glucose		1.975	-0.012	98.771
Starch	AM	1.961	0.0245	98.062
Lactose	$20\mu\text{g/mL}$	1.996	-0.019	99.806
fructose		1.981	0.008	99.031
Glucose		2.039	-0.004	101.938
Starch	ALP	2.049	0.0245	102.432
Lactose	$20\mu\text{g/mL}$	1.963	-0.019	98.172
fructose		2.016	0.008	100.813
Glucose		1.992	-0.004	99.593

الجدول (3-34) ملخصاً لقيم التحليلية للعقاقير في الطريقة الطيفية المقترحة تبين من خلال ايجاد قيم الامتصاصية المولية وحد الكشف نجد أن الطريقة التحليلية لها حساسية عالية وحد منخفض للكشف . وبذلك يمكن استخدامها لتقدير كميات مايكرو غرامية من عقار CH وعقار DIZE وعقار AM,ALP, في حالتها النقية والمستحضرات الصيدلانية، وتم ضبط الطريقة بحساب الانحراف القياسي النسبي RSD% و باستخدام المعدلات ( Relative Standard Deviation percent RSD%) تم قياس ثلاثة تراكيز مختلفة من الدوائيين ضمن منحني (8-3),(9-3),(10-3),(11-3) تم قياس ثلثة محاليل لتركيز واحد تحت الظروف الفضلى والمبينة في طريقة العمل. والجدول (

(31-3) يبين المعالجات الاحصائية للنتائج التحليلية لعقار CH وكذلك الجداول (32-3),(33-3),(34-3) يبين المعالجات الاحصائية للنتائج التحليلية لعقار AM,ALP , DIZE

### 10-2-3) مقارنة بين الطريقة المقترحة في المستحضرات الصيدلانية والطريقة القياسية

لتقييم الطرق المقترحة ونجاحها في التحليل الطيفي ( CH و DIZE و AM و ALP ) في بعض مستحضراتها الصيدلانية، تم تطبيق الاختبارين التاليين:

1- اختبار **t-Test**: هو أحد الحسابات المعتمدة على قيمة  $t$  لمقارنة الدقة والمضبوطة للطريقة المقترحة وباتباع المعادلة التالية: (10-3)

$$|\pm t| = \frac{\bar{x}_1 - \bar{x}_2}{S_{pooled} \sqrt{\frac{n_1 n_2}{n_1 + n_2}}} \quad \dots \quad (15-3)$$

Where:

$\bar{x}_1$  and  $\bar{x}_2$ : نسبة الاسترداد للطريقة المقترحة القياسية

$n_1$  and  $n_2$ : يشير إلى عدد مرات القراءة لكل من الأساليب المقترحة والقياسية.

$S_{pooled}$ : الانحراف المعياري للطريقتين

2- اختبار **F-Test**: هو حساب إحصائي يعتمد على قيمة F لمقارنة الطريقة المقترحة مع الطرق التحليلية القياسية المتاحة باتباع المعادلة التالية:

$$F = \frac{s_1^2}{s_2^2} \quad \dots \quad (16-3)$$

$s_1^2$  and  $s_2^2$ : الانحراف المعياري لطريقتين

**الجدول (3-35) الطريقة القياسية لتقدير ( كلورديازيبوكسيد CH و أميترىپتيلين AM و ديزيبام DIZE و البرازولام ALP )  
الرجاء مراجعة المراجع (130-132)**

Pharmaceutical preparations Containing (CH10gm),		Rec. %	SD <sup>2</sup>	Standard method Recovery %	SD <sup>2</sup>
<b>Pharmaceutical</b>					
Amitriptyline (AM) 25mg					
Tryptizol (DIZE10gm)					
(ALP 0.5gm)					
CH 5	98.4	0.025	98.96	1.16	
CH 15	101.02	0.343	100.59	1.16	
CH25	99.61	0.063	99.70	1.16	
T=0.067 , F=2.691	x̄ = 99.67	Σ=0.431	x̄ = 99.75	Σ=1.16	
AM 5	102.4	0.021	104.34	0.45	
AM 15	98.95	0.031	98.55	0.45	
AM 30	101.63	0.019	101.087	0.45	
T= 1.445 , F=0.007	x̄ =100.993	Σ=0.051	x̄ = 99.223	Σ=0.45	
DIZE 5	102.4	0.021	98.8	0.06	
DIZE 15	98.95	0.031	99.73	0.06	
DIZE 30	101.63	0.019	100.3	0.08	
T= 1.015 , F=0.317	x̄ = 100. 99	Σ = 0. 071	x̄ = 99. 75	Σ=0.200	
ALP 4	102.4 98.64	0.001	104.34	0.060	
ALP 6	99.46	0.025 0.013	98.55	0.068	
ALP8			101.09	0.066	

$$T = 0.938, F = 0.017$$

$$x = 100.18$$

$$\Sigma = 0.039 \quad x = 101.33$$

$$\Sigma = 0.065$$

#### (4-3) الاستنتاج

- 1- تم التأكيد من صحة وانتقائية طريقة Rp-HPLC كاشف الأشعة فوق البنفسجية لقياس و تحليل كل من CH و DIZE و AM و ALP و مقارنتها مع الطرق القياسية المعتمدة في دساتير الأدوية ، حيث امتازت الطريقة المقترنة بانها ذو دقة ممتازة للأدوية مع وقت تحليل قصير يعادل ثمان دقائق. وفقاً لذلك، نستنتج أن الطريقة دقيقة واقتصادية مع حد كشف وحد كمي منخفضان .
- 2- تم تطوير طريقة طيفية بسيطة وحساسة لتقدير كل من CH و DIZE و AM و ALP في حالتهما النقية وفي بعض المستحضرات الصيدلانية، باستخدام طريقة (الاقتران التاكسيدي) باستخدام الكاشف 3-ميثيل-2-بنزوثيرازول نون هيدرازين هيدروكلوريد هيدرات مع كلوريد الحديديك كعامل مؤكسد وفي وسط حامضي للحصول على معقدات ملونة . ومن خلال قيم معامل الامتصاص المولاري التي تم الحصول عليها في الطرق المتبعة والتي كانت عالية يمكن ان نستنتج ان هذه الطرق ذات حساسية عالية بالمقارنة مع الطرق الأخرى المتبعة في تقدير هذه الأدوية الاربعة . ومن خلال حساب RSD % ونسبة الاسترداد Rec% للطريقة المتبعة ، يمكن أن نستنتج أن هاتين الطريقتين عاليتي الدقة اي يمكن استخدامها في العمل الروتيني اليومي باعتبارهما طريقتين رخيصة وسريعة و زمن قصير و لا تتطلب تسخين او فصل مسبق وذا حساسية عالية ومدى خطى واسع. طبقت الطرق بنجاح لتقدير المستحضرات الدوائية الاربعة ووجد ان النتائج تتفق مع المحتوى الاصلي للمستحضر الصيدلاني وتتفق مع الطريقة القياسية كما ان هذه الطرق تتمتع بامكانية تطبيقها وكذلك يمكن تطبيقها في تقدير هذه الأدوية في حالتها النقية وفي مستحضراتها الصيدلانية. اذ اظهر اختبار t واختبار F المحسوب كانت اقل من القيم الجدولية.

#### (5-3) التوصيات

دراسة امكانية تطبيق طريقتنا الطيفية المقترحة وتقنية HPLC لقياس لتقدير وقياس المركبات الصيدلانية الأخرى.

2-استخدام الطيفية لقياس وتحليل كلورديازيبوكسيد و ديازيبام أميتريبيتيلين البرازولام باستخدام الكواشف العضوية المختلفة.

3-تحليل الطيفي للمركبات الدوائية الصيدلانية المستخدمة والغير المستخدمة في هذه الرسالة باستخدام تقاعلات الاكسدة والاختزال.

4-خلال النتائج التي تم الحصول عليها في هذه الدراسة إمكانية الجمع بين الطرق المستخدمة مع التقنيات التحليلية الأخرى مثل الحقن الحراري أو الاستخلاص بالمذيب للوصول إلى حد كشف أعلى وحساسية عالية لهذه الأدوية.

5-إمكانية تطبيق الطرائق المعتمدة في هذه الرسالة على النماذج البايلوجية الدم والإدرار والأنسجة المختلفة.

6- كذلك خلال النتائج التي تم الحصول عليها في هذه الدراسة يمكن تطبيق الطيفية المقترحة لتحليل نماذج صيدلانية مختلفة الحالة.

7-إمكانية استخدام الظروف الكروماتوغرافية الموجودة في هذه الرسالة لدراسة اسقفارارية التركيبات الصيدلانية المختلفة

## المصادر

### REFERENCES

- 1- Harvey, D. Modern analytical chemistry. Boston: McGraw-Hill Companies, Inc. (2000).
- 2-O'Gara, J. E., Alden, B. A., Walter, T. H., Petersen, J. S., Niederlaender, C. L., and Neue, U. D. (1995). Simple preparation of a C8 HPLC stationary phase with an internal polar functional group. Analytical chemistry, (2018), 67(20), pp:3809-3813.

- 3- Silverman, G., & Silver, H. (1995). Modern Instrumentation: A computer approach. CRC Press.
- 4-Nakhjiri, A. T., & Heydarinasab, A. (2017). Modeling and numerical simulation of two species separation using non-linear HPLC chromatography. *Applied Research Journal*, 3(9), 266-270.
- 5-West, C., Bouet, A., Routier, S., & Lesellier, E. (2012). Effects of mobile phase composition and temperature on the supercritical fluid chromatography enantioseparation of chiral fluoro-oxoindole-type compounds with chlorinated polysaccharide stationary phases. *Journal of Chromatography a*, 1269, 325-335.
- 6-Rasoul, A. A. Chromatographic Separation of Some Amino Acids by High Performance Liquid Chromatography Method Using A New Stationary Phase (Doctoral dissertation, Kufa University).7 .(2011) - Issaq, H. J., & Berezkin, V. G. (2001). *A Century of Separation Science*, 19.
- 8- Hall, K. (2019). “In Praise of Wool”: The development of partition chromatography and its under-appreciated impact on molecular biology. *Endeavour*, 43(4), 100708.
- 9- Abdull-Sattar, S. S., Maki, S. A., & Ali, N. M. (2013). Preparation of New HPLC Stationary Phase and Study of Its Chromatographic Performance Toward the Separation of Some Water-Soluble Vitamins. *Al-Nahrain Journal of Science*, 16(2), 51-58.
- 10- Bayram, B., Ozcelik, B., Schultheiss, G., Frank, J., & Rimbach, G. (2013). A validated method for the determination of selected phenolics in olive oil using high-performance liquid chromatography with coulometric electrochemical detection and a fused-core column. *Food Chemistry*, 138(2-3), 1663-1669.
- 11- Kucera, P. (2000). Microcolumn high-performance liquid chromatography. Elsevier.

- 12- Scott, R. P. (2020). Techniques and practice of chromatography. CRC Press.
- Stock, R., & Rice, C. B. F. (2013). Chromatographic methods. Springer.
- 13- Moldoveanu, S. C., & David, V. (2012). Essentials in modern HPLC separations. Newnes.
- 14- Sanchez- Reyes, G., Graalfs, H., Hafner, M., & Frech, C. (2021). Mechanistic modeling of ligand density variations on anion exchange chromatography. *Journal of Separation Science*, 44(4), 805-821.
- 15-Yacoub, T. J., & Szleifer, I. (2015). Molecular dynamics simulations of anchored viral peptide interactions. *Biointerphases*, 10(2), 029513.
- 16-Paul-Dauphin, S., Karaca, F., Morgan, T. J., Millan-Agorio, M., Herod, A. A., & Kandiyoti, R. (2007). Probing size exclusion mechanisms of complex hydrocarbon mixtures: the effect of altering eluent compositions. *Energy & Fuels*, 21(6), 3484-3489.
- 17-Kromidas, S. (Ed.). (2008). HPLC made to measure: a practical handbook for optimization. John Wiley & Sons.
- 18- Sherma, J., & Fried, B. (Eds.). (2003). Handbook of thin-layer chromatography. CRC press.
- 19- Lindsay, S. (1992). High performance liquid chromatography (Vol. 2). John Wiley & Sons.
- 20-Meyer, V. R. (2013). Practical high-performance liquid chromatography. John Wiley & Sons.
- 21-Soukup, J., & Jandera, P. (2014). Adsorption of water from aqueous acetonitrile on silica-based stationary phases in aqueous normal-phase liquid chromatography. *Journal of Chromatography a*, 1374, 102-111.
- 22-M Mahood, Abdulbari. "RP-HPLC Method for Simultaneous Estimation of Diclofenac sodium, Chlorphenaramine malate and Paracetamol in Tablets." karbala journal of pharmaceutical sciences 8.12 (2017): 15-28.

- 23- Giddings, J. C. (2002). Dynamics of chromatography: principles and theory. CRC Press.
- 24-Poole, C. F., & Lenca, N. (2015). Green sample-preparation methods using room-temperature ionic liquids for the chromatographic analysis of organic compounds. *TrAC Trends in Analytical Chemistry*, 71, 144-156.
- 25-Jáuregui-Haza, U. J., Wilhelm, A. M., Canselier, J. P., & Delmas, H. (2001). Adsorption of Benzenesulfonic Acid; 3, 3 ‘, 3 “-Phosphinidynetris-, Trisodium Salt; and Di ( $\mu$ -tertiobutylthiolato) Dicarbonyl, Bis (benzenesulfonic acid, 3, 3 ‘, 3 “-phosphinidynetris-, Trisodium Salt) Dirhodium from Aqueous Solutions on Silica. *Journal of Chemical & Engineering Data*, 46(2), 281-285.
- 26-Skoog, D. A., Holler, F. J., & Crouch, S. R. (2007). Instrumental analysis (Vol. 47). Belmont: Brooks/Cole, Cengage Learning.
- 27-Fekete, S., Beck, A., Veuthey, J. L., & Guillarme, D. (2015). Ion-exchange chromatography for the characterization of biopharmaceuticals. *Journal of pharmaceutical and biomedical analysis*, 113, 43-55.
- 28-Yamamoto, S., Nakanishi, K., & Matsuno, R. (1988). Ion-exchange chromatography of proteins. CRC Press.
- 29-Garrett, R. H., & Grisham, C. M. (2001). Principles of Biochemistry: With a Human Focus; Brooks.
- 30-Abdulbari, M. M., & Ihsan, M. S. (2013). Simultaneous determination and validation of chlorpheniramine maleate, acetaminophen, phenylpropanolamine hydrochloride and caffeine in tablet dosage form by using reverse phase high performance liquid chromatography (RP-HPLC). *Int. J. Pharm. Sci*, 5, 666-670.
- 31- Xiao, W., & Oefner, P. J. (2001). Denaturing high- performance liquid chromatography: A review. *Human mutation*, 17(6), 439-474.

- 32-Swartz, M. (2010). HPLC detectors: a brief review. *Journal of Liquid Chromatography & Related Technologies*, 33(9-12), 1130-1150.
- 33-Cartwright, A. C. (2016). The British pharmacopoeia, 1864 to 2014: medicines, international standards and the state. Routledge.
- 34-Ibezim, E. C., Attama, A. A., Obitte, N. C., Onyishi, V. I., & Brown, S. A. (2008). In vitro prediction of in vivo bioavailability and bioequivalence of brands of metronidazole tablets in Eastern Nigerian drug market. *Sci Res Essays*, 3(11), 552-558.
- 35-García, M. S., Sánchez-Pedreno, C., Albero, M. I., & Martí, J. (2000). Spectrophotometric methods for determining meloxicam in pharmaceuticals using batch and flow-injection procedures. *European journal of pharmaceutical sciences*, 9(3), 311-316.
- 36-Parriott, D. (Ed.). (2012). A Practical guide to HPLC detection. Academic Press.
- 37- Wolk, D. M., Johnson, C. H., Rice, E. W., Marshall, M. M., Grahn, K. F., Plummer, C. B., & Sterling, C. R. (2000). A spore counting method and cell culture model for chlorine disinfection studies of *Encephalitozoon* syn. *Septata intestinalis*. *Applied and environmental microbiology*, 66(4), 1266-1273.
- 38-Mândrescu, M., Spac, A. F., & Dorneanu, V. (2009). Ultraviolet spectrophotometric determination of tenoxicam using iodine solution as reagent. *Revista Medico-chirurgicala a Societatii de Medici si Naturalisti din Iasi*, 113(2), 598-603.
- 39-Sharma, U. K., Sharma, K., Sharma, N., Sharma, A., Singh, H. P., & Sinha, A. K. (2008). Microwave-assisted efficient extraction of different parts of *Hippophae rhamnoides* for the comparative evaluation of antioxidant activity and quantification of its phenolic constituents by reverse-phase high-performance

liquid chromatography (RP-HPLC). Journal of agricultural and food chemistry, 56(2), 374-379.

40-Heald, Mark A.; Marion, Jerry B. Classical electromagnetic radiation. Courier Corporation, (2012)

41-Kerker, Milton. The scattering of light and other electromagnetic radiation: physical chemistry: a series of monographs. Academic press, (2013).

42- Ng, K. H. (2003, October). Non-ionizing radiations—sources, biological effects, emissions and exposures. In Proceedings of the international conference on non-ionizing radiation at UNITEN (pp. 1-16).

43-Harris, D. C. (2010). Quantitative chemical analysis. Macmillan.

44- Skoog, D. A., Holler, F. J., & Crouch, S. R. (2017). Principles of instrumental analysis. Cengage learning.

45-Shenderova, O., Grichko, V., Hens, S., & Walch, J. (2007). Detonation nanodiamonds as UV radiation filter. Diamond and related materials, 16(12), 2003-2008.

46- Pollard, A. M., Batt, C. M., Stern, B., Young, S. M., & Young, S. M. M. (2007). Analytical chemistry in archaeology. Cambridge University Press.

47-Rogers, R. D., Seddon, K. R., Division of Industrial and Engineering Chemistry Staff American Chemical Society, & Meeting Staff American Chemical Society. (2003). Ionic liquids as green solvents (pp. 2-5). Washington, DC: American Chemical Society.

48- Mut Gunzler, I. I., & Williams, A. (2001). Handbook of analytical techniques, Evolution, 1, 1-2.

49-Torrens, F., & Castellano, G. (2019). Fluorescence Excitation and Emission: Comparision with Absorption. In Molecular Chemistry and Biomolecular Engineering (pp. 51-61). Apple Academic Press.

- 50-Harris, D. C. (2010). Quantitative chemical analysis. Macmillan.
- 51-Schmid, F. X. (2001). Biological macromolecules: UV-visible spectrophotometry. e LS.
- 52- Skoog, D. A., Holler, F. J., & Crouch, S. R. (2017). Principles of instrumental analysis. Cengage learning.
- 53-Aljamali, N. M., Abdullabass, H. K., Jawad, A. M., Alfatlawi, I. O., & Jawd, S. M. (2020). Review on types of automatic sterilization systems in Hospitals. International Journal of Industrial Biotechnology and Biomaterials, 6(1), 15-21p.
- 54-Skoog D.A & West D.M, (2004)."Fundamentals of Analytical Chemistry", 8thed, Thomson learning INC, p.718.
- 55- Zumdahl, Steven S., Susan A. Zumdahl, and Donald J. DeCoste. Chemistry: An atoms first approach. Cengage Learning, (2020).
- 56-Robinson, J. W., Frame, E. S., & Frame II, G. M. Undergraduate instrumental analysis. CRC press. (2014).
- 57-Rouessac. F & Rouessac. A, (2007). "Chemical Analysis", 6thed, Wiley and Sons, p.186.
- 58-Macdonald, A. M. G. (1990). Photometric Determination of Traces of Metals, Part I: General Aspects: EB Sandell and Hiroshi Onishi, Wiley-Interscience, New York, 1978 (ISBN 0-471-03094-5). ix+ 1085 pp. Hiroshi Onishi, Photometric Determination of Traces of Metals, Part IIA: Individual Metals, Aluminum to Lithium, Wiley-Interscience, New York, 1986 (ISBN-0-471-03094-5). xix+ 885 pp. Hiroshi Onishi, Photometric Determination of Traces of Metals, Part IIB: Individual Metals, Magnesium to Zirconium, Wiley-Interscience, New York, 1989 .
- 59- Lampert, W., & Sommer, U. (2007). Limnoecology: the ecology of lakes and streams. Oxford university press.

- 60- Mayerhöfer, T. G., Pahlow, S., & Popp, J. (2020). The Bouguer- Beer-Lambert law: Shining light on the obscure. *ChemPhysChem*, 21(18), 2029-2046.
- 61- Valeur, B., & Berberan-Santos, M. N. (2012). Molecular fluorescence: principles and applications. John Wiley & Sons.
- 62-Swarbrick, J. (2013). Encyclopedia of Pharmaceutical Technology: Volume 6. CRC press.
- 62-Angarita, S. A., Duarte, S., Russell, T. A., Ruchala, P., Elliott, I. A., Whitelegge, J. P., & Zarrinpar, A. (2019). Quantitative measure of intestinal permeability using blue food coloring. *Journal of Surgical Research*, 233, 20-25.
- 63-Nestler, E. J., & Hyman, S. E. (2010). Animal models of neuropsychiatric disorders. *Nature neuroscience*, 13(10), 1161-1169.
- 64-REDASANI, V. K., PATEL, C. F., CHHAJED, C. F., & SURANA, S. S. (2014). Quantitative Determination of Meloxicam in bulk and in tablet by UV Spectrophotometry. *International Journal of Pharmaceutics and Drug Analysis*, 246-250.
- 65-Rouessac, F., Rouessac, A. (2022). Chemical analysis: modern instrumentation methods and techniques. John Wiley & Sons.
- 66-Durner, J. (2010). Clinical chemistry: challenges for analytical chemistry and the nanosciences from medicine. *Angewandte Chemie International Edition*, 49(6), 1026-1051.
- 67-Chaudhary, K. B., Bhardwaj, K., Verma, G., & Kumar, P. (2018). Validated Analytical Method development for the determination of Meloxicam by UV Spectroscopy in API and Pharmaceutical dosage form. *Asian Journal of Pharmaceutical Education and Research*, 7(2), 60-69.
- 68- Jann, M., Kennedy, W. K., & Lopez, G. (2014). Benzodiazepines: a major component in unintentional prescription drug overdoses with opioid analgesics. *Journal of pharmacy practice*, 27(1), 5-16.

- 69- Pharmacopeia, U.S. (2007). National Formulary 25 .In Rockville,MD: US Pharmacopeial Convention .
- 70- Nielsen, S. (2015). Benzodiazepines. In Non-medical and illicit use of psychoactive drugs (pp. 141-159). Springer, Cham.
- 71-Bertolasi, V., Sacerdoti, M., Gilli, G., & Borea, P. A. (1982). Structure of 7-chloro-2-methylamino-5-phenyl-3H-1, 4-benzodiazepine 4-oxide (chlordiazepoxide). *Acta Crystallographica Section B: Structural Crystallography and Crystal Chemistry*, 38(6), 1768-1772.
- 72- Chaudhary, A. B., Raval, R. J., Vaghela, K., & Patel, E. K. T. A. (2016). Development and validation of analytical method for simultaneous estimation of chlordiazepoxide, trifluoperazine hydrochloride and trihexyphenidyl hydrochloride in tablet dosage form. *Int Bull Drug Res*, 6, 1-16.
- 73- Antunovic, V., Tesanovic, S., Peruskovic, D., Stevanovic, N., Baosic, R., Mandic, S., & Lolic, A. (2018). Development of a flow injection system for differential pulse amperometry and its application for diazepam determination. *Journal of Analytical Methods in Chemistry*, 2018.
- 74-Wick, J. (2013). The history of benzodiazepines. *The Consultant Pharmacist®*, 28(9), 538-548.
- 75- Włodarczyk, A., Szarmach, J., Jerzy Cubala, W., & Wiglusz, M. S. (2017). Benzodiazepines in combination with antipsychotic drugs for schizophrenia: GABA-ergic targeted therapy. *Psychiatria Danubina*, 29(suppl. 3), 345-348.76-British Association for Psychopharmacology. *Journal of Psychopharmacology*, 19(6), 567-596.
- 77-Vemula, V. R. B., & Sharma, P. K. (2013). Analytical method development and validation for simultaneous estimation of imipramine and diazepam in tablet dosage form by RP-HPLC. *Int J Pharm Pharm Sci*, 5, 249-253.

- 78-Rianrungrot, T. (2009). Analysis of 6 Benzodiazepines in human serum by high performance liquid chromatography (Doctoral dissertation, Prince of Songkla University).
- 79- Nunez, M. J., Novio, S., Amigo, G., & Freire-Garabal, M. (2011). The antioxidant potential of alprazolam on the redox status of peripheral blood leukocytes in restraint-stressed mice. *Life sciences*, 89(17-18), 650-654.
- 80-Verster, J. C., & Volkerts, E. R. (2004). Clinical pharmacology, clinical efficacy, and behavioral toxicity of alprazolam: a review of the literature. *CNS drug reviews*, 10(1), 45-76.
- 81- Sylaja, B., Gunasekaran, S., & Srinivasan, S. (2016). Spectroscopic investigation, molecular interactions and molecular docking studies on 8-chloro-1-methyl-6-phenyl-4H-[1, 2, 4] triazolo [4, 3-a][1, 4] benzodiazepine. *Optik*, 127(16), 6559-6573.
- 82- Ait-Daoud, N., Hamby, A. S., Sharma, S., & Blevins, D. (2018). A review of alprazolam use, misuse, and withdrawal. *Journal of addiction medicine*, 12(1), 4.
- 83-Shukla, S., Kumar, P., Srivastava, R. S., & Trivedi, P. (2010). RP-HPLC method development and its validation for simultaneous estimation of Alprazolam and Fluoxetine hydrochloride in pharmaceutical dosage form. *Eurasian Journal of Analytical Chemistry*, 5(3), 239-245.
- 84- Shorter, E. (2008). *Before Prozac: The troubled history of mood disorders in psychiatry*. Oxford University Press.
- 85-Tfelt-Hansen, P., Agesen, F. N., Pavbro, A., & Tfelt-Hansen, J. (2017). Pharmacokinetic variability of drugs used for prophylactic treatment of migraine. *CNS drugs*, 31(5), 389-403.
- 86- American Geriatrics Society Panel on the Pharmacological Management of Persistent Pain in Older Persons, Reprinted with permission from The American Geriatrics Society. Original article appears in *J Am Geriatr Soc* 2009; 57: 1331–

1346. (2009). Pharmacological management of persistent pain in older persons. *Pain Medicine*, 10(6), 1062-1083.
- 87-Hugerth, A., & Sundelöf, L. O. (2001). The effect of polyelectrolyte counterion specificity, charge density, and conformation on polyelectrolyte–amphiphile interaction: The carrageenan/furcellaran–amitriptyline system. *Biopolymers: Original Research on Biomolecules*, 58(2), 186-194.
- 88-Aree, T. (2020).  $\beta$ -Cyclodextrin encapsulation of nortriptyline HCl and amitriptyline HCl: Molecular insights from single-crystal X-ray diffraction and DFT calculation. *International Journal of Pharmaceutics*, 575, 118899.
- 89- Manzo, R. H., Olivera, M. E., Amidon, G. L., Shah, V. P., Dressman, J. B., & Barends, D. M. (2006). Biowaiver monographs for immediate release solid oral dosage forms: Amitriptyline hydrochloride. *Journal of pharmaceutical sciences*, 95(5), 966-973.
- 90-Sujatha, N., & Pavani, K. H. (2013). Analytical method development and validation of amitriptyline hydrochloride and chlordiazepoxide in tablet by RP-HPLC. *Indian Journal of Research in Pharmacy and Biotechnology*, 1(5), 655.
- 91-Haggag, R. S., Shaalan, R. A., & Belal, T. S. (2010). Validated HPLC determination of the two fixed dose combinations (chlordiazepoxide hydrochloride and mebeverine hydrochloride; carvedilol and hydrochlorothiazide) in their tablets. *Journal of AOAC International*, 93(4), 1192-1200.
- 92- Sharma, A., Gaurav, K., & Srivastava, R. (2021). A Comparative Estimation of Alprazolam in Pharmaceutical Formulations by Validated HPLC and HPTLC Techniques. *Analytical Chemistry Letters*, 11(2), 187-197.
- 93- Sarrafi, A. H., Khodakarami, Z., & Karkeabadi, M. (2009). Simultaneous spectrophotometric determination of amitriptyline hydrochloride and chlordiazepoxide in pharmaceutical tablets by multivariate calibration method. *E-journal of chemistry*, 6(S1), S111-S116.

- 94-Ashour, S., & Kattan, N. (2013). Sensitive method for the quantitative determination of risperidone in tablet dosage form by high-performance liquid chromatography using chlordiazepoxide as internal standard. International Journal of Biomedical Science: IJBS, 9(2), 91.
- 95- Suckow, R. F., & Cooper, T. B. (1982). Simultaneous determination of amitriptyline, nortriptyline and their respective isomeric 10-hydroxy metabolites in plasma by liquid chromatography. Journal of Chromatography B: Biomedical Sciences and Applications, 230(2), 391-400.
- 96- Boobalan, M., Asokan, R., Chandra, R. M., Palanisamy, P., & Venkateshwaralu, B. S. (2020). Stability Indicating Forced Degradation Studies to Assess Degradation behaviour of Chlordiazepoxide and Amitriptyline Hydrochloride in Pharmaceutical Dosage Form by RP-HPLC. Research J. Pharm. and Tech, 13(1), 313-318.
- 97- Vhanmane, A., Tamboli, A., & More, S. (2019). RP-HPLC Method Development and Validation for the Simultaneous Estimation of Gabapentin and Amitriptyline Hydrochloride in Pharmaceutical Dosage Forms. Journal of Drug Delivery and Therapeutics, 9(3-s), 62-68.
- 98-Bais, S., Bhavsar, M., Singhvi, I., & Chandewar, A. (2014). Analytical method development and validation for the estimation of alprazolam and sertraline hydrochloride by HPLC. Pharma Res, 11(1).
- 99-Rao, R. N., Parimala, P., Khalid, S., & Alvi, S. N. (2004). Detection of the adulteration of traditional alcoholic beverages by the separation and determination of alprazolam, chloralhydrate and diazepam using reversed-phase high-performance liquid chromatography. Analytical sciences, 20(2), 383-386.
- 100-Sujatha, N., & Pavani, K. H. (2013). Analytical method development and validation of amitriptyline hydrochloride and chlordiazepoxide in tablet by RP-HPLC. Indian Journal of Research in Pharmacy and Biotechnology, 1(5), 655

- 101-Naguib, I. A., Ali, N. A., Elroby, F. A., & Elghobashy, M. R. (2021). Green HPLC-DAD and HPTLC Methods for Quantitative Determination of Binary Mixture of Chlordiazepoxide and Amitriptyline Used for Neuropathic Pain Management. *Journal of Chromatographic Science*, 59(6), 536-547.
- 102- Nisha, P. J. (2012). Analytical Method Development and Validation of Assay for Carvedilol Tablets by RP-HPLC, HPTLC and UV Spectroscopy (Doctoral dissertation, RVS College of Pharmaceutical Sciences, Coimbatore).
- 103- Walash, M. I., Rizk, M., & El-Brashy, A. (1988). Spectrophotometric determination of chlordiazepoxide and nitrazepam. *Talanta*, 35(11), 895-898.
- 104- Saudagar, R. B., Saraf, S., & Saraf, S. (2007). Spectrophotometric determination of chlordiazepoxide and trifluoperazine hydrochloride from combined dosage form. *Indian journal of pharmaceutical sciences*, 69(1), 149.
- 105- Othman, A. A., Bagary, R. I., Elkady, E. F., & El-Kerdawy, M. M. (2006). Development and Validation of Spectrophotometric Methods for Simultaneous Determination of Alprazolam In Bulk and In Dosage Form. *Pharm Anal Acta*, 7(8).
- 106- Patel, D. C., Patel, N. R., Sherikar, O. D., & Mehta, P. J. (2014). Development and validation of RP-HPLC, HPTLC and UV-visible spectrophotometric methods for simultaneous estimation of alprazolam and propranolol hydrochloride in their combined dosage form. *Journal of Analytical Chemistry*, 69(7), 674-680.
- 107- Venkatesan, P., Subrahmanyam, P. V. R. S., & Pratap, D. R. (2010). Spectrophotometric determination of pure amitriptyline hydrochloride through ligand exchange on mercuric ion. *Int J ChemTech Res*, 2, 54-56.
- 108- Patel, D., & Patel, V. (2010). Simultaneous estimation of Amitriptyline Hydrochloride and Perphenazine by Absorption Ratio (Q-analysis) UV

Spectrophotometric method in combined tablet dosage form. Int J Pharm Sci Res, 1, 133-137.

109-akraborty, S., Sharmin, S., Rony, S. R., Ahmad, S. A. I., & Sohrab, M. H. (2018). Stability-indicating UV/Vis spectrophotometric method for diazepam development and validation. Indian Journal of Pharmaceutical Sciences, 80(2), 366-373.

110- Sadeghi, S., Takjoo, R., & Haghgoo, S. (2002). Quantitative determination of diazepam in pharmaceutical preparation by using a new extractive-spectrophotometric method. Analytical letters, 35(13), 2119-2131.

111- Liawruangrath, S., Makchit, J., & Liawruangrath, B. (2006). A simple spectrophotometric procedure for the determination of diazepam in pharmaceutical formulation. Analytical sciences, 22(1), 127-130.

112-Ziegel, E. R. (2001). Data Analysis and Signal Processing in Chromatography. Technometrics, 43(1), 115.

113- Qasim, F. O., & Mohammed, N. M. S. (2021). A Nanodrop Spectrophotometric Method and Stability Indicating for Determination of Amlodipine Besylate in Pharmaceutical Formulations of Kurdistan of Iraq. Science Journal of University of Zakho, 9(1), 25-29.

114 - KHAN, N. A., Naz, N., KHAN, N. A., DOGER, N. A., & KHAN, W. A. (2012). Spectrophotometric Determination of Diazepam. Journal of the Chemical Society of Pakistan, 34(6), 536.

115 - Christian, G. D., Dasgupta, P. K., & Schug, K. A. (2013). Analytical chemistry. John Wiley & Sons.

116- Kumar, K. A., Mohanakrishna, A., Sudheer, M., Rajesh, K. S., & Ramalingam, P. (2011). UV-Spectrophotometric method for the estimation of Alprazolam in tablet dosage Form. Int. J. Chem. Tech. Res, 3(1), 161-164.

117-Orfanidis, A., Gika, H., Theodoridis, G., Chatzioannou, A. C., & Raikos, N. (2022). Analysis, Stability and Distribution of Pharmaceuticals and Drugs of Abuse over a Period of 1 Year in Formalin-Fixed Liver and Formalin Solutions. *Journal of Analytical Toxicology*.

Mosaddegh, M. H. (2003). Application of solid phase microextraction (SPME) technology to drug screening and identification. The University of Manchester (United Kingdom).

118-Stoll, D. R., Paek, C., & Carr, P. W. (2006). Fast gradient elution reversed-phase high-performance liquid chromatography with diode-array detection as a high-throughput screening method for drugs of abuse: I. Chromatographic conditions. *Journal of Chromatography A*, 1137(2), 153-162.

119-Litchford, M. (2011). Laboratory assessment of nutritional status: bridging theory and practice. eBookIt. com.

120-Soni, P., Sar, S. K., & Patel, R. (2012). New approach for the determination of tricyclic antidepressant amitriptyline using  $\beta$ -cyclodextrin-peg system via spectrophotometry. *Journal of Analytical Sciences, Methods and Instrumentation*, 2(02), 103.

121-Khodadoust, S., & Ghaedi, M. (2013). Optimization of dispersive liquid–liquid microextraction with central composite design for preconcentration of chlordiazepoxide drug and its determination by HPLC- UV. *Journal of separation science*, 36(11), 1734-1742.

122-Dastidar, D. G., & Sa, B. (2009). A comparative study of UV-spectrophotometry and first-order derivative UV-spectrophotometry methods for the estimation of diazepam in presence of tween-20 and propylene glycol. *AAPS PharmSciTech*, 10(4), 1396-1400.

- 123- Ferreyra, C. F., & Ortiz, C. S. (2002). Simultaneous spectrophotometric determination of phenilpropanolamine HCL, caffeine and diazepam in tablets. Journal of pharmaceutical and biomedical analysis, 29(5), 811-818.
- 124-Kumar, K. A., Mohanakrishna, A., Sudheer, M., Rajesh, K. S., & Ramalingam, P. (2011). UV-Spectrophotometric method for the estimation of Alprazolam in tablet dosage Form. Int. J. Chem. Tech. Res, 3(1), 161-164.
- 125- Abuirjeie, M. A., & Abdel-hamid, M. E. (1989). Simultaneous high-performance liquid chromatographic and first-derivative spectrophotometric determination of amitriptyline hydrochloride and chlordiazepoxide in capsules. Analytical letters, 22(4), 951-962.
- 126-Srinija, G. (2022). Method Development and Validation for the Simultaneous Determination of Perphenazine and Amitriptyline in Pure and Marketed Pharmaceutical Dosage Form by using RP-HPLC. INTERNATIONAL JOURNAL OF APPLIED PHARMACEUTICAL SCIENCES AND RESEARCH, 7(03), 43-51..
- 127-Mabrouk, M., Hammad, S. F., Abdelaziz, M. A., & Mansour, F. R. (2018). Ligand exchange method for determination of mole ratios of relatively weak metal complexes: a comparative study. Chemistry Central Journal, 12(1), 1-7.
- 128-Short, J. R. (2017). An introduction to urban geography. Routledge.
- 129-Kellner, R., Mermet, J. M., Otto, M., Valcarcel, M., & Widmer, H. M. (2004). Analytical chemistry: a modern approach to analytical science. Germany: Wiley-VCH; ISBN 3-527-30590-4. LOD.
- 130-Ali, F. A. R. A. A. T., Nandi, U., Verma, R., Rathod, R., Sahu, P. L., Kumar, R., ... & Singh, G. N. (2016). UV-visible first order derivative spectrophotometric method development and validation for simultaneous estimation of amitriptyline hydrochloride and chlordiazepoxide in tablet dosage form. Asian Journal of Chemistry, 28(12), 2632-2634

- 131-Ruiz-Angel, M. J., Carda-Broch, S., & García-Alvarez-Coque, M. C. (2010). Peak half-width plots to study the effect of organic solvents on the peak performance of basic drugs in micellar liquid chromatography. *Journal of Chromatography A*, 1217(11), 1786-1798.
- 132-Rajan, R., & Deshpand, A. (2016). UV spectrophotometric estimation of alprazolam by area under curve and first order derivative methods in bulk and pharmaceutical dosage form. *Der Pharmacia Lettre*, 8(5).

## **Abstract**

### **The work (the thesis) consisted of two main parts :**

-The first part : high-performance reverse-phase liquid chromatography (Rp-HPLC).

The first part: Reversible phase Liquid Chromatography Rp-HPLC

This method was developed to be accurate, sensitive and rapid for estimation Chlordiazepoxide , Diazepam , Amitriptyline , and Alprazolam drugs , in their alone state and as a combination, were separated using an analytical column type( the ODS2-C18 (250 mm × 4.6 mm × 5 $\mu$ m particle ) at 35°C , and at a flow rate of 1.0 ml/min using the Isocratic system for the mobile phase. The mobile phase used included a solution of disodium phosphate ions with two organic axes are: methanol and acetonitrile with a ratio (40:30:30 v/v)) and an pH = 4, using a UV detector at a wavelength of 241nm . The retention time for chlordiazepoxide was 5.123 min , 2.753 min ‘for diazepam, 3.426 min ‘ for amitriptyline , and 3.703 minutes for alprazolam. The method was evaluated from calculating the linearity (5-50 )  $\mu$ g / ml and correlation coefficient ( $R^2 = 0.9988$ ) and (6-48)  $\mu$ g: / ml (10-50) and ( $R^2 = 0.9997$ ) and  $R^2=0.9996$ ) and  $R^2=0.9982$ ) for chlordiazepoxide, diazepam, alprazolam and amitriptyline, respectively . the relative standard deviation of both drugs was less than 2%, with the lowest detection limits (0.634 , 0.616 , 0.77 0.72 )  $\mu$ g/mL for chlordiazepoxide, diazepam, amitriptyline, and alprazolam , respectively . The limits of Quantitative detection (1.922‘ 2.50 ‘ 2.57 ‘ 1.868 )  $\mu$ g/ml for chlordiazepoxide, diazepam, amitriptyline, and alprazolam. The chromatographic method was applied to pharmaceutical preparations in their pure form and in their pharmaceutical preparations, and the recoveries were within (99.207-102.544) %, (99.046-100.858%), (100.29-100.51%) (99.95-101.12%) for chlordiazepoxide, diazepam, alprazolam and amitriptyline, respectively.

## **The second part:**

### **The spectroscopic method (oxidation-reduction method)**

An accurate, sensitive and simple the spectral method was developed, using oxidation reduction reactions, which included the determination of some psychotropic drugs in the first paragraph, including chlordiazepoxide, diazepam, alprazolam and amitriptyline for quantitative determination in its pure form and in pharmaceutical preparations.

The method included the determination of each drug individually by reacting it with the reagent 3-methyl-2-benzothiazole non-hydrazine hydrochloride hydrate in the presence of the oxidizing agent and iron(III) chloride in a strong acidic medium. Preliminary tests were conducted to determine the appropriate conditions to obtain sensitivity. The maximum wavelength of the formed colored complex was measured as (AM=630.0nm,663.0nm=CH·619.0nm=ALP,609.0 nm=DIZE). the optimum conditions were also studied to obtain the highest absorbance intensity. Beer's law limits were within the concentration range (5-30)  $\mu\text{g}/\text{ml}$  for diazepam, alprazolam or amitriptyline(2-30)  $\mu\text{g}/\text{ml}$ , either chlordiazepoxide (5-25)  $\mu\text{g}/\text{ml}$  and with the correlation coefficient for each drug alprazolam, amitriptyline, diazepam and chlordiazepoxide (0.9979,0.9965,0.9995,0.9997) on the straight, and through the values of the molar absorption coefficient and Sandal's sensitivity to the "formed" matrix, which were equal to ( $5.575 \times 10^3$ ,  $3.359 \times 10^3$ ,  $7.565 \times 10^3$  and ( $7.157 \times 10^3$  L/mol.cm) 0.054, 0.085, 0.041, 0.039 ( $\mu\text{g}/\text{cm}^2$ ), respectively, The method showed high sensitivity. The relative standard deviation for each drug was less than 2%, the detection limits for drugs are (0.877, 0.739, 1.779 and (1.757)  $\mu\text{g}/\text{ml}$ , and the quantitative limits are 2.924, 2.464, 5.930, 5.857)  $\mu\text{g}/\text{ml}$  for chlordiazepoxide, diazepam, alprazolam and amitriptyline. through the mentioned results, this method has high accuracy and precision, and therefore it has been applied in estimating these drugs in their pure state and in their pharmaceutical preparations.



**University of Kerbala**

# **Chromatographic and spectrophotometric determination of some antidepressant drugs**

A Thesis

Submitted to the College of Education for Pure Sciences – Chemistry department

Karbala University In Partial Fulfillment of the Requirements for the Degree of  
Master in Chemistry Sciences

**By**

**Esraa Muhammad Mohsen**

Education Chemistry, University of Karbala 2019

Supervised by

**Asst. Professor Dr.**

**Aula Mahdi Abd Ali**

**2022A.D**

**Professor Dr.**

**Abdul Bari Mahdi Mahood**

**1444 A.H**